



طرح اکتشاف مواد معدنی در استان های خراسان رضوی، جنوبی و شمالی

معاونت اکتشاف
مدیریت پشتیبانی اکتشاف
گروه ژئوفیزیک

مرحله سوم اکتشاف ذخایر پلی متال با استفاده از
روش پلاریزاسیون القایی و مقاومت ویژه الکتریکی
در منطقه کبودان - بردسکن (استان خراسان رضوی)

مجریان طرح
مهندس محمد تقی کره‌ای
مهندس جمال روشن روان

نگارنده: مهدی محمدی ویژه

زمستان ۱۳۸۹

فهرست مطالب

فصل اول

کلیات

۱-۱- مقدمه.....	۴
۱-۲- موقعیت جغرافیایی منطقه مورد مطالعه.....	۵
۱-۳- مختصری از زمین‌شناسی منطقه مورد مطالعه.....	۷

فصل دوم

مطالعات ژئوفیزیک

۱-۱- روش‌های الکتریکی.....	۲
۱-۱-۱- روش قطبش القایی.....	۹
۱-۱-۲- پلاریزاسیون غشایی یا غیرفلزی.....	۱۰
۱-۱-۳- پلاریزاسیون الکتروودی یا پلاریزاسیون فلزی.....	۱۰
۱-۲- اختلالات در اندازه گیری ها.....	۱۱
۱-۲-۱- پلاریزاسیون غشایی.....	۱۱
۱-۲-۲- اثر کوپلینگ القای الکترومغناطیسی.....	۱۲
۱-۲-۳- پلاریزاسیون القایی منفی.....	۱۳
۱-۳- روش‌های اندازه گیری.....	۱۴
۱-۴- روش مقاومت سنجی	۲
۱-۵- آرایش های مورد استفاده.....	۲

۱۷	۱-۵-۲- آرایش مستطیلی.....
۱۸	۲-۵-۲- آرایش دوقطبی - دوقطبی.....
۱۹	۶- نحوه انجام عملیات صحرایی در منطقه
۲۳	۷-۲- نحوه پردازش داده ها و مدل سازی
۲۴	۸- تجهیزات مورد استفاده.....

فصل سوم

بررسی نتایج

۲۷	۱-۱-۳- بررسی نتایج در محدوده شماره ۴ (B4)
۳۰	۱-۱-۱-۳- بررسی نتایج آرایش مستطیلی
۳۴	۱-۲-۱-۳- بررسی مقطع B4-DD50W
۳۹	۱-۳-۱-۳- بررسی مقطع B4-DD200E
۴۴	۱-۴-۱-۳- بررسی مقطع B4-DD300W
۴۸	۱-۵-۱-۳- بررسی مقطع B4-DD450W
۵۳	۱-۶-۱-۳- بررسی مقطع B4-DD500E
۵۸	۱-۷-۱-۳- بررسی مقطع B4-DD600E
۶۳	۱-۸-۱-۳- بررسی مقطع B4-DD700W
۶۸	۱-۹-۱-۳- بررسی ۳ بعدی نتایج در محدوده شماره ۴
۷۰	۲-۲-۳- بررسی نتایج در محدوده شماره ۲ (B7)
۷۰	۲-۳-۱- بررسی نتایج آرایش مستطیلی
۷۴	۲-۲-۲-۳- بررسی مقطع B7-DD50W
۷۹	۲-۳-۲-۳- بررسی مقطع B7-DD75E
۸۴	۳-۳-۱-۳- بررسی نتایج در محدوده شماره ۹ (B9)
۸۹	۴- نتیجه گیری و پیشنهادات
۹۱	۵- تشکر و قدردانی

فصل اول

کلیات

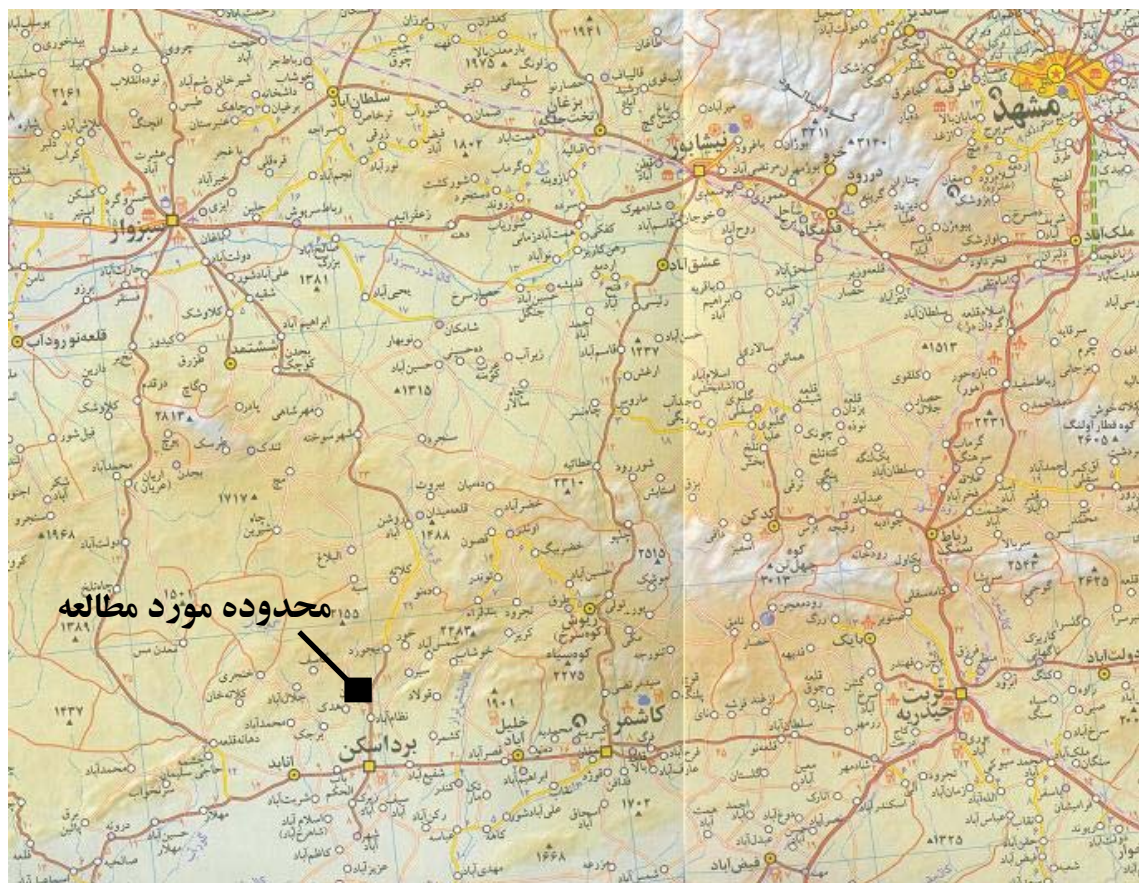
۱ - مقدمه

به درخواست مدیریت محترم منطقه شمال شرق سازمان زمین شناسی و اکتشافات معدنی کشور، فاز سوم عملیات ژئوفیزیک به روش IP & RS در منطقه کبودان واقع در استان خراسان رضوی، شهرستان بردسکن، به منظور اکتشاف ذخایر پلی متال صورت پذیرفت. بدین منظور طی احکام شماره ۸۳۲۳ و ۲۷۰ اکیپ ژئوفیزیک در اسفند ماه ۸۸ و تیر ماه ۸۹ در دو ماموریت ۲۰ و ۱۹ روزه به منطقه اعزام گردید. سرپرستی گروه به عهده نگارنده بوده و آقایان عباس باقری، ابراهیم ترک و حسین ایرانشاهی به عنوان تکنسین با گروه همکاری داشته‌اند.

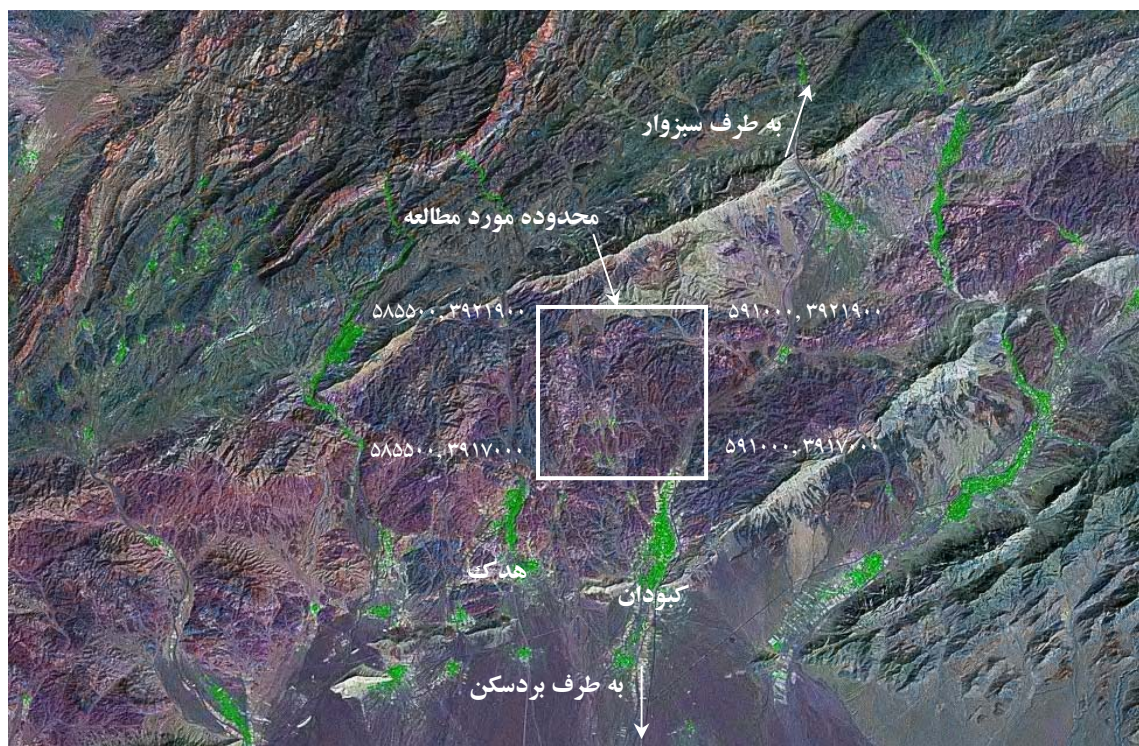
در این دو ماموریت نواحی مورد مطالعه با ۴ آرایش مستطیلی با خط جريان $MN=20\text{ m}$ و $AB=800\text{ m}$ و ۱۴ آرایش دوقطبی - دوقطبی با مشخصات $AB=MN=20,40\text{ m}$ و با پرش ۲۰ متر مورد پیمایش قرار گرفت. جمعاً ۲۴۳۳ ایستگاه با روش IP & RS برداشت شد که از این تعداد، ۵۰۱ ایستگاه با آرایش مستطیلی و ۱۹۳۲ ایستگاه با آرایش دوقطبی - دوقطبی بوده است.

۱-۲- موقعیت جغرافیایی منطقه مورد مطالعه

محدوده مورد مطالعه در شمال روستاهای کبودان و هدک از توابع شهرستان بردسکن و در استان خراسان رضوی واقع می باشد (تصویر ۱-۱). این روستاهای در ۱۴ کیلومتری شمال شهر بردسکن قرار دارند. مناطق مورد بررسی در این مطالعه در ۳ ناحیه مختلف واقع شده است. از این رو دسترسی به آنها نیز توسط راههای مختلفی امکان پذیر بوده است. در این بررسی ادامه عملیات ژئوفیزیک در محدوده های شماره ۴، ۷ و ۹ صورت پذیرفت. بیشترین حجم عملیات در این مطالعه در محدوده شماره ۴ که به منطقه تک اسبی تا گدار چهار بخشی و گدار بارو معروف است، صورت گرفت. دسترسی به این محدوده از طریق یک جاده خاکی که از کیلومتر ۲۱ جاده بردسکن- سبزوار که از کنار کارخانه آسفالت منشعب می شود، امکان پذیر است. دسترسی به محدوده شماره ۷ نیز که در نزدیکی محدوده شماره ۴ واقع است، از این طریق امکان پذیر است. محدوده شماره ۹ پس از طی مسافت ۱۴ کیلومتر از جاده بردسکن- سبزوار و عبور از داخل روستای کبودان، توسط یک جاده خاکی به مسافت تقریبی ۳ کیلومتر، قابل دسترس است. موقعیت محدوده مورد مطالعه نسبت به روستاهای کبودان و هدک در عکس ماهواره ای (تصویر ۱-۲) آورده شده است.



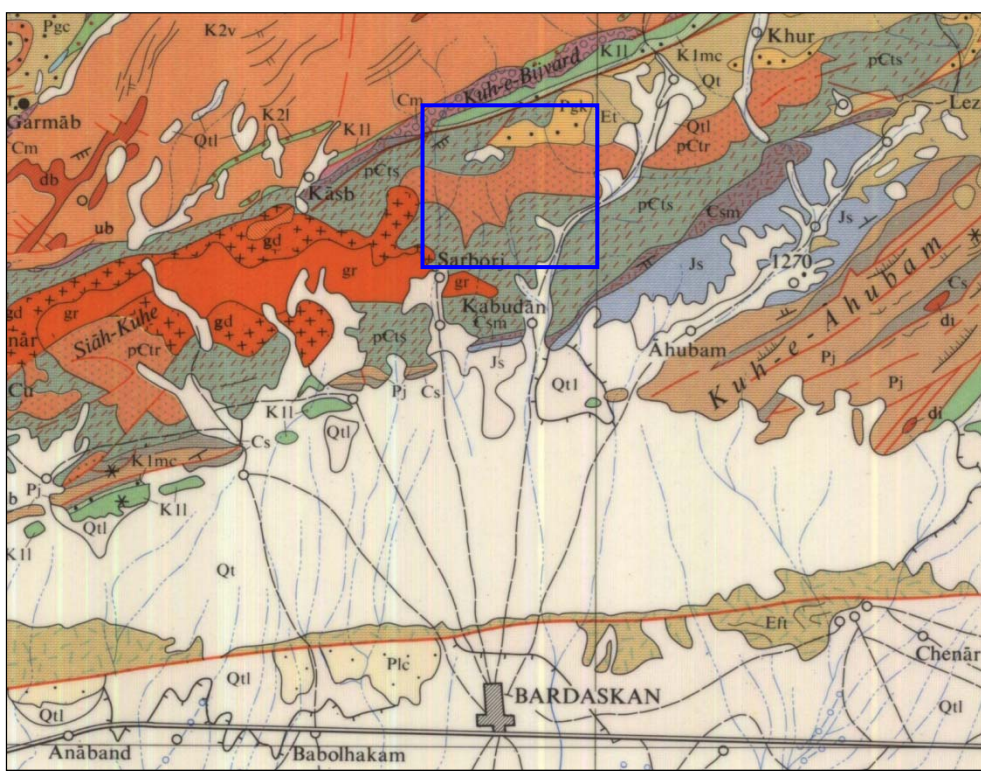
تصویر ۱-۱: موقعیت جغرافیایی محدوده مورد مطالعه و راه های دسترسی



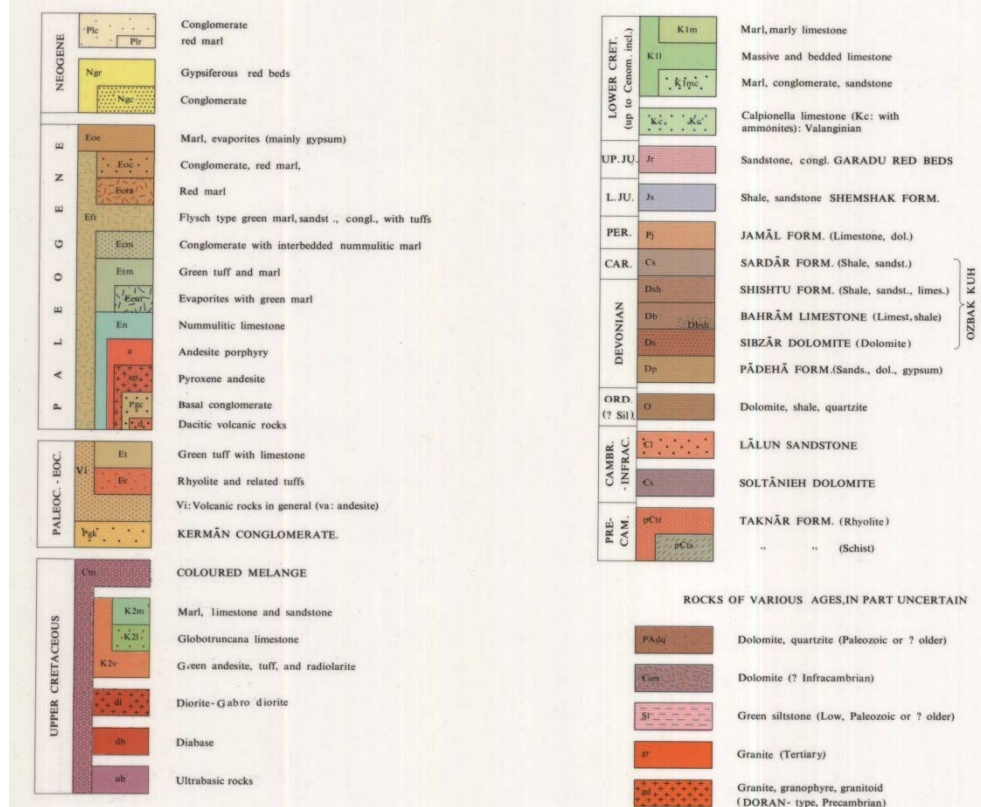
تصویر ۱-۲: محدوده مورد مطالعه بر روی عکس ماهواره‌ای

۱-۳- مختصری از زمین‌شناسی منطقه مورد مطالعه

محدوده مورد مطالعه در ورقه زمین شناسی ۱/۲۵۰۰۰ کاشمر و ۱/۱۰۰۰۰ بردسکن واقع شده است. از نظر زمین‌شناسی بخش اعظم محدوده مورد مطالعه از سازند تکنار (به سن پرکامبرین) مشتمل بر شیوه‌های سبز همراه با لایه‌هایی از متاریوداسیت و متاریولیت با منشاء توف‌های اسیدی زیردریایی تشکیل شده است. این سازند از ضخامت زیادی برخوردار بوده و دگرگونی بسیار ضعیفی را متحمل شده است. رخمنون‌های نسبتاً وسیعی از سنگ‌های گرانیتی (پرکامبرین) و گابرودیوریتی (ترشیری) در غرب محدوده مورد مطالعه مشاهده می‌شوند که به داخل سازند تکنار نفوذ کرده‌اند. علاوه بر آن رخمنون‌های بزرگی از سنگ‌های آهکی (کرتاسه) و کنگلومرات کرمان (پالوسن) در شمال محدوده مورد مطالعه مشاهده می‌شوند. رخمنون‌های کوچکتری از سازندهای سلطانیه (کامبرین) نیز در جنوب شرق و شمال غرب محدوده مشاهده می‌گردند. شواهد مالاکیت و سولفید در بخش‌های کلریتی و شواهد سولفیدی در قسمتهای سرسیتی و کائولونیتی دیده می‌شود. سیلیسی و کائولونیتی شدن و همچنین اکسیدهای آهن در بعضی نقاط مشاهده می‌شود. در برخی مناطق نیز بر روی زون سرسیتی کلاهک‌های آهنی تشکیل گردیده است (برگرفته از گزارش پی‌جویی برگه ۱/۲۵۰۰۰ کبودان، مهندس صفری).



Sand dunes
Kavir: (salt flat)
Qal: (mud flat), recent alluvium
Dasht: (gravel fans), younger terraces
Old terraces



نقشه ۱-۱: نقشه زمین شناسی محدوده مورد مطالعه (برگرفته از نقشه زمین شناسی ۱/۲۵۰،۰۰۰ کاشمر).

فصل دوم

مطالعات ژئوفیزیک

۱-۲- روش‌های الکتریکی

۱-۱- روش قطبش القایی^۱

اولین بار در اوخر دهه ۱۹۴۰ روش قطبش یا پلاریزاسیون القایی برای اکتشاف توده‌های کانسنگی بالاخص برای سولفیدهای پراکنده (دیسیمینه) مورد استفاده قرار گرفت. دردهه ۱۹۶۰ از این روش بطور گسترده در اکتشافات ژئوفیزیک معدنی زمین پایه استفاده شده است. کنراد شلامبر گر احتمالاً اولین فردی بود که وجود پدیده پلاریزاسیون القایی را گزارش کرد.

تجارب آزمایشگاهی نشان داده است هنگامیکه جریان الکتریکی از نوع مستقیم DC و یا متناوب AC با فرکانس خیلی کم حدود $1/0$ هرتز به زمین فرستاده شود، انرژی الکتریکی در داخل سنگها بر اساس فرآیندهای یونی ذخیره می‌شود. این عمل معمولاً به دو طریق صورت می‌گیرد.

^۱. Induced polarization (IP)

۲-۱-۲- پلاریزاسیون غشایی^۲ یا غیرفلزی

در این روش عبور جریان الکتریکی توسط الکتروولیت های موجود در خلل و فرج سنگها صورت می گیرد. این نوع IP در زمین های رسی دیده می شود و بدین جهت در مورد اکتشاف آب و نواحی رسی از این روش می توان به خوبی بهره برد. علت این نوع IP را می توان چنین توجیه کرد که سطح کانیهای رسی دارای بار منفی است و در نتیجه بارهای مثبت را جذب می کند. لذا بعد از گسترش جریان بارهای مثبت جابجا می شوند و پس از قطع جریان به وضع اولیه خود بر می گردند که نتیجه این عمل پدیده IP می باشد (شکل ۱-۲).

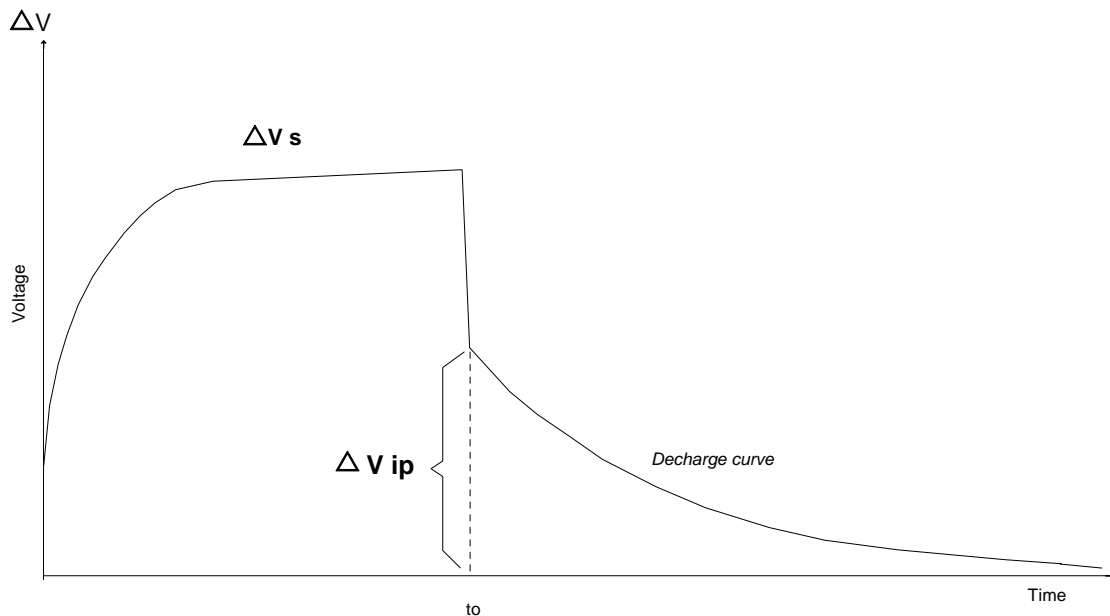
۲-۱-۳- پلاریزاسیون الکتروودی^۳ یا پلاریزاسیون فلزی

در این روش عبور جریان الکتریکی توسط کانیهای فلزی در سنگها بصورت الکترونیکی صورت می گیرد. البته در این حالت ممکن است همزمان با عبور جریان الکتریکی توسط الکتروولیتهای موجود در خلل و فرج آنها نیز صورت پذیرد. هرگاه جریان الکتریکی بطور ناگهانی قطع شود، بارهای الکتریکی به آهستگی پراکنده شده و بسوی تعادل پیش می روند. این امر سبب پیدایش ولتاژ ضعیف و رو به زوال IP می شود. طول مدت دوام ولتاژ رو به زوال IP در داخل زمین به عواملی مثل جنس و ساخت سنگها، تخلخل، نفوذپذیری، قابلیت هدایت الکتریکی، کانیهای فلزی و قابلیت هدایت الکتروولیت موجود در حفرات سنگها بستگی دارد. هر چه ماده معدنی هادی تر و درصد آن بیشتر و در متن سنگ میزان پراکنده تر (دیسیمینه تر) باشد، IP بزرگتر خواهد بود، زیرا در این حالت سطح تماس جهت تبادل الکترونی- یونی به حداقل خواهد رسید. با تجربه ای که در

². Membrane Polarization³. Over Voltage

عملیات زمینی بدست آمده در بعضی موارد با مقایسه نقشه های مقاومت ظاهری و شارژ بیلیه

مشخص می شود نواحی که دارای IP قوی است دارای مقاومت ظاهری زیاد هم می باشد.



شکل ۲-۱: تغییرات ولتاژ قبل و بعد از قطع جریان نسبت به زمان

۲-۲ - اختلالات در اندازه گیری ها

در این مبحث فرض بر صحت اندازه گیری ها بوده و خطاهای دستگاهی در مقایسه با سایر خطاهای قابل اغماض فرض می شود. لذا در این قسمت اختلالات ناشی از پدیده های زمین شناسی نامطلوب و اثرات شرایط خاص زمین شناسی مورد توجه قرار گرفته است.

۲-۲-۱ - پلاریزاسیون غشایی

این پلاریزاسیون در سنگهایی که در صد ناچیزی از کانیهای رسی در آنها پخش شده باشد، ظهور می کند خصوصاً در سنگهای متخلخل و نفوذپذیری که رس در قسمتی از مسیر تخلخل موثر

حاوی الکتروولیت قرار می گیرد، مقدار پلاریزاسیون غشایی افزایش می یابد. از آنجا که در حین اندازه گیری نمی توان اثر پلاریزاسیون غشایی را از پلاریزاسیون فلزی تشخیص داد، پلاریزاسیون غشایی در اکتشاف ذخایر معدنی فلزی پارازیت محسوب می شود. ولی همانطور که قبل اشاره کردیم این پلاریزاسیون در اکتشاف منابع آبهای زیرزمینی که سنگ کف آنها از نوع رسی باشد، مفید خواهد بود. برای تشخیص وجود پلاریزاسیون مربوط به رس‌ها، باید از زمین‌شناسی منطقه مورد مطالعه هم کمک گرفت و یا با روش‌های ویژه پلاریزاسیون الکتروودی فلزی را از پلاریزاسیون غشایی تمیز داد.

۲-۲-۱- اثر کوپلینگ القای الکترومغناطیسی

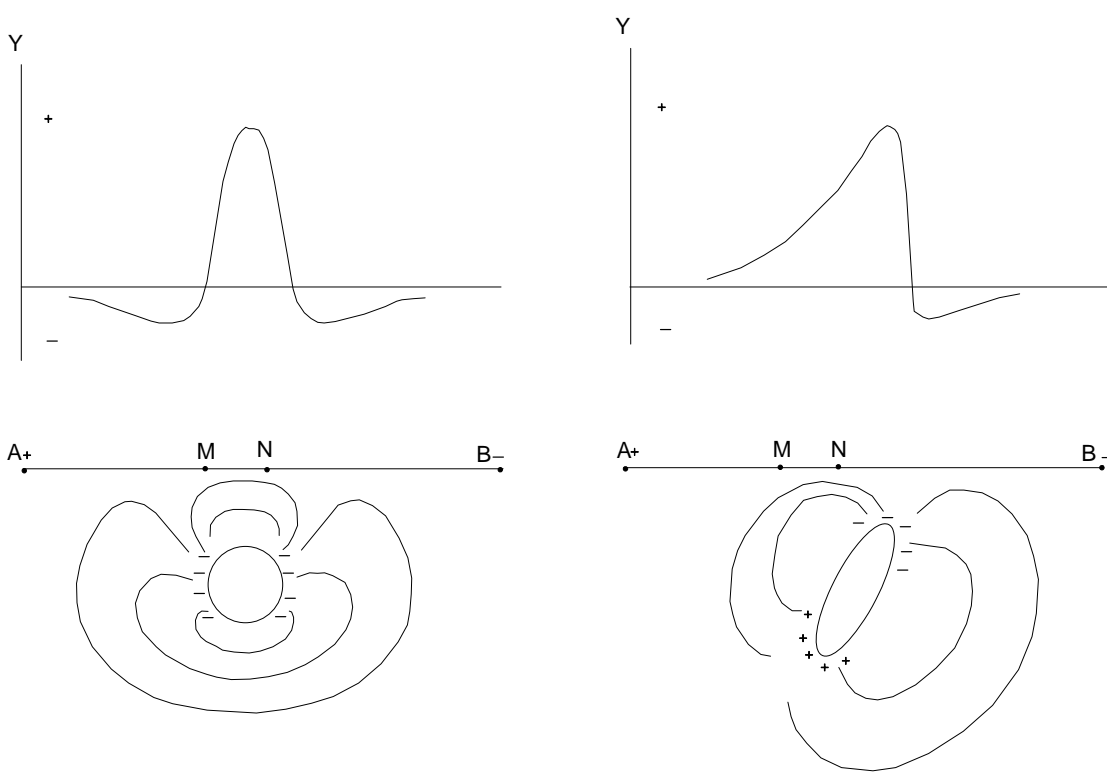
اثرات القای الکترومغناطیسی باعث انحراف اختلاف پتانسیل مربوط به پلاریزاسیون القایی می گردد. این انحراف ناخواسته هنگامی که طول خط جريان زياد است و زمین هم دارای هدايت ویژه قابل توجهی است محسوس بوده و باعث خطای زيادی در اندازه گيريهای پلاریزاسیون القایی می شود. از اين رو شناخت چنین انحرافاتی در اندازه گيريهای پلاریزاسیون القایی ضروری است.

راما چانداران^۴ در سال ۱۹۸۰ با بررسی اثرات کوپلینگ الکترومغناطیس نشان داد که در آرایش‌های مستطیلی کوپلینگ الکترومغناطیسی دارای علامت منفی بوده، یعنی در خلاف جهت پلاریزاسیون القایی می باشد. در آرایش‌های دوقطبی - دوقطبی و قطبی - دوقطبی این اثر دارای علامت مثبت یعنی در جهت موافق پلاریزاسیون القایی است.

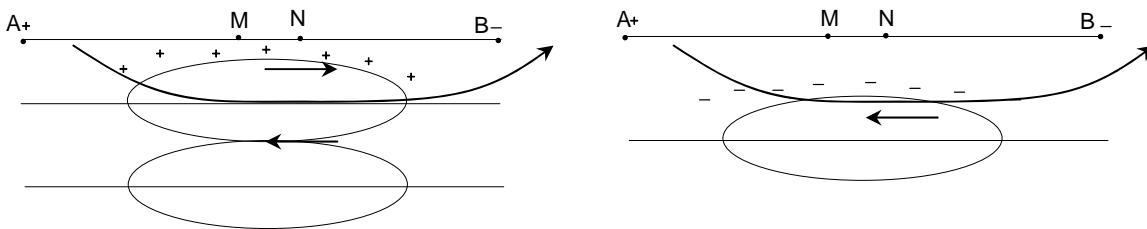
^۴. Ramachandaran

۲-۳-۲- پلاریزاسیون القایی منفی

گاهی در اندازه گیری های پلاریزاسیون القایی مقادیر منفی بدست می آید به این معنی که بعد از قطع جریان ولتاژ ظاهر شده بین الکترودهای پتانسیل، دارای جهت مخالف با ولتاژ اولیه قبل از قطع جریان است. عاملی که باعث شکل گیری این پدیده می شود، ممکن است ناشی از تاثیر خطوط برق، تلفن و یا ناهمگنی های جانبی باشد. گاهی کره ها و استوانه های پلاریزه شونده مددفون و حتی لایه های پلاریزه شونده افقی نیز در موقعیت های خاص، تولید پلاریزاسیون القایی منفی می کنند. همانطور که در شکل ۲-۲ مشاهده می شود، پتانسیل ناشی از پلاریزاسیون القایی بر روی توده های پلاریزه شونده مددفون به مقدار ماکزیمم خود باعث علامت مثبت می شود و در قسمتهای مجاور قله (بسته به شکل هندسی توده) پتانسیل منفی ظاهر می شود. همچنین وقتی توده معدنی مطابق شکل ۳-۲ سطحی باشد باعث ایجاد پلاریزاسیون القایی منفی خواهد شد.



شکل ۲-۲: توده های پلاریزه شونده مددفون، تولید کننده پلاریزاسیون القایی منفی



شکل ۲-۳: توده های افقی کانی سازی شده اگر در سطح قرار گیرند پلاریزاسیون القایی منفی تولید می کنند و اگر توسط روباره غیرقابل پلاریزه شوند پلاریزاسیون القایی منفی تولید نمی کنند.

۳-۲- روش های اندازه گیری

اولین راه اندازه گیری ولتاژ رو به زوال IP در حوزه زمان^۵ می باشد که خود به اشکال گوناگون صورت می گیرد که بستگی به نوع دستگاه های اندازه گیری دارد. یکی از روش های اندازه گیری بارپذیری ظاهری بر اساس نسبت $\Delta VIP/Vs$ می باشد. در این روش کمیت VIP از زمان معین (T) پس از قطع جریان اندازه گیری می کنند و نسبت آن را به VS (ولتاژ اندازه گیری شده در زمان T_0) با واحد میلی ولت بر ولت نشان می دهند. در این طریق زمان T درست کمی بعد از جریان T_0 انتخاب می شود (شکل ۱) تا اثر جریان الکترومغناطیس ثانویه از بین بروود از سوی دیگر زمان T نباید زیاد طولانی باشد، زیرا ممکن است افت پتانسیل IP آنقدر زیاد باشد که به حد پارازیت برسد.

دومین راه اندازه گیری، اندازه گیری بارپذیری ظاهری در حوزه فرکانس^۶ است که در این روش تغییرات مقاومت ویژه ظاهری در فرکانس های مختلف اندازه گیری می گردد. جریان حاصله از IP در سنگهای زیرسطحی با جهت جریان تزریقی مخالفت می کند. از این رو سبب ایجاد یک مقاومت مزاد بر مقاومت الکتریکی سنگها می شود. از آنجا افزایش فرکانس سبب کم شدن مقدار

⁵. Time-Domain

⁶. Frequency Domain

ولتاژ IP می شود، این مقاومت مازاد با افزایش فرکانس جریان تزریقی مرتباً کم می شود. معمولاً در

سنگهایی که تقریباً فاقد کانیهای هادی هستند IP خیلی کم ایجاد می شود و در نتیجه اثر ازدیاد

فرکانس در کاهش ρ_a در حدود ۱۰٪ می باشد.

در سنگهایی که کانیهای هادی به مقدار قابل ملاحظه ای حضور دارند مقدار IP حاصله نسبتاً

زیاد و در نتیجه به ازای هر ده برابر که بر فرکانس جریان تزریقی افزوده شود ρ_a به اندازه ۱۰ تا ۲۰

درصد کاهش نشان می دهد. اندازه گیری های حوزه فرکانسی نسبت به حوزه زمانی دارای دو مزیت

است یکی نسبت سیگنال به پارازیت در آنها بیشتر است و دیگری ساده و سبک بودن تجهیزات.

برتری اندازه گیری های حوزه زمانی نسبت به حوزه فرکانسی سرعت بیشتر اندازه گیری ها و

صرفه جویی در زمان است.

۴-۴- روش مقاومت سنجی

در این روش جریان های الکتریکی مصنوعی توسط دو الکترود به زمین تزریق می شود و اختلاف پتانسیل

منتجه بین دو نقطه در سطح زمین اندازه گیری می شود. انحراف از شکل اختلاف پتانسیل های قابل انتظار در مورد

زون های همگن، اطلاعاتی در مورد شکل و خواص الکتریکی ناهمگونی های زیر سطحی ارائه می دهد.

مقاومت ویژه یک ماده به عنوان مقاومت ویژه بین سطوح مخالف یک مکعب واحد از جسم بر حسب اهم

متر تعریف می شود. مقاومت ویژه الکتریکی یکی از خواص فیزیکی سنگها می باشد که دارای تغییرات زیادی

است. کانی های خاصی مانند فلزات طبیعی و گرافیت از طریق عبور الکترون ها جریان الکتریکی را هدایت

می کنند. ولی بیشتر کانی های تشکیل دهنده سنگها از رسانایی پایینی برخوردار بوده و جریان الکتریکی اغلب

از طریق یون های آب موجود در خلل و فرج سنگ انتقال می یابد. بنابراین بیشتر سنگها الکتریسیته را بطريق

الکتروولیتی هدایت می کنند تا از طریق الکترونیکی، و این بدان معناست که تخلخل عملده ترین کترول کننده مقاومت ویژه سنگ می باشد. علاوه بر این، میزان آب درون خلل و فرج سنگ ها و مقاومت الکتریکی آب نیز در این جهت نقش مهمی را ایفا کرده و در حد وسیعی مقاومت ویژه الکتریکی سنگ را تغییر می دهنند. و بر این اساس هم پوشی قابل ملاحظه ای بین مقاومت ویژه الکتریکی انواع مختلف سنگ ها وجود دارد و در نتیجه مشخص کردن نوع سنگ ها تنها بر اساس داده های مقاومت سنجی امکان پذیر نمی باشد. در اندازه گیری مقاومت ویژه الکتریکی، جریان الکتریکی از نوع مستقیم توسط دو الکترود جریان (A, B) به درون زمین فرستاده می شود و اختلاف پتانسیل حاصل بین دو الکترود پتانسیل (M, N) در سطح زمین اندازه گیری می شود. مقاومت ویژه الکتریکی از فرمول $I / V = K \cdot \rho$ محاسبه می گردد. در این رابطه V اختلاف پتانسیل اندازه گیری شده و I شدت جریان تزریق شده به زمین و K ثابت هندسی آرایش مورد استفاده می باشد. ضریب هندسی آرایش های مختلف الکترودی توسط رابطه زیر قابل محاسبه است.

$$K = 2\pi \cdot \frac{1}{\frac{1}{AM} - \frac{1}{AN} - \frac{1}{BM} + \frac{1}{BN}}$$

وقتی جنس زمین همگن (یکنواخت) باشد مقاومت ویژه الکتریکی محاسبه شده بر اساس این معادله ثابت بوده و مستقل از فاصله الکترودها خواهد بود. در صورتی که اگر ناهمگنی زیرسطحی موجود باشد، مقاومت ویژه الکتریکی با موقعیت نسبی الکترودها تغییر می کند و هر مقدار محاسبه شده به عنوان مقاومت ویژه الکتریکی ظاهری (ρ_a) نامیده خواهد شد. این مقدار تابعی از شکل ناهمگنی مربوطه خواهد بود.

۵-۲- آرایش های مورد استفاده

در این پیمایش دو نوع آرایش الکترودی به کار گرفته شده است که در ادامه به اختصار شرح داده خواهد

شد. این آرایش ها عبارتند از:

۱- آرایش مستطیلی

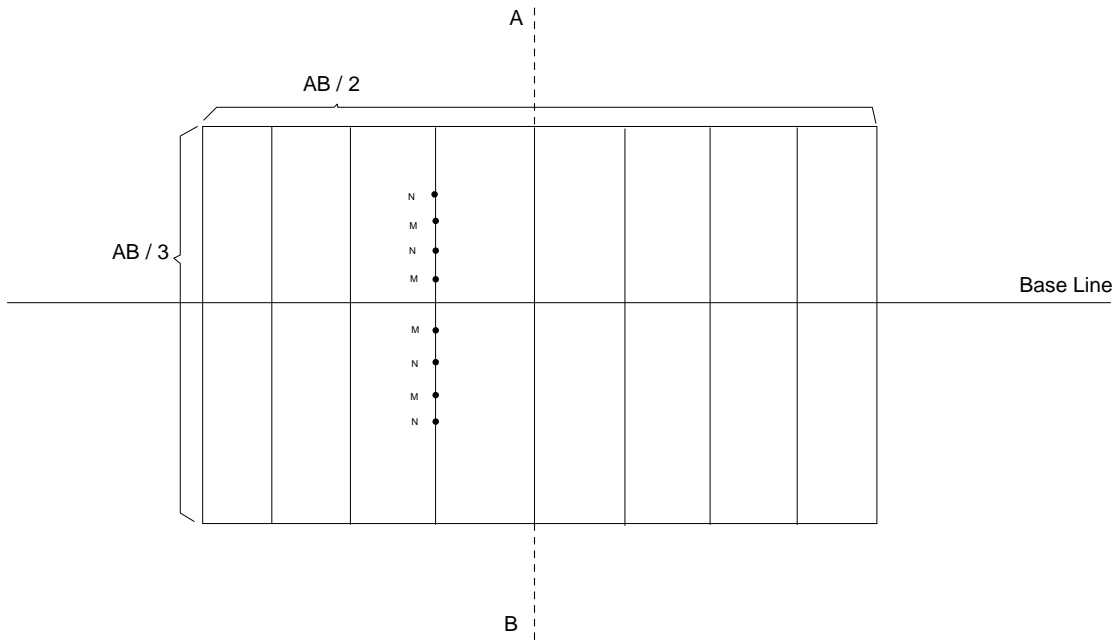
۲- آرایش دوقطبی

۲-۵-۱- آرایش مستطیلی

همانطور که قبل اشاره شد دراین نوع آرایش، خطی را بعنوان خط مبنای^۷ با روند بی هنجاری یا برون زدگی ماده معدنی بر روی زمین درنظر می‌گیریم. سپس با توجه به عمق مورد مطالعه و تشکیلات زمین‌شناسی منطقه فاصله الکترودهای فرستنده (AB) و همچنین با در نظر گرفتن موقعیت و ابعاد توده معدنی و پراکندگی آن فاصله الکترودهای گیرنده (MN) را مشخص می‌شوند. مقدار IP و مقاومت ویژه ظاهری اندازه‌گیری شده به نقطه وسط MN نسبت داده می‌شود.

شکل ۴-۲ وضعیت الکترودهای گیرنده، فرستنده و پروفیل‌ها را نشان می‌دهد.

شکل ۴-۲ وضعیت الکترودهای گیرنده، فرستنده و پروفیل‌ها را نشان می‌دهد.



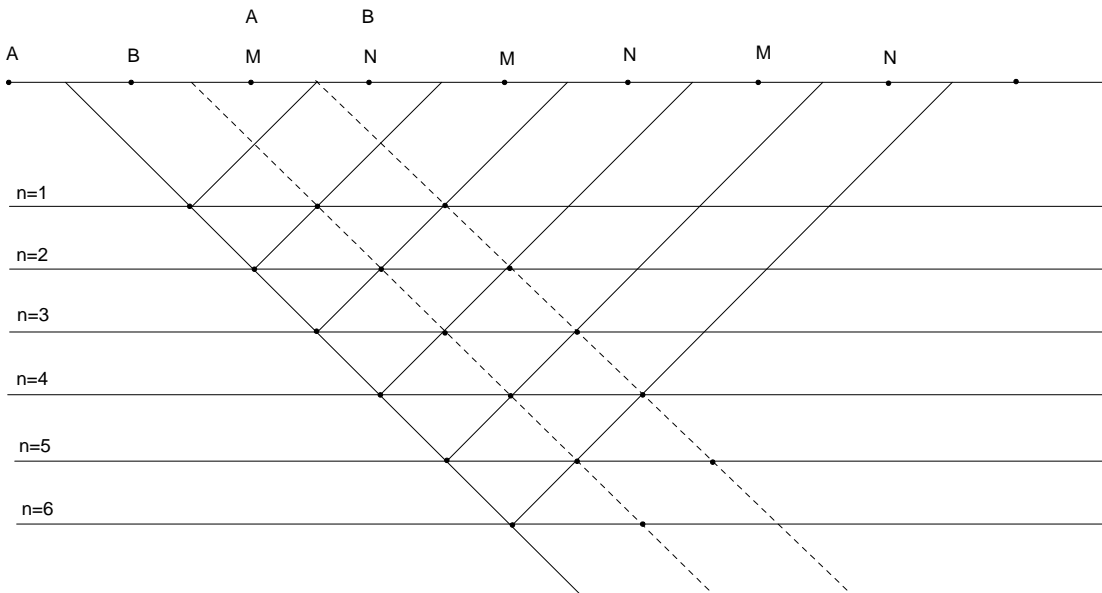
شکل ۲-۴: آرایش مستطیلی

7 Base Line

نقاط اندازه گیری در داخل مستطیلی است که مرکز آن منطبق با وسط AB بوده و ابعاد آن $AB/3$ درجهت عمود بر خط مبنا و $AB/2$ درامتداد خط مبنا می باشد. در این نوع آرایش فاصله MN متحرک می باشند و همچنین در طول عملیات شدت جریان ثابت نگه داشته می شود. با استفاده از این روش می توان تغییرات جانبی بی هنجاری ها را از یک عمق ثابت تا به سطح بررسی نمود.

۲-۵-۲- آرایش دوقطبی - دوقطبی

از این نوع آرایش برای مطالعه و بررسی تغییرات و گسترش بی هنجاری در عمق و بدست آوردن شبه مقطعی از مقادیر IP و مقاومت ویژه ظاهری در محل یک پروفیل استفاده می شود. در این نوع آرایش هر چهار الکترود A, B, M, N در امتداد یک پروفیل قرار داشته و عملاً فاصله الکترودهای فرستنده مساوی فاصله الکترودهای گیرنده و برابر مقدار ثابت a می باشد ($AB=MN=a$). در هر اندازه گیری الکترودهای AB ثابت بوده و الکترودهای MN درامتداد پروفیل حرکت می کنند. فاصله بین نزدیکترین الکترودهای جریان و پتانسیل برابر na می باشد ($n=1, 2, 3, \dots$) و عمق هر اندازه گیری برابر $(n+1)a/2$ خواهد بود. عدد اندازه گیری شده به نقطه ای در محل تلاقی دو خط با زاویه ۴۵ درجه نسبت به سطح زمین که از وسط MN, AB رسم شده نسبت داده می شود. به این ترتیب از مجموع نقاط اندازه گیری شده با این روش شبه مقطعی از بارپذیری و مقاومت ویژه ظاهری در امتداد یک پروفیل بدست خواهد آمد. (شکل ۵-۲)



شکل ۲-۵: آرایش دوقطبی - دوقطبی

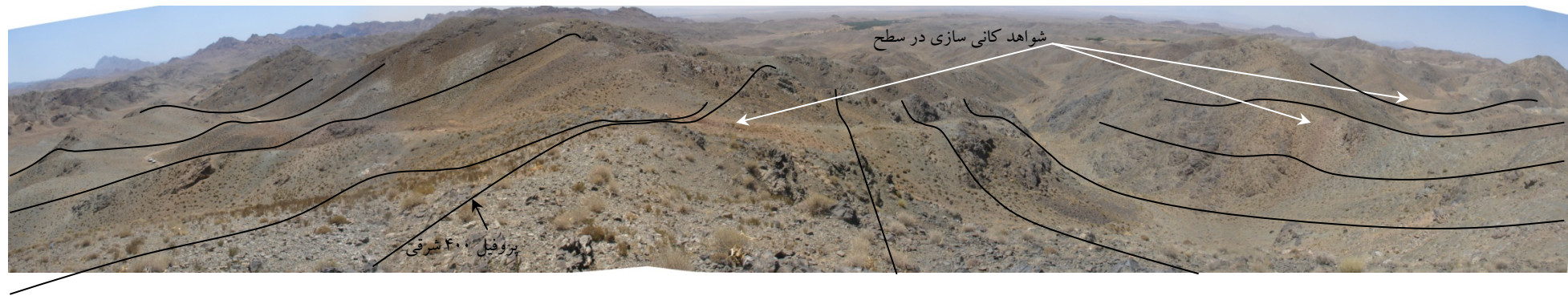
۶-۲- نحوه انجام عملیات صحرایی در منطقه

همانطور که ذکر شد این بررسی فاز سوم مطالعات ژئوفیزیک به روش های پلاریزاسیون القایی و مقاومت ویژه الکتریکی در محدوده مورد مطالعه می باشد. فاز اول عملیات قبل از این، توسط بخش خصوصی مورد مطالعه قرار گرفته است. همچنین فاز دوم عملیات تحت گزارشی با عنوان «مرحله دوم اکتشاف ذخایر پلی متال با استفاده از روش پلاریزاسیون القایی و مقاومت ویژه الکتریکی در منطقه کبودان-بردسکن (استان خراسان رضوی)» توسط نگارنده در زمستان ۱۳۸۸ ارائه شد. در ادامه نواحی دیگری در این محدوده توسط زمین شناس منطقه (مهندس صفری) جهت انجام عملیات ژئوفیزیک معرفی گردید. این مناطق در نواحی مختلفی واقع شده و به ترتیب انجام پیمایش های ژئوالکتریک، از محدوده شماره ۱ تا ۹ نام گذاری شده اند. در این گزارش نتایج ادامه عملیات ژئوفیزیک در ۳ محدوده شماره ۴، ۷ و ۹ آورده شده است. در این مطالعه جمیعاً ۴ آرایش مستطیلی با فواصل ایستگاهی ۲۰ متر و فواصل پروفیلی ۵۰ متر، آرایش دوقطبی - دوقطبی $AB=800\text{ m}$ و ۷

آرایش دوقطبی - دوقطبی $AB=20\text{ m}$ برداشت شد. موقعیت آرایش های مستطیلی و ایستگاه های برداشت آن و همچنین موقعیت پروفیل های دوقطبی - دوقطبی بر روی عکس هوایی منطقه برداشت (برگرفته از نرم افزار *Google Earth Pro*) در نقشه ۱-۲ آورده شده است. به عنوان مثال در این نقشه، در منطقه شماره ۳ (*B3*) یک آرایش مستطیلی و دو آرایش دوقطبی - دوقطبی برداشت شده است. موقعیت نواحی مورد مطالعه که در فاز سوم عملیات اجرایی شده اند، با رنگ سفید و موقعیت نواحی مورد مطالعه در فاز دوم عملیات با رنگ سیاه در این نقشه مشخص شده است. کلیه نقاط ایستگاهی توسط *GPS* تعیین موقعیت و با سنگ چین علامت گذاری شده اند. همچنین ارتفاع آنها جهت تصحیح توپوگرافی مقاطع دوقطبی - دوقطبی، برداشت شده است. در تصویر ۱-۲ موقعیت و امتداد تقریبی پروفیل ها در در محدوده شماره ۴ که بیشترین حجم عملیات صحرایی در آن صورت گرفته، آورده شده است. خطوط مجزا موقعیت پروفیل های دوقطبی - دوقطبی و مستطیل ها موقعیت آرایش های مستطیلی بکار رفته را نشان می دهند.



نقشه ۲-۱: موقعیت آرایش های مستطیلی و دوقطبی-دوقطبی در محدوده برداشت. مناطقی که با رنگ سفید مشخص شده اند، نواحی مورد مطالعه در این گزارش می باشند.



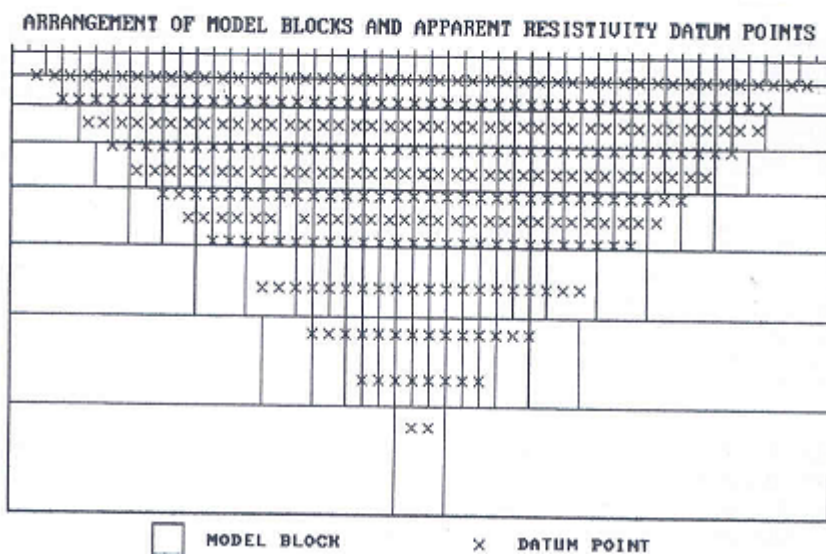
تصویر ۲-۱: موقعیت تقریبی پروفیل های برداشت در آرایش مستطیلی محدوده شماره ۴ (دید تقریبی: از شمال به جنوب).

۷-۲- نحوه پردازش داده ها و مدل سازی

مدل مقاومت ویژه دو بعدی حاصل از برداشت‌های صحرائی با استفاده از نرم افزار *Res2Dinv* محاسبه و

ترسیم می‌گردد. مدل دو بعدی استفاده شده بوسیله این برنامه شامل یک تعداد بلوک مستطیلی شکل است (شکل شماره ۶-۲).

از این نرم افزار می‌توان برای مدل سازی آرایه‌های قطبی - قطبی، دوقطبی، قطبی - دو قطبی، و نر و شلو مبرزه استفاده کرد. علاوه بر آرایه‌های معمول، این برنامه حتی از آرایه‌های غیرمعتارف نیز پشتیبانی می‌کند. با استفاده از این نرم افزار می‌توان شبیه مقاطعی با بیش از ۱۰۰۰۰ الکترود و ۲۱۰۰۰ نقطه داده را در یک زمان واحد، بر روی کامپیوتری با *RAM* یک گیگابایت پردازش نمود.



شکل ۶-۲: موقعیت قرار گیری بلوک های مورد استفاده در مدل نسبت به نقاط برداشت در شبیه مقطع

در این روش با تغییر مقاومت ویژه بلوک‌ها، اساساً سعی می‌شود اختلاف بین مقاومت ویژه ظاهری محاسبه شده و اندازه گیری شده را کاهش دهد. این اختلاف بوسیله خطای جذر متوسط مربعات *RMS* ارائه

می شود. با این وجود مدلی با کمترین خطای RMS ممکن می تواند بعضی وقتها تغییرات غیرواقعی و بزرگتری را در مقادیر مقاومت ویژه مدل نشان دهد و همیشه ممکن نیست بهترین مدل از نظر زمین شناسی باشد. در حالت عمومی بهترین روش انتخاب مدل، انتخاب درالگوریتم هایی است که خطای RMS بطور قابل توجهی تغییر نمی کند. این حالت بین تکرارهای ۳ تا ۵ اتفاق می افتد.

از قابلیت های دیگر این نرم افزار می توان به اعمال تصحیحات توپوگرافی بر روی داده ها همزمان با معکوس سازی داده ها اشاره نمود. این کار با داشتن نقاط ارتفاعی ایستگاه های برداشت امکان پذیر است.

۸-۲- تجهیزات مورد استفاده

دستگاه اندازه گیری $IP&RS$ که در این مطالعه مورد استفاده قرار گرفته است ساخت شرکت *IRIS* فرانسه می باشد که مشخصات آن به شرح ذیل می باشد.

- موتور ژنراتور بنزینی جهت تولید برق ۲۲۰ ولت ۵۰ هرتز.
- دستگاه تقویت کننده، یکسو کننده و فرستنده جریان مدل *VIP* ساخت کشور فرانسه، این دستگاه قادر است برق ۲۲۰ ولت حاصل از موتور در دو حوزه فرکانسی و زمانی (بسته به دستگاه گیرنده) را تا حد اکثر ۱۵۰۰ ولت افزایش دهد. در این مطالعه از این دستگاه در حالت *Time Domain* استفاده شد. این دستگاه به گونه ای تنظیم گردیده که جریان الکتریسیته را به فاصله زمانی مساوی هر ۲ ثانیه به الکترودهای جریان A, B فرستاده و قطع نماید. مدت ارسال جریان نیز ۲ ثانیه می باشد. در هر بار ارسال جریان، جهت جریان نیز از داخل دستگاه عوض می شود. علاوه بر این، میزان شدت جریان برقرار شده بین الکترودهای A و B نیز توسط صفحه دیجیتالی موجود بر روی دستگاه با دقت میلی آمپر نشان داده می شود که در محاسبه مقاومت ویژه ظاهری مورد استفاده قرار می گیرد.



تصویر ۲-۲: مجموعه موتور ژنراتور، ترانسمیتر و رسیور به همراه سیمهای فرستنده جریان



تصویر شماره ۲-۳: ترانسمیتر VIP ساخت شرکت IRIS فرانسه

• دستگاه گیرنده (رسیور) مدل *ELREC-10* ساخت شرکت *IRIS* با دقت ۱٪ میلی ولت بر ولت است.

این دستگاه قادر است مساحت زیر منحنی میرای ولتاژ در زمان‌های $T1, T2$ را در ۲۰ پنجره مختلف اندازه‌گیری

نماید و در نتیجه امکان پردازش اسپکتروال را میسر می‌سازد.

از مهمترین مشخصات این دستگاه می‌توان به موارد زیر اشاره کرد:

اندازه‌گیری همزمان ۱۰ ایستگاه به طور همزمان، محاسبه ضربی K بطور خودکار با توجه به موقعیت

الکترودهای فرستنده و گیرنده، محاسبه مقاومت ویژه ظاهری که بطور خودکار با توجه به مقدار شدت جریان

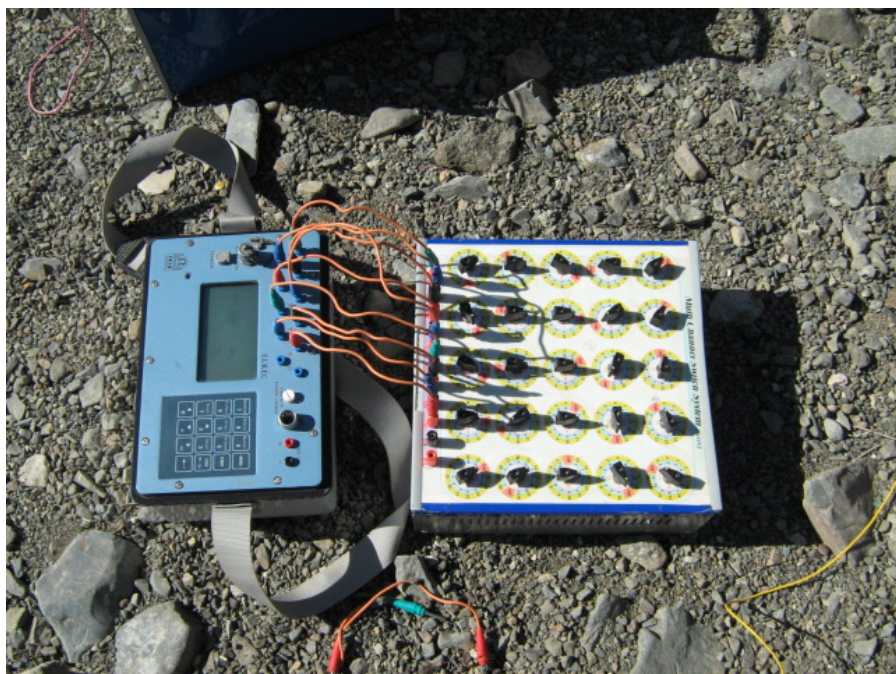
الکتریکی بر حسب میلی آمپر کنترل می‌شود، میزان اتصال الکترودها با زمین، اندازه‌گیری و ثبت تمام

پارامترها شامل موقعیت هر ایستگاه، مقاومت الکترودها، میزان پتانسیل خودزا، اختلاف پتانسیل، بارپذیری

ظاهری، میزان انحراف معیار (*S.D.*), میزان مقاومت ویژه ظاهری، تعداد اندازه‌گیری‌ها، بارپذیری واقعی، و امکان

مشاهده نویه‌ها بر روی هر یک از الکترودها هنگام اندازه‌گیری و داشتن حافظه و امکان ذخیره‌سازی تمامی

اطلاعات و تخلیه اطلاعات از گیرنده به کامپیوتر از طریق خروجی *USB* با نرم‌افزار تخلیه مخصوص دستگاه.



تصویر ۲-۴: گیرنده (رسیور) *ELREC-10* ساخت شرکت *IRIS* فرانسه به همراه سویچ باکس ساخت سازمان زمین‌شناسی کشور (گروه ژئوفیزیک).

فصل سوم

بررسی نتایج

همانطور که ذکر شد، در این گزارش به بررسی نتایج ادامه عملیات ژئوفیزیک در محدوده های شماره ۴، ۷ و ۹ پرداخته می شود. از این رو این مناطق به صورت مجزا و به ترتیب انجام پیمایش های ژئوالکتریک مورد بررسی قرار خواهند گرفت. در تمامی نقشه های این گزارش ایستگاه ها و پروفیل های شمالی و شرقی با علامت مثبت و تمامی ایستگاه ها و پروفیل های جنوبی و غربی با علامت منفی به نمایش درآمده اند.

۳-۱- بررسی نتایج در محدوده شماره ۴ (B4)

این منطقه که در این گزارش به عنوان محدوده شماره ۴ نامگذاری شده است به منطقه تک اسبی معروف بوده و از نظر موقعیت جغرافیایی این کانی سازی در شمال کبودان و شمال شرقی کلاته شجاع، واقع شده است. نواحی شرقی این محدوده در فاز اول و دوم عملیات ژئوفیزیک مورد مطالعه قرار گرفته است. در این بررسی نواحی باقی مانده توسط ۳ آرایش مستطیلی با مشخصات $AB=800\text{ m}$ و فواصل پروفیلی ۵۰ متر و فواصل ایستگاهی ۲۰ متری ($MN=20\text{ m}$) و ۱۰ آرایش دوقطبی- دوقطبی مورد پیمایش قرار گرفته و پارامترهای بارپذیری ظاهري و مقاومت ویژه ظاهري اندازه گيری شد. لازم به ذکر است که به منظور افزایش قدرت

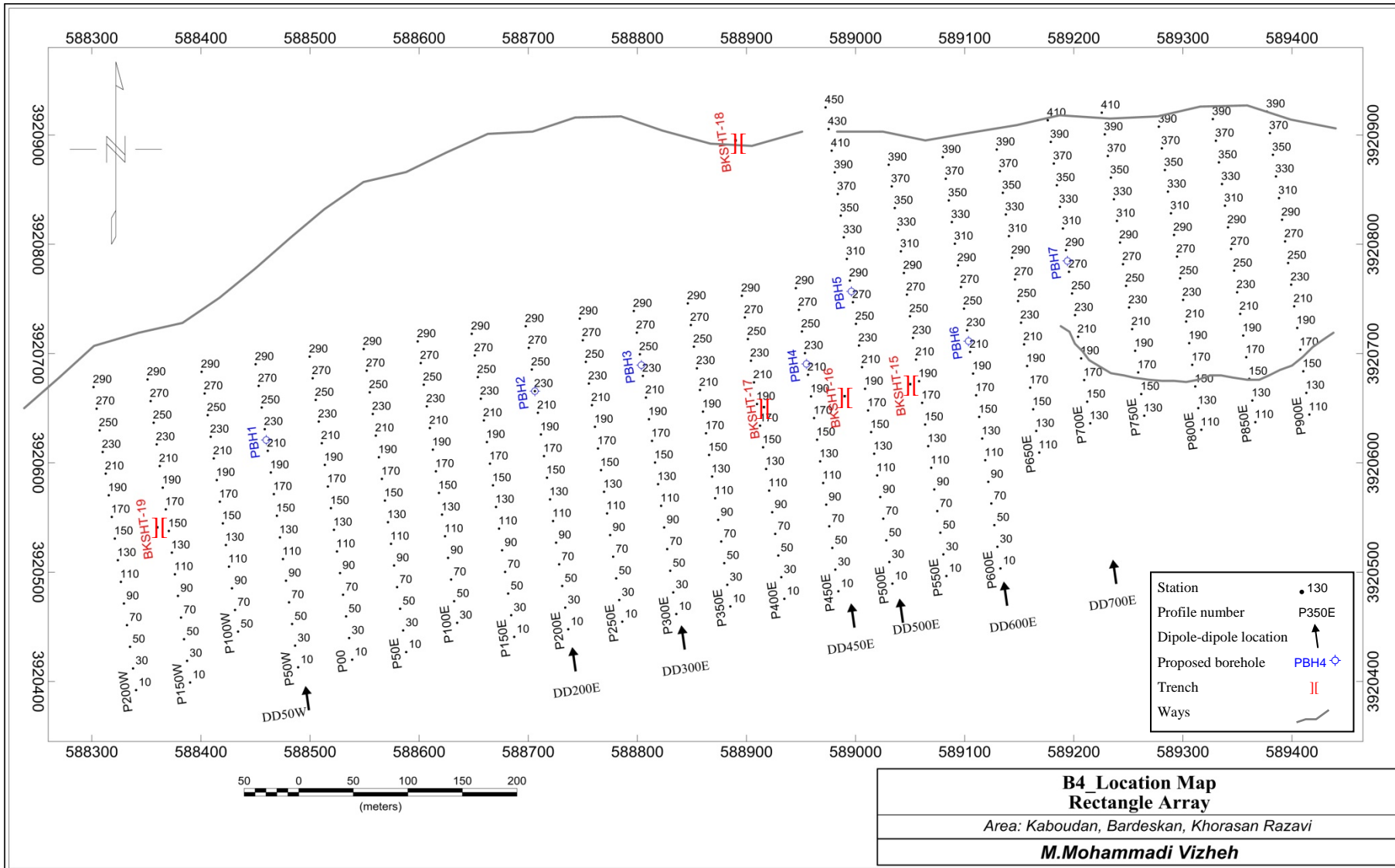
تفکیک داده ها، بر روی برخی از پروفیل ها در نقشه ۳-۱ موقعیت ایستگاه های برداشت و پروفیل های دوقطبی -

دوقطبی نسبت به یکدیگر و همچنین موقعیت ترانشه ها (مثالاً *BKSHT 16*) و نقاط حفاری پیشنهادی (مثالاً

PBH3) آورده شده است. در ادامه مقادیر اندازه گیری شده در نقشه های مقاومت ویژه و بارپذیری به صورت

جداگانه مورد بررسی قرار خواهند گرفت.

نقشه ۳-۱: نقشه موقعیت مکانی ایستگاه های آرایش مستطیلی، ترانشه ها، حفاری های پیشنهادی، موقعیت پروفیل های دوقطبی-دوقطبی و راه دسترسی در محدوده شماره ۴



۳-۱-۱- بودسی نتایج آرایش مستطیلی

نتایج آرایش مستطیلی در این محدوده به صورت نقشه های بارپذیری و مقاومت ویژه ظاهری به ترتیب

در نقشه های ۲-۳ و ۳-۳ آورده شده است. همانطور که در نقشه بارپذیری ظاهری (نقشه ۲-۳) دیده می شود،

ناحی با بارپذیری بالاتر با طیف رنگی قرمز تا بنفس از دیگر نواحی متمایز شده اند. در این محدوده حدائق

مقدار عددی بارپذیری ۳/۶ و حداقل مقدار عددی آن ۲۰/۵ می باشد. همانطور که در این نقشه دیده می شود،

مناطق با بارپذیری بالا به صورت یک باند از شرق تا غرب محدوده مورد مطالعه گسترش یافته است. با توجه به

نوع کانی سازی در منطقه که حاوی سولفیدهای آهن و مس در مرز بین متاتوف های اسیدی و متاریولیت ها با

شیسته های سبز تکنار می باشد، ناحیه با بارپذیری بالا را می توان از پتانسیل بالایی برای کانی سازی برخوردار

دانست. همانطور که در نقشه ۲-۳ دیده می شود، محدوده بی هنجار در شمال شرقی منطقه از وسعت بیشتری

برخوردار است. موقعیت ترانشه هایی که در این منطقه طراحی و حفاری گردیده است، در نقشه های ۱-۳ الى

۳-۳ آورده شده است. همانطور که در نقشه ۲-۳ دیده می شود، ترانشه های شماره ۱۵، ۱۶، ۱۷ و ۱۹ در امتداد

منطقه با بارپذیری بالا و در مرز ناحیه با بارپذیری بالا و پایین قرار دارند. این مسئله از شبیع عمومی ساختارها به

سمت شمال و واقع شدن احتمالی زون سولفید دار در اعماق بیشتر ناشی شده است.

همانطور که ذکر شد، نقشه مقاومت ویژه ظاهری این محدوده در نقشه ۳-۳ به نمایش در آمدده است.

محدوده تغییرات عددی مقاومت ویژه ظاهری مابین ۴۴ تا ۱۱۱۶ می باشد. همانطور که در نقشه مقاومت ویژه

ظاهری این محدوده (نقشه ۳-۳) دیده می شود، نواحی با مقاومت ویژه بالا (طیف رنگی قرمز تا بنفس) به طور

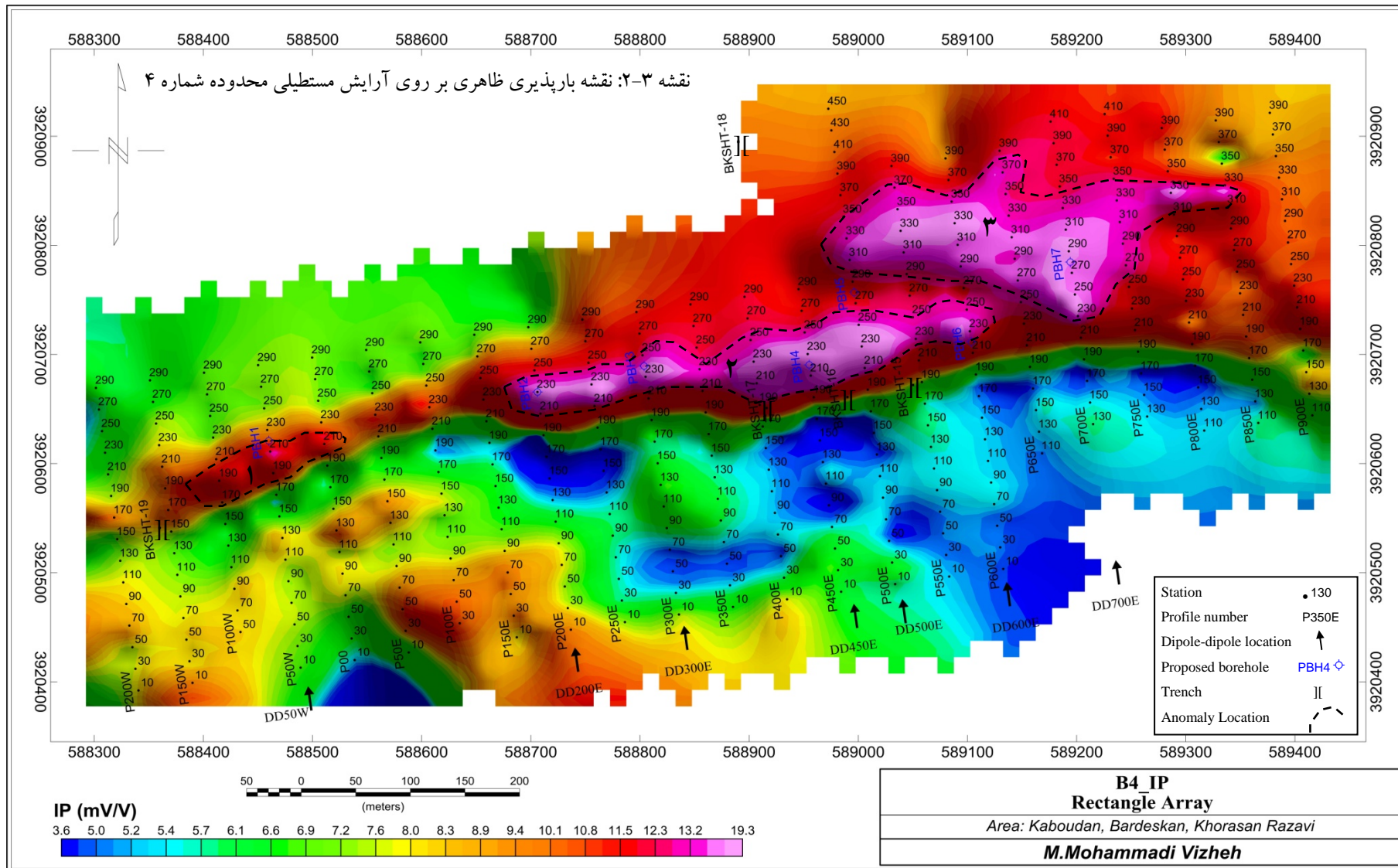
عمده در جنوب این نقشه دیده می شوند. این نواحی منطبق بر متاتوف های اسیدی و متاریولیت ها می باشند.

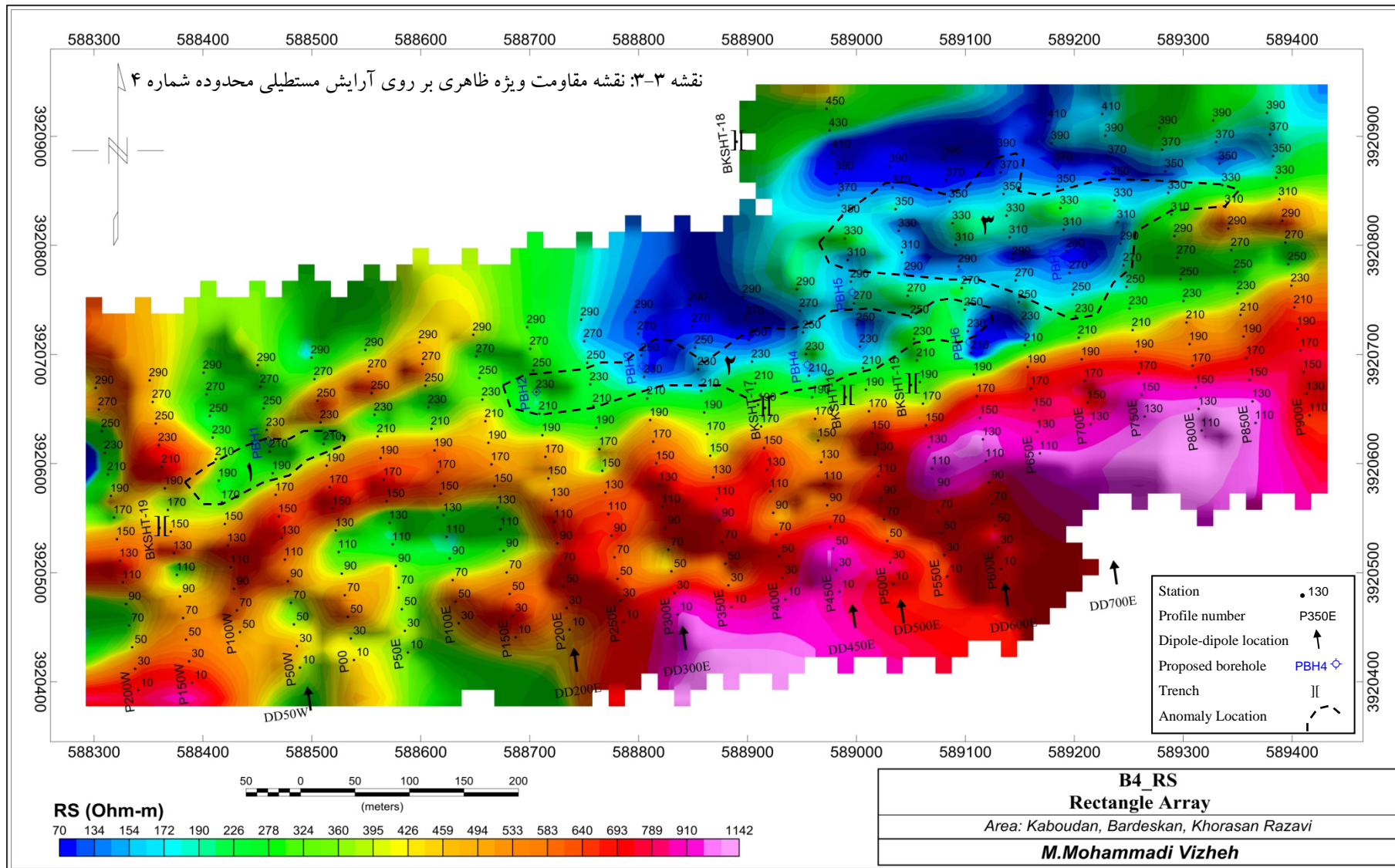
کانی سازی اصلی این محدوده که به صورت مگنتیت و مالاکیت در سطح و سولفیدهای پیریت و کالکوپیریت

مشاهده می شود، بطور عمده در کن tact متابوف ها و متاریولیت ها با شیسته های سبز مشاهده می شود. نواحی

با مقاومت ویژه پایین تا متوسط (آبی تا سبز) که به طور عمده در شمال نقشه ۳-۳ قابل تشخیص است، منطبق بر شیسته های سبز می باشند. در نقشه ۳-۳ مرز بین شیسته های سبز با مقاومت ویژه متوسط در شمال محدوده مورد مطالعه و متاتوف های اسیدی و متاریولیت ها با مقاومت ویژه بالا در جنوب محدوده مورد مطالعه قابل تشخیص است. این مرز به خوبی در امتداد ترانشه های ۱۵، ۱۶ و ۱۷ در نقشه ۳-۳ قابل تشخیص است. با توجه به نوع کانی سازی در منطقه و همچنین حضور سولفیدهای آهن و مس در محدوده مورد مطالعه، نواحی مشخص شده در نقشه های ۲-۳ و ۳-۳ را می توان از پتانسیل بالایی برای کانی سازی برخوردار دانست. همانطور که در این دو نقشه دیده می شود، نواحی بی هنجار با بارپذیری بالا که با خط چین مشخص و نامگذاری شده اند، منطبق بر نواحی با مقاومت ویژه پایین تا متوسط (طیف رنگی آبی تیره تا سبز) می باشند. از این رو برای بررسی-های عمقی و پیشنهاد نقاط حفاری بر روی بی هنجاری های مشخص شده، چند پروفیل دوقطبی-دوقطبی با مشخصات زیر برداشت شد، که به ترتیب به بررسی آنها پرداخته می شود.

شماره نقشه	MN	پوش	AB	پوش	فاصله الکتروودی	محدوده برداشت	نام پروفیل	شماره
۴-۳	مترا ۲۰	مترا ۲۰	مترا ۲۰	مترا ۲۰ و ۴۰	مترا ۶۰	۴۲۰N	DD50W	۱
۵-۳	مترا ۲۰	مترا ۲۰	مترا ۲۰	مترا ۴۰ و ۲۰	مترا ۴۰N	۴۸۰N	DD200E	۲
۶-۳	مترا ۲۰	مترا ۲۰	مترا ۲۰	مترا ۴۰	مترا ۱۴۰N	۵۰۰N	DD300E	۳
۷-۳	مترا ۲۰	مترا ۲۰	مترا ۲۰	مترا ۴۰ و ۲۰	مترا ۶۰N	۵۰۰N	DD450E	۴
۸-۳	مترا ۲۰	مترا ۲۰	مترا ۲۰	مترا ۴۰	مترا ۸۰N	۵۴۰N	DD500E	۵
۹-۳	مترا ۲۰	مترا ۲۰	مترا ۲۰	مترا ۴۰	مترا ۱۰۰N	۵۲۰N	DD600E	۶
۱۰-۳	مترا ۲۰	مترا ۲۰	مترا ۲۰	مترا ۴۰	مترا ۸۰N	۵۴۰N	DD700E	۷





B4-DD50W مقطع ۳-۱-۲- بودسی

به منظور بررسی عمقی و ردیابی بی هنجاری شماره ۱ در نقشه های ۲-۳ و ۳-۳، دو آرایش دوقطبی-

دو قطبی با فواصل ایستگاهی ۲۰ و ۴۰ متر و با پرش ۲۰ متری ($AB=MN=20, 40; Leap=20m$) بر روی

پروفیل ۵۰ غربی برداشت شد. موقعیت این پروفیل در نقشه های ۳-۱-۳-۳ با واژه $DD50W$ مشخص شده

است. مقاطع مدل سازی شده IP & RS مربوطه با نرم افزار $Res2Dinv$ تهیه شده و در نقشه های شماره ۳-۴-الف

تا ۳-۴-ج آورده شده است. در نقشه های ۳-۴-الف و ۳-۴-ب به ترتیب شبه مقاطع و مقطع دو بعدی مقاومت

ویژه و بارپذیری حاصل از مدل سازی وارون (معکوس) مربوط به این پروفیل، نشان داده شده است. علاوه بر این

مقاطع دو بعدی مقاومت ویژه و بارپذیری حاصل از مدل سازی وارون این پروفیل با اعمال تصحیح توپوگرافی

در نقشه ۳-۴-ج آورده شده است. حداقل و حداقل مقدار عددی بارپذیری و مقاومت ویژه به ترتیب ۲/۱۵ تا

۱۸/۶ میلی ولت بر ولت و ۹۳ تا ۱۲۳۸ اهم متر می باشد.

در نقشه IP محدوده بی هنجاری با طیف رنگی قرمز تا بنفش از دیگر نواحی متمایز شده است. این

بی هنجاری که در فاصله ایستگاه های ۱۸۰ تا ۲۲۰ شمالی واقع شده و از سطح تا عمق تقریبی ۶۰ متری گسترش

یافته است منطبق بر بی هنجاری با مقاومت ویژه پایین (پایین تر از ۱۸۰ اهم متر) می باشد. با توجه به نوع کانی

سازی در این ناحیه (حضور قابل توجه سولفیدهای آهن و مس) این ناحیه را می توان از پتانسیل بالای برای

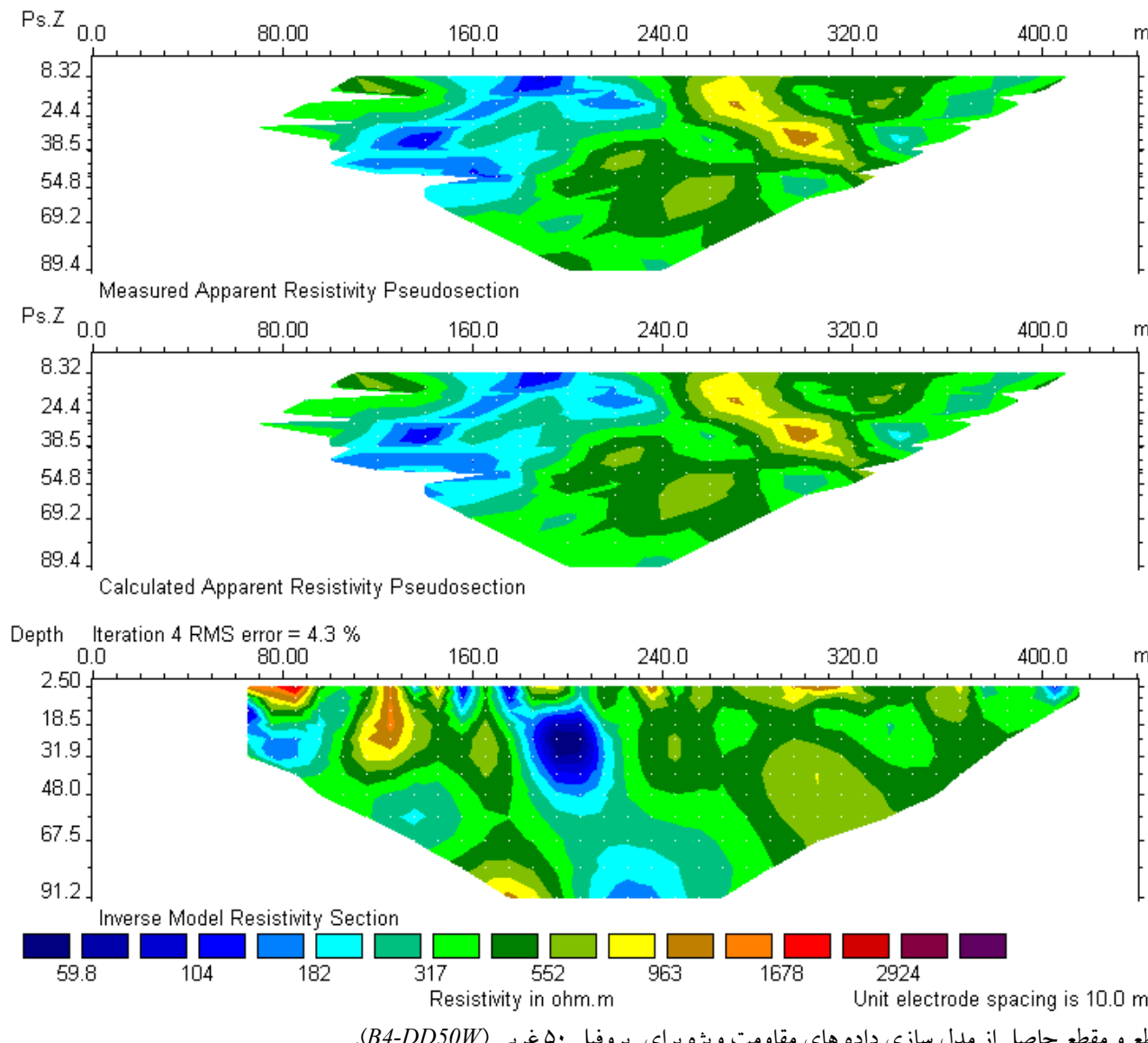
کانی سازی برخوردار دانست.

با توجه به موارد ذکر شده فوق گمانه اکتشافی بنابر نقشه بارپذیری به شرح زیر پیشنهاد می گردد

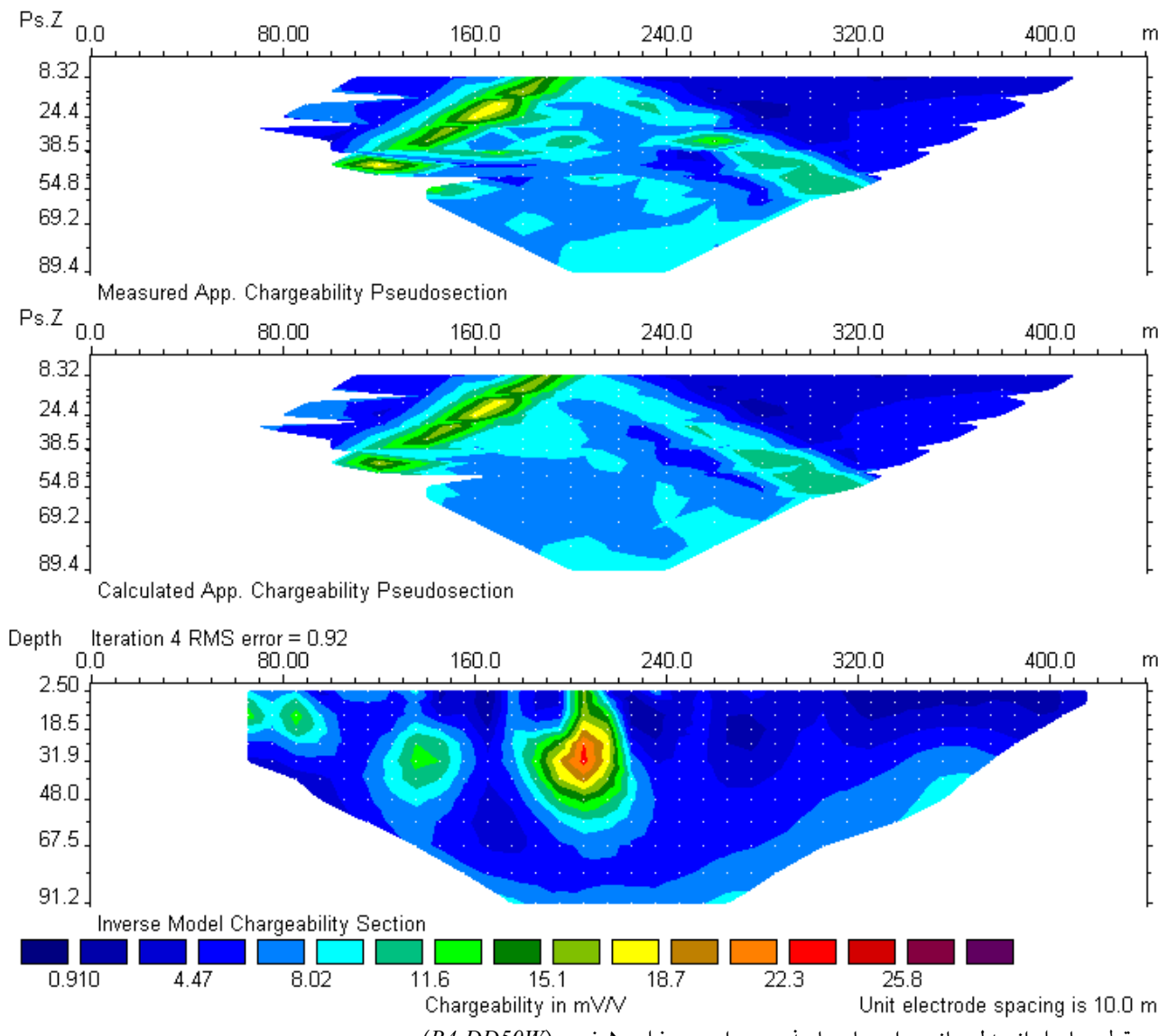
(زاویه حفاری نسبت به قائم می باشد):

نام	X(UTM)	Y(UTM)	ایستگاه	عمق حفاری	آزیموت(درجه)	زاویه (درجه)
PBHI	۵۸۸۴۵۹	۳۹۲۰۶۲۱	۲۲۰ شمالی	۸۰ متر	۱۷۲	۲۰

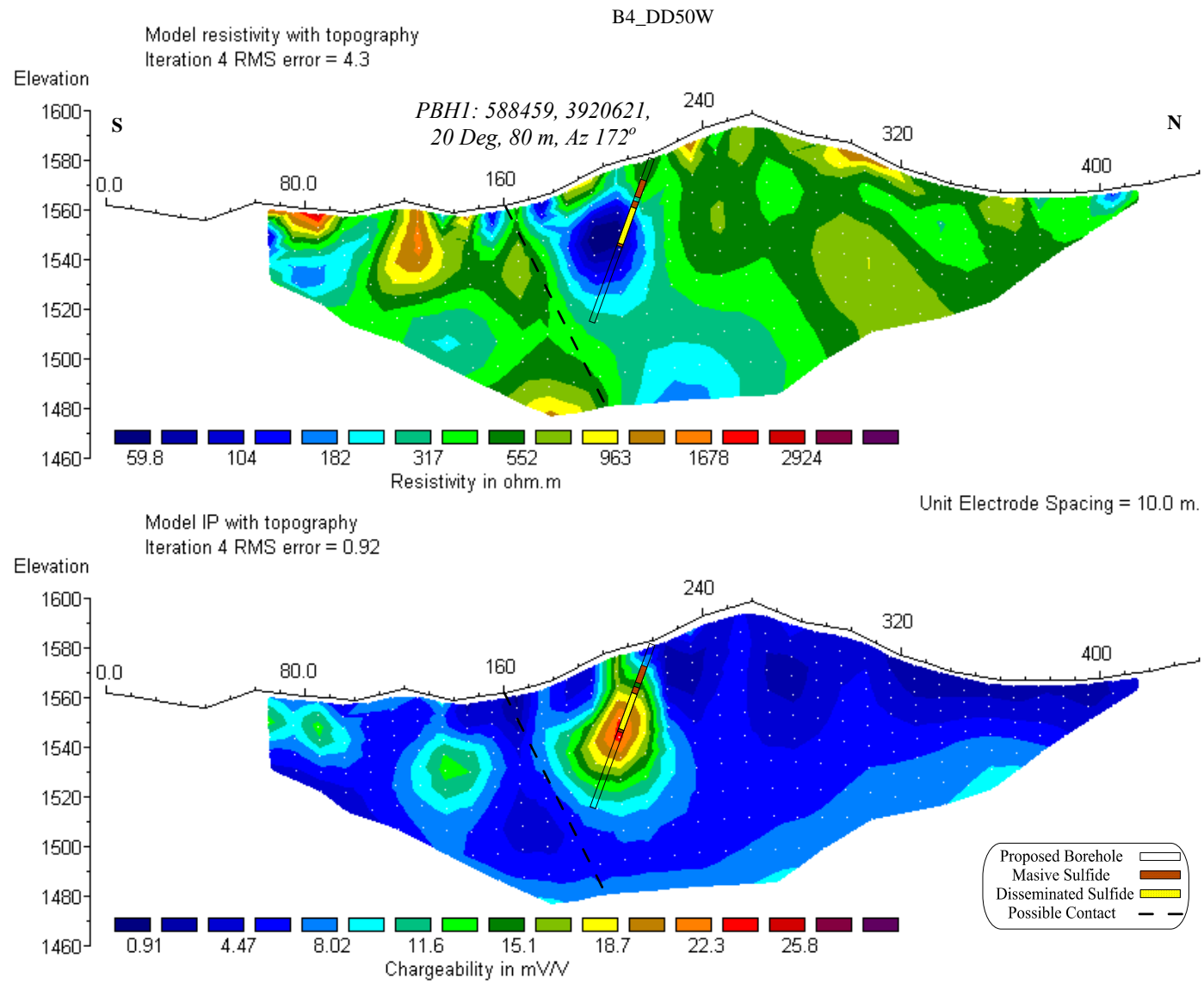
خوبشختانه برخی از حفاری های پیشنهادی نظیر گمانه بالا بلا فاصله بعد از انجام عملیات ژئوفیزیک صورت گرفته است. از این رو نتایج آنها در این گزارش آورده شده است. به این ترتیب که نواحی کانه زا به صورت سولفیدهای پراکنده با رنگ زرد و نواحی حاوی سولفید های متراکم با رنگ نارنجی در گمانه های حفاری شده مشخص شده اند. همانطور که در نقشه ۴-۳-ج دیده می شود، مناطق کانه زا از انطباق خوبی با نواحی بی هنجار در نقشه های بارپذیری و مقاومت ویژه برخوردار می باشند.



نقشه ۴-۳-الف: شبیه مقاطع و مقطع حاصل از مدل سازی داده های مقاومت ویژه برای پروفیل ۵۰ غربی (B4-DD50W).



نقشه ۳-۴-ب: شب مقاطع و مقطع حاصل از مدل سازی داده های بارپذیری برای پروفیل ۵۰° غربی (B4-DD50W).



نقشه ۳-۴-ج: مقاطع دو بعدی مقاومت و بارپذیری حاصل از مدل سازی وارون با اعمال تصحیح توپوگرافی برای پروفیل ۵۰ غربی (B4-DD50W).

۳-۱-۳- بردسی مقطع B4-DD200E

به منظور بررسی عمقی و ردیابی بی هنجاری شماره ۲، بر روی چهار پروفیل ۲۰۰، ۳۰۰، ۴۵۰ و ۵۰۰ شرقی، ۶ آرایش دوقطبی- دوقطبی برداشت شد. به این ترتیب که ۲ آرایش دوقطبی- دوقطبی با فواصل ایستگاهی ۲۰ و ۴۰ متر و پرش ۲۰ متری ($AB=MN=20, 40; Leap=20m$) بر روی پروفیل ۲۰۰ شرقی، یک آرایش دو قطبی- دوقطبی با مشخصات ($AB=MN=40; Leap=20m$) بر روی پروفیل ۳۰۰ شرقی، دو آرایش دوقطبی- دوقطبی با مشخصات ($AB=MN=20, 40; Leap=20m$) بر روی پروفیل ۴۵۰ شرقی و یک آرایش دوقطبی- دوقطبی با مشخصات ($AB=MN=40; Leap=20m$) بر روی پروفیل ۵۰۰ شرقی برداشت شد.

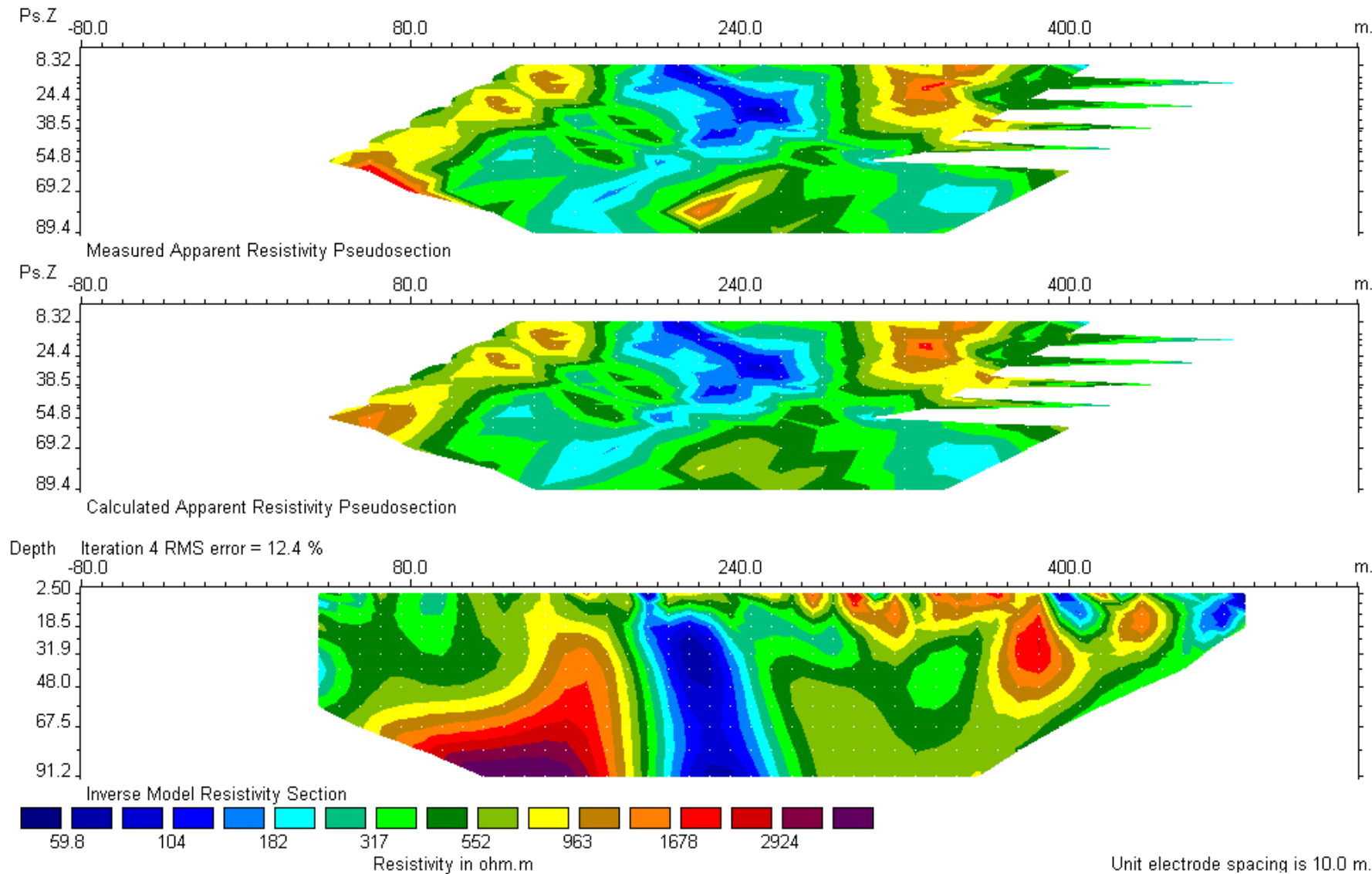
در این قسمت به بررسی پروفیل ۲۰۰ شرقی پرداخته می شود. موقعیت این پروفیل در نقشه های ۱-۳ الی ۳-۳ با واژه $DD200W$ مشخص شده است. مقاطع مدل سازی شده IP & RS مربوطه با نرم افزار $Res2Dinv$ تهیه شده و در نقشه های شماره ۳-۵-alf تا ۳-۵-ج آورده شده است. در نقشه های ۳-۵-alf و ۳-۵-ب به ترتیب شبه مقاطع و مقطع دو بعدی مقاومت ویژه و بارپذیری حاصل از مدل سازی وارون (معکوس) مربوط به این پروفیل، نشان داده شده است. علاوه بر این مقاطع دو بعدی مقاومت ویژه و بارپذیری حاصل از مدل سازی وارون این پروفیل با اعمال تصحیح توپو گرافی در نقشه ۳-۵-ج آورده شده است. حداقل و حداکثر مقدار عددی بارپذیری و مقاومت ویژه به ترتیب $1/3$ تا $24/2$ میلی ولت بر ولت و 67 تا 2262 اهم متر می باشد.

در نقشه IP محدوده بی هنجاری با طیف رنگی نارنجی تا قرمز تیره از دیگر نواحی متمایز شده است. این بی هنجاری که در فاصله ایستگاه های ۱۹۰ تا ۲۳۰ شمالی واقع شده و از سطح تا عمق گسترش یافته است همانند پروفیل ۵۰ غربی منطبق بر بی هنجاری با مقاومت ویژه پایین (پایین تر از ۱۸۰ اهم متر) می باشد. با توجه به نوع کانی سازی در این ناحیه (حضور قابل توجه سولفیدهای آهن و مس) این ناحیه را می توان از پتانسیل بالایی برای کانی سازی برخوردار دانست.

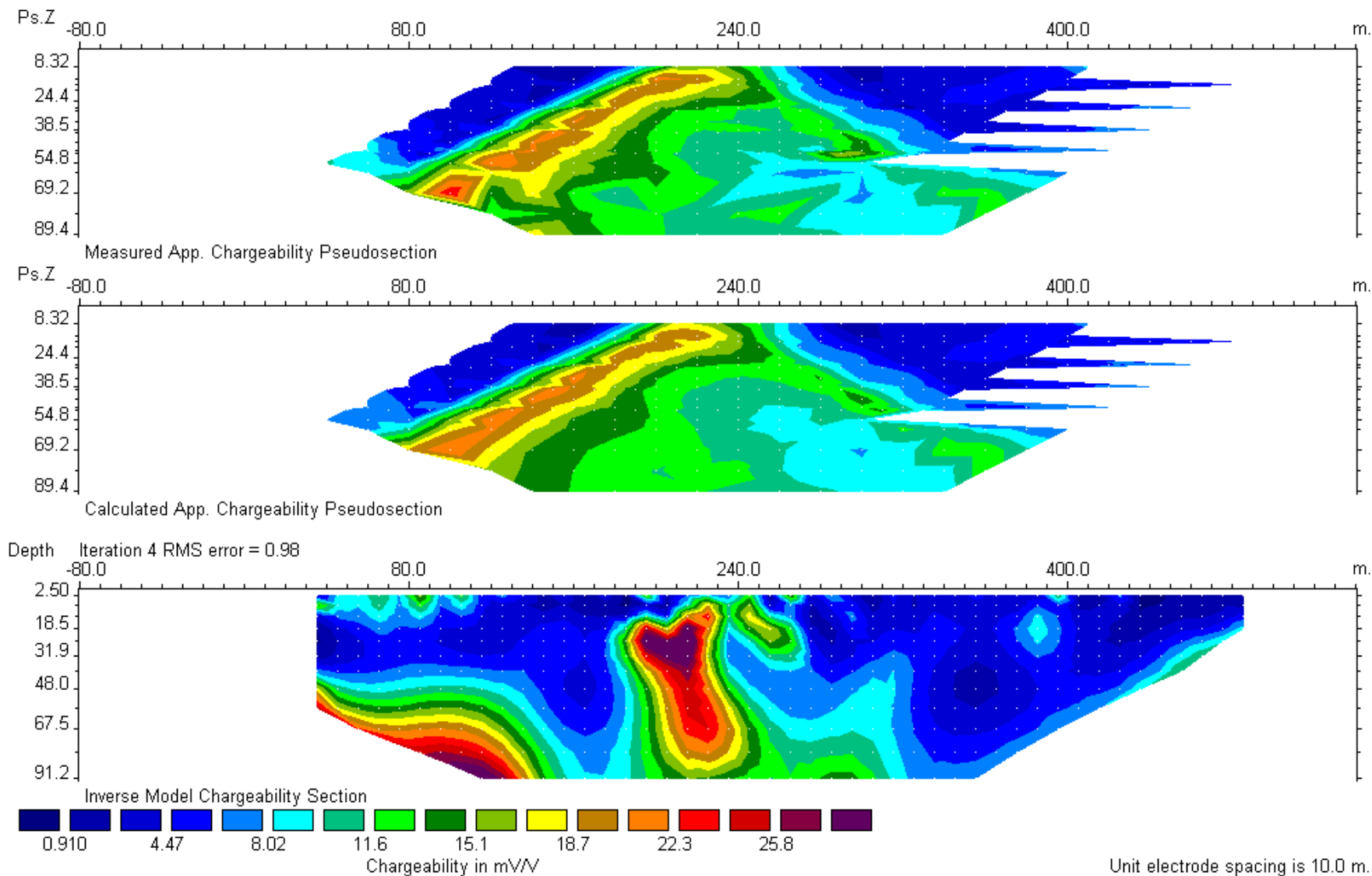
نتایج حفاری پیشنهادی این مقطع نیز در نقشه ۳-۵-ج آورده شده است. همانطور که در این نقشه مشاهده می شود، زون کانی سازی منطبق بر ناحیه با مقاومت ویژه پایین و بارپذیری بالا می باشد. مرز دو ناحیه با مقاومت ویژه پایین و بالا که نشان دهنده کن tact است بین متاثر های اسیدی و متاریولیت ها با شیست های سبز می باشد، با خط چین سیاه در نقشه ۳-۵-ج مشخص شده است. همانطور که مورد انتظار نیز بوده است، زون کانی سازی منطبق بر کن tact است بین متاثر های سبز می باشد. البته لازم به ذکر است که نواحی برشی و خرد شده اطراف زون کانی سازی که در نقشه ها مشخص نشده اند به علت حضور کانی های رسی می توانند نواحی بی هنجار در نقشه های مقاومت ویژه پایین در مقاطع را سبب شود. این مسئله سبب بزرگتر و گسترده تر بودن نواحی بی هنجار در نقشه های مقاومت ویژه و بارپذیری می گردد.

با توجه به موارد ذکر شده فوق گمانه اکتشافی بنابر نقشه بارپذیری به ترتیب اولویت به شرح زیر پیشنهاد می گردد (زاویه حفاری نسبت به قائم می باشد):

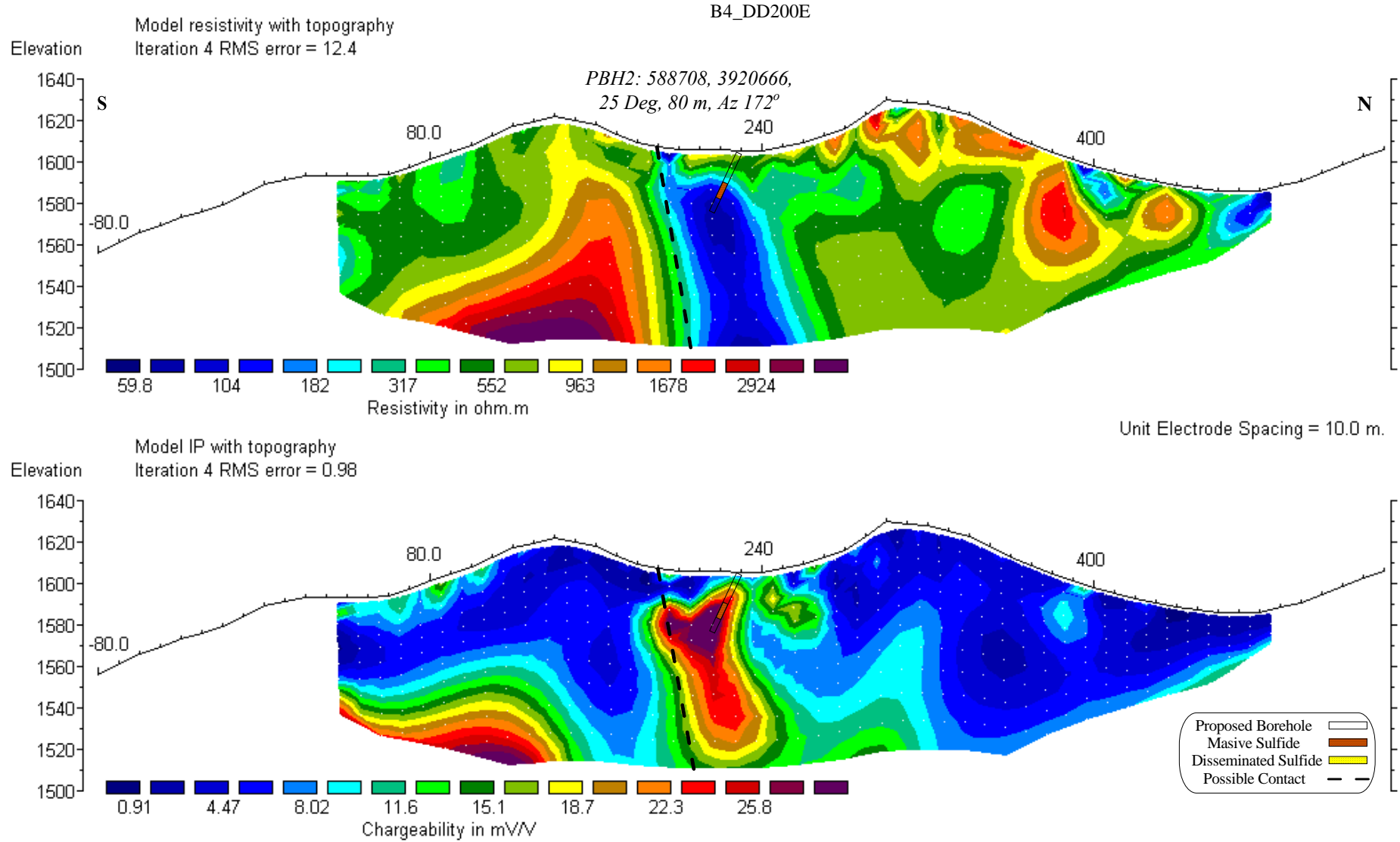
نام	$X(UTM)$	$Y(UTM)$	ایستگاه	عمق حفاری	آزیمoot(درجه)	زاویه (درجه)
PBH2	۵۸۸۷۰۸	۳۹۲۰۶۶۶	۲۳۰ شمالی	۸۰ متر	۱۷۲	۲۵



نقشه ۳-۵-الف: شبیه مقاطع و مقطع حاصل از مدل سازی داده های مقاومت ویژه برای پروفیل ۲۰۰ شرقی (B4-DD200E).



نقشه ۳-۵-ب: شبیه مقاطع و مقطع حاصل از مدل سازی داده های بارپذیری برای پروفیل ۲۰۰ شرقی (.B4-DD200E).



نقشه ۳-۵-ج: مقاطع دو بعدی مقاومت ویژه و بارپذیری حاصل از مدل سازی وارون با اعمال تصحیح توپوگرافی برای پروفیل ۲۰۰ شرقی (B4-DD200E).

۳-۱-۴- بردسی مقطع B4-DD300W

به منظور بررسی عمقی و ردیابی بی هنجاری شماره ۲ در نقشه های ۲-۳ و ۳-۳، یک آرایش دوقطبی-

دوقطبی با فاصله ایستگاهی ۴۰ متر و با پرش ۲۰ متری ($AB=MN=40$; $Leap=20m$) بر روی پروفیل ۳۰۰

شرقی برداشت شد. موقعیت این پروفیل در نقشه های ۳-۱-۳-۳ با واژه DD300E مشخص شده است. مقاطع

مدل سازی شده IP & RS مربوطه با نرم افزار Res2Dinv تهیه شده و در نقشه شماره ۳-۶ به نمایش درآمده

است. در نقشه های ۳-۶-الف و ۳-۶-ب شبیه مقاطع و مقاطع دو بعدی مقاومت ویژه و بارپذیری حاصل از مدل

سازی وارون این پروفیل، نشان داده شده است. علاوه بر این، مقاطع دو بعدی مقاومت ویژه و بارپذیری حاصل از

مدل سازی وارون این پروفیل با اعمال تصحیح توپوگرافی در نقشه ۳-۶-ج آورده شده است. حداقل و حداکثر

مقدار عددی بارپذیری و مقاومت ویژه به ترتیب ۲/۶ تا ۱۵/۵ میلی ولت بر ولت و ۷۴ تا ۸۸۸ اهم متر می باشد.

در نقشه IP، محدوده بی هنجاری با طیف رنگی سبز تا نارنجی از دیگر نواحی متمایز شده است. همانطور

که در شکل ۳-۶-ج نیز دیده می شود، در این مقطع نیز همانند پروفیل های قبلی، بی هنجاری با مقاومت ویژه

پایین منطبق بر بی هنجاری با بارپذیری بالا می باشد. با این تفاوت که مقدار عددی بارپذیری در این پروفیل به

نسبت کمتر از دو پروفیل قبلی است. این مسئله می تواند ناشی از عیار کمتر و یا پراکندگی کمتر کانی سازی

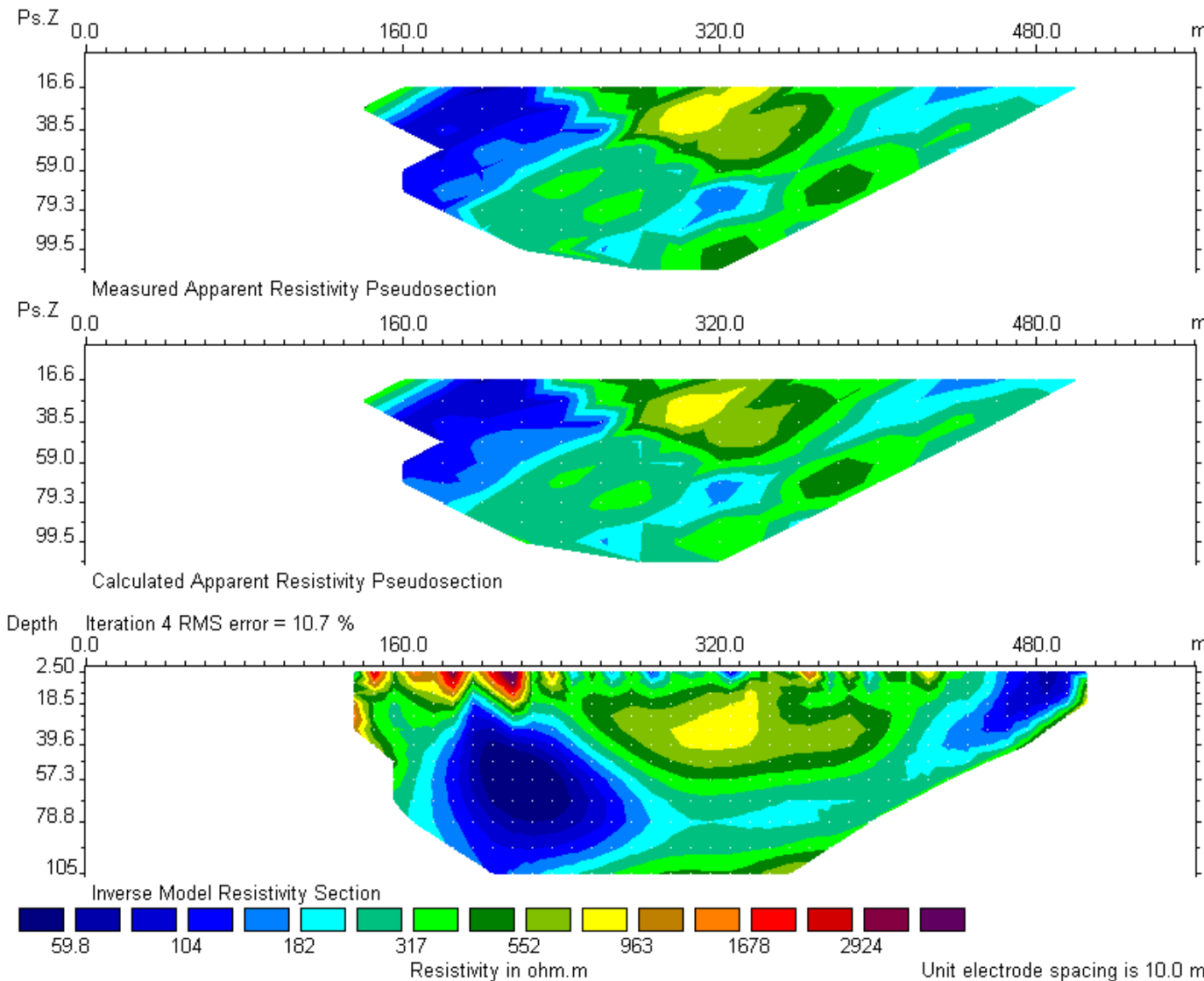
سولفیدی در این ناحیه باشد. لازم به ذکر است که برای مقایسه مقاطع دوقطبی- دوقطبی محدوده شماره ۴، از

یک مقیاس رنگی مقاومت ویژه و بارپذیری برای ترسیم کلیه پروفیل ها استفاده شده است.

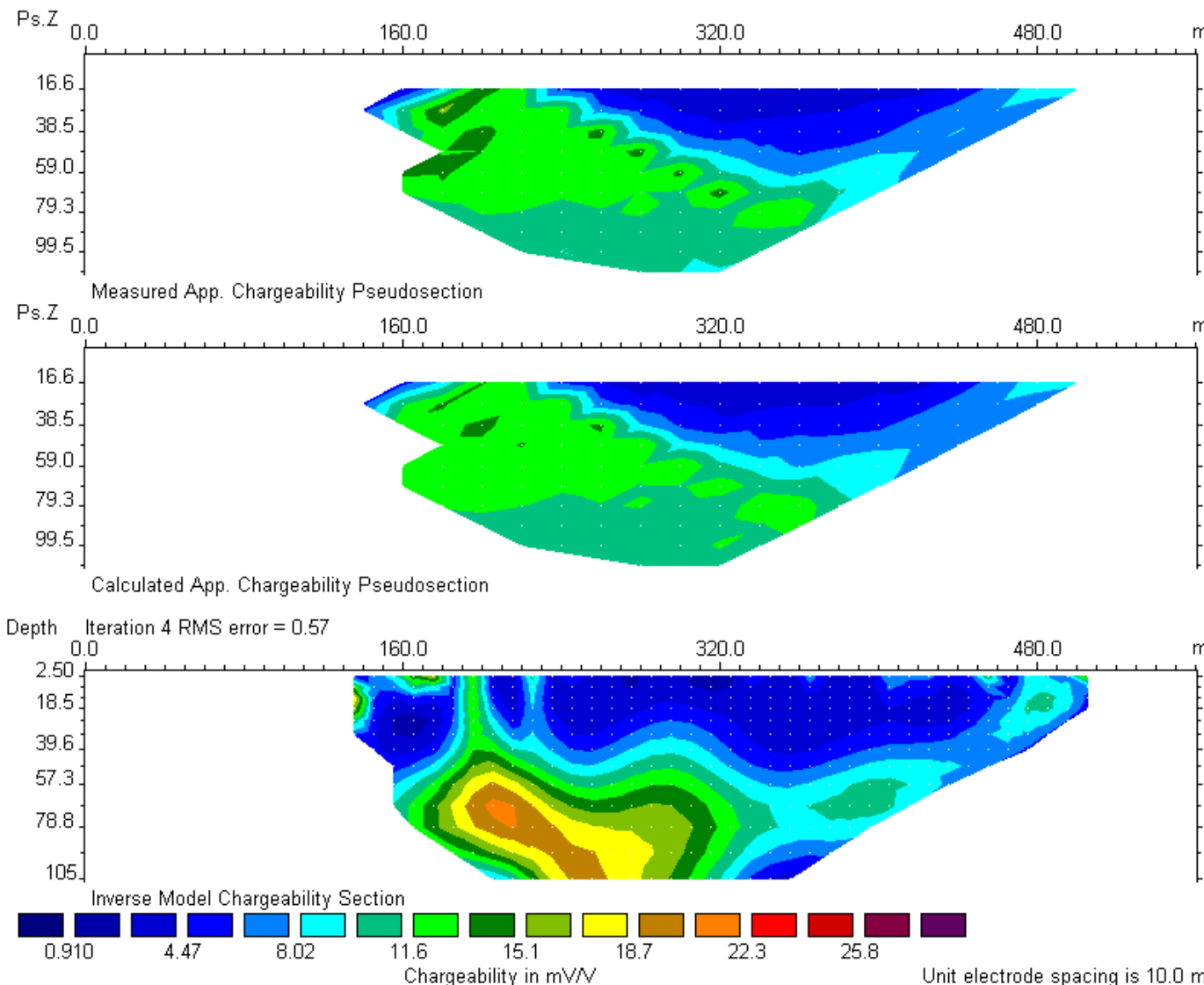
با توجه به موارد ذکر شده فوق گمانه اکتشافی بنابر نقشه بارپذیری به شرح زیر پیشنهاد می گردد

(زاویه حفاری نسبت به قائم می باشد):

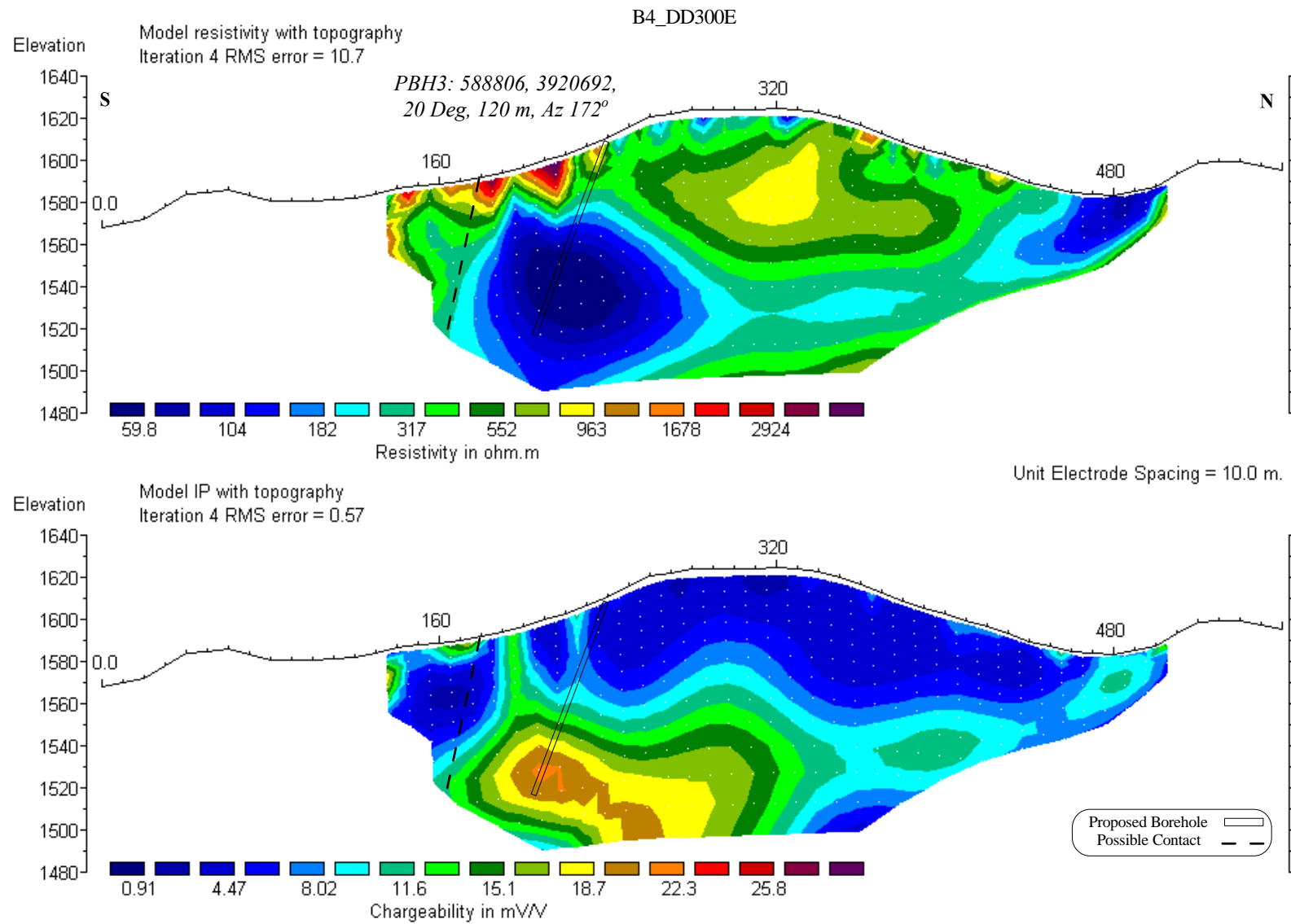
نام	$X(UTM)$	$Y(UTM)$	ایستگاه	عمق حفاری	آزیموت(درجه)	زاویه(درجه)
PBH3	۵۸۸۸۰۶	۳۹۲۰۶۹۲	۲۴۰ شمالی	۱۲۰ متر	۱۷۲	۲۰



نقشه ۳-۶-الف: شب مقاطع و مقطع حاصل از مدل سازی داده های مقاومت ویژه برای پروفیل ۳۰۰ شرقی (B4-DD300E).



نقشه ۳-۶-ب: شبیه مقاطع و مقطع حاصل از مدل سازی داده های بارپذیری برای پروفیل ۳۰۰ شرقی (B4-DD300E).



نقشه ۳-۶-ج: مقاطع دو بعدی مقاومت ویژه و بارپذیری حاصل از مدل سازی وارون با اعمال تصحیح توپوگرافی برای پروفیل ۳۰۰ شرقی (B4-DD300E).

۳-۱-۵- بردسی مقطع B4-DD450W

به منظور بررسی عمقی و ردیابی بی هنجاری شماره ۲ در نقشه های ۳-۲ و ۳-۳، دو آرایش دوقطبی-

دو قطبی با فاصله ایستگاهی ۲۰ و ۴۰ متر و با پرش ۲۰ متری ($AB=MN=20, 40; Leap=20m$) بر روی پروفیل

۴۵۰ شرقی برداشت شد. موقعیت این پروفیل در نقشه های ۳-۱ الی ۳-۳ با واژه $DD450E$ مشخص شده است.

مقاطع مدل سازی شده $IP \& RS$ مربوطه با نرم افزار $Res2Dinv$ تهیه شده و در نقشه شماره ۳-۷ به نمایش

درآمده است. در نقشه های ۳-۷-الف و ۳-۷-ب شبیه مقاطع و مقاطع دو بعدی مقاومت ویژه و بارپذیری حاصل

از مدل سازی وارون این پروفیل، نشان داده شده است. علاوه بر این، مقاطع دو بعدی مقاومت ویژه و بارپذیری

حاصل از مدل سازی وارون این پروفیل با اعمال تصحیح توپوگرافی در نقشه ۳-۷-ج آورده شده است. حداقل و

حداکثر مقدار عددی بارپذیری و مقاومت ویژه به ترتیب ۲۰ میلی ولت بر ولت و ۵۲ تا ۱۸۱۷ اهم متر

می باشد.

در نقشه IP محدوده بی هنجاری با طیف رنگی زرد تا قرمز از دیگر نواحی متمایز شده است. همانطور که

در مقطع ۳-۷-ج دیده می شود، در این مقطع نیز بی هنجاری با بارپذیری بالا منطبق بر بی هنجاری با مقاومت

ویژه پایین می باشد. از این رو همانند پروفیل هایی که تاکنون بررسی شد، این ناحیه را نیز می توان از پتانسیل

بالایی برای کانی سازی برخوردار دانست. مسئله قابل توجه که در این مقطع دیده می شود، گسترش بی هنجاری

با بارپذیری بالا (طیف رنگی سبز تا قرمز) و مقاومت ویژه پایین (طیف رنگی آبی تا فیروزه ای) در طول پروفیل

می باشد. همانطور که در نقشه ۳-۷-ج قابل تشخیص است، بی هنجاری با مقاومت ویژه پایین و با بارپذیری

نسبتاً بالا در حوالی ایستگاه ۴۲۰ شمالی به سطح زمین نزدیک می شوند. این مسئله به خوبی در نقشه ۳-۶ مربوط

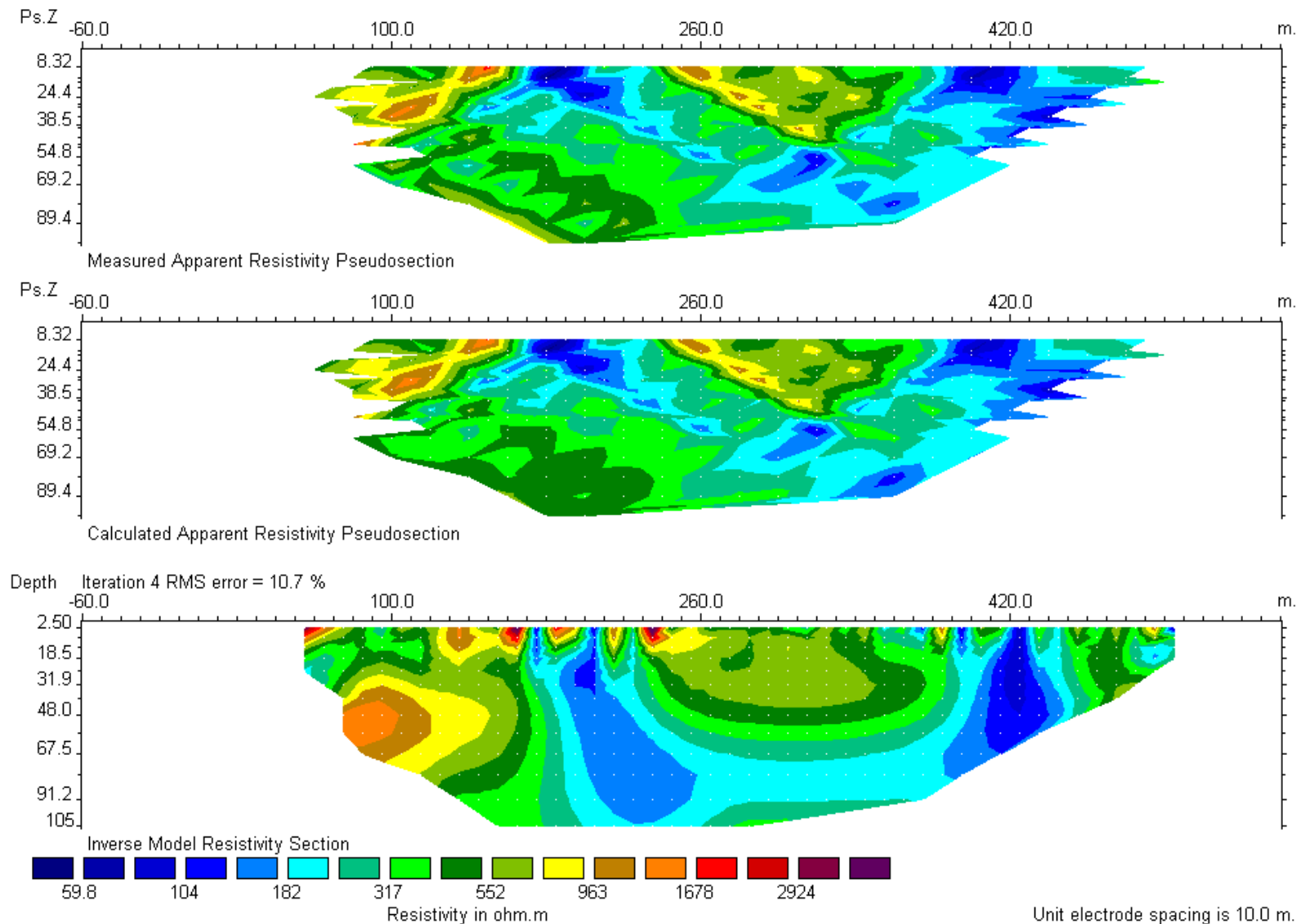
به پروفیل ۳۰۰ شرقی نیز در فاصله ایستگاهی ۴۵۰ تا ۵۰۰ شمالی به خوبی مشهود است. شواهد کانی سازی به

صورت زون های اکسیده در سطح زمین و به صورت محلی در مرز شمالی محدوده مورد مطالعه که به نظر

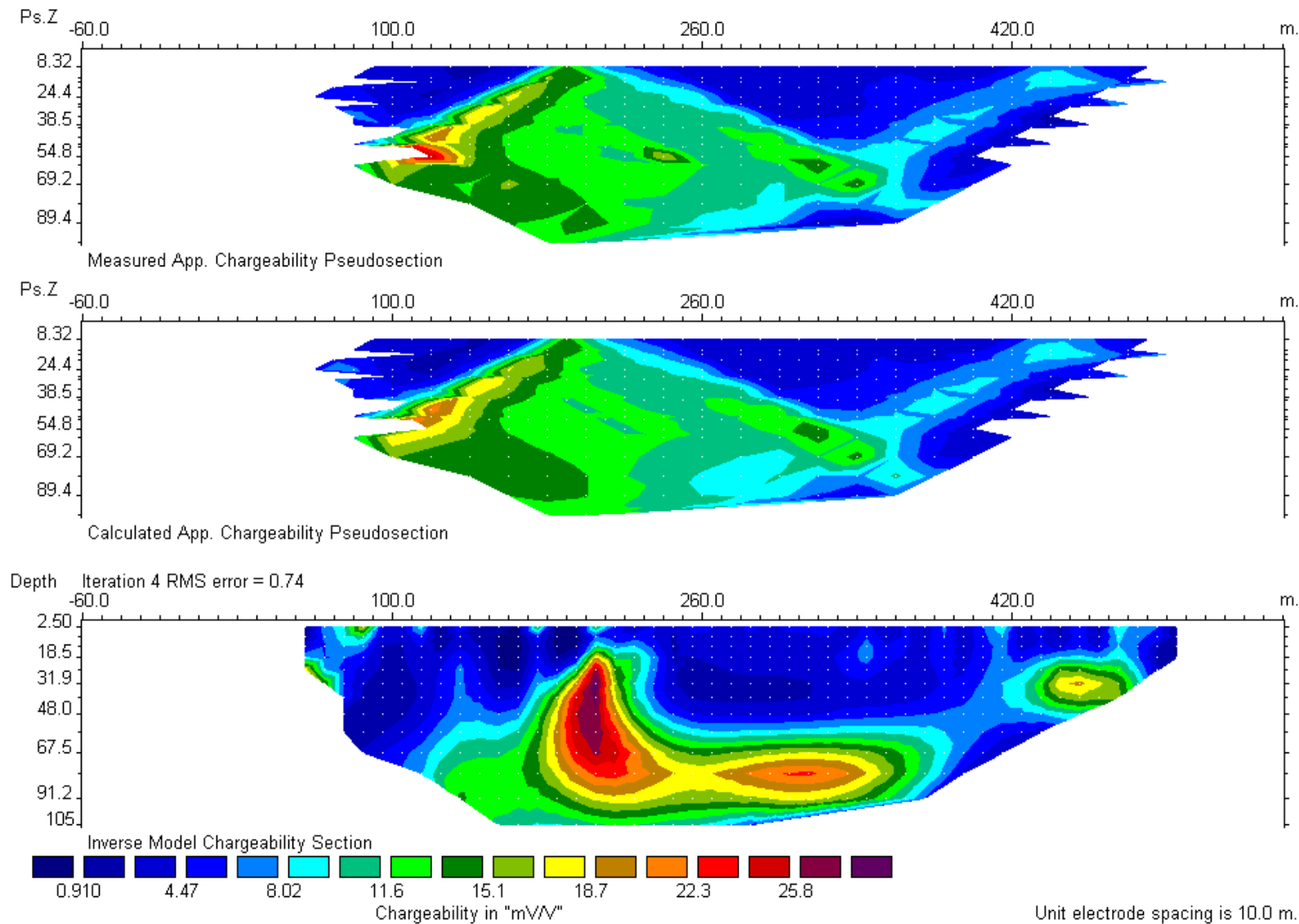
دارای امتداد مشخصی هستند، قابل تشخیص است. ایستگاه ۴۲۰ شمالی پروفیل ۴۵۰ شرقی به فاصله تقریبی ۵۰ متر از ترانشه شماره ۱۸ (BKSHT18) که بر روی این زون حفر شده، واقع است. به عنوان مثال رخنمون کانی سازی در طول پروفیل ۴۵۰ شرقی در فاصله ایستگاهی ۱۸۰ تا ۲۲۰ شمالی و حوالی ایستگاه ۴۲۰ شمالی دیده می شود. با توجه به مقاطع مقاومت ویژه و بارپذیری در نقشه ۳-۷-ج به نظر می رسد رخنمون های مزبور که به فاصله تقریبی ۲۲۰ متر از یکدیگر واقع شده اند، بی ارتباط با یکدیگر نیستند. همانطور که در این نقشه مشاهده می شود، بی هنجاری با مقاومت ویژه پایین به خوبی از بی هنجاری با بارپذیری بالا تبعیت می کند. این مسئله فرضیه کانی سازی صفحه ای را که عوامل تکتونیکی سبب چین خوردگی و رخنمون آن در دو ناحیه مختلف شده است را از قوت بیشتری برخوردار می سازد. از این رو تمامی ناحیه با بارپذیری بالا (طیف رنگی سبز تا قرمز) را می توان به عنوان نواحی با پتانسیل کانی سازی بالا در نظر گرفت.

با توجه به موارد ذکر شده فوق گمانه اکتشافی بنابر نقشه بارپذیری به شرح زیر پیشنهاد می گردد (زاویه حفاری نسبت به قائم می باشد):

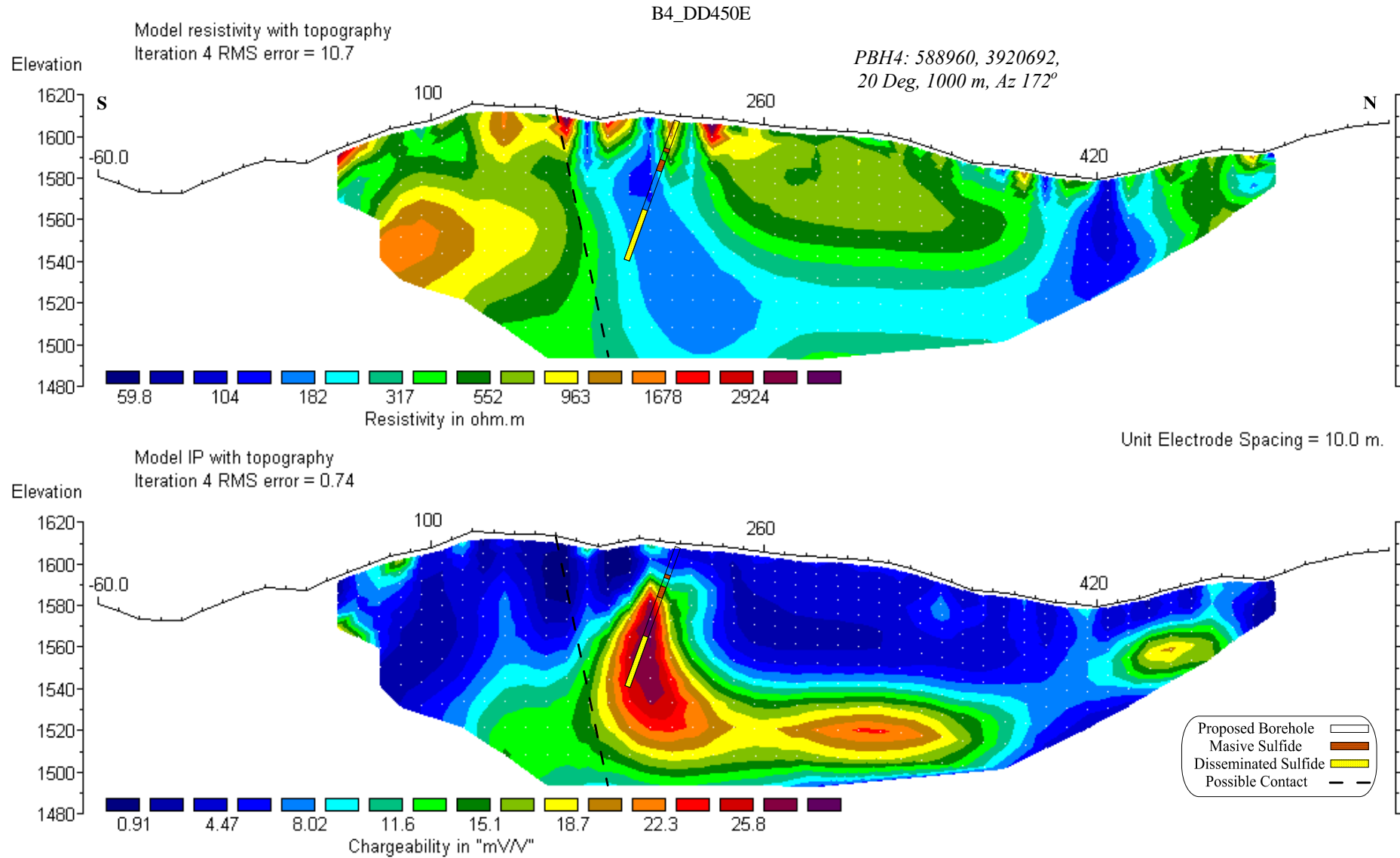
زاویه (درجه)	آزیمoot(درجه)	عمق حفاری	ایستگاه	Y(UTM)	X(UTM)	نام
۲۰	۱۷۲	۱۰۰ متر	۲۲۰ شمالی	۳۹۲۰۶۹۲	۵۸۸۹۶۰	PBH4



نقشه ۳-۷-الف: شبیه مقاطع و مقطع حاصل از مدل سازی داده های مقاومت ویژه برای پروفیل ۴۵۰ شرقی (B4-DD450E).



نقشه ۳-۷-ب: شبیه مقاطع و مقطع حاصل از مدل سازی داده های بارپذیری برای پروفیل ۴۵۰ شرقی (B4-DD450E).



نقشه ۳-۷-ج: مقاطع دو بعدی مقاومت ویژه و بارپذیری حاصل از مدل سازی وارون با اعمال تصحیح توپوگرافی برای پروفیل ۴۵۰ شرقی (B4-DD450E).

۳-۱-۶- بردسی مقطع B4-DD500E

به منظور بررسی عمقی و ردیابی بی هنجاری شماره ۲ در نقشه های ۲-۳ و ۳-۳، دو آرایش دوقطبی-

دوقطبی با فاصله ایستگاهی ۴۰ متر و با پرش ۲۰ متری ($AB=MN=40$; $Leap=20m$) بر روی پروفیل ۵۰۰

شرقی برداشت شد. موقعیت این پروفیل در نقشه های ۳-۱-۳ با واژه $DD500E$ مشخص شده است. مقاطع

مدل سازی شده IP & RS مربوطه با نرم افزار $Res2Dinv$ تهیه شده و در نقشه شماره ۳-۸ به نمایش درآمده

است. در نقشه های ۳-۸-الف و ۳-۸-ب شبه مقاطع و مقاطع دو بعدی مقاومت ویژه و بارپذیری حاصل از مدل

سازی وارون این پروفیل، نشان داده شده است. علاوه بر این، مقاطع دو بعدی مقاومت ویژه و بارپذیری حاصل از

مدل سازی وارون این پروفیل با اعمال تصحیح توپوگرافی در نقشه ۳-۸-ج آورده شده است. حداقل و حداکثر

مقدار عددی بارپذیری و مقاومت ویژه به ترتیب ۳ تا ۲۵ میلی ولت بر ولت و ۴۳ تا ۱۱۹۵ اهم متر می باشد.

در نقشه IP محدوده بی هنجاری با طیف رنگی سبز تا قرمز از دیگر نواحی تمایز شده است. در این نقشه

دو منطقه بی هنجار که با شماره های ۲ و ۳ مشخص شده، قابل تشخیص اند. نامگذاری این بی هنجاری ها با

توجه به نامگذاری بی هنجاری های متناظر آنها در نقشه های ۳-۲-۳ و ۳-۳ صورت گرفته است. همانطور که در

نقشه ۳-۸-ج دیده می شود، در این مقطع نیز همانند مقاطع قبلی مناطق بی هنجار نقشه IP با بارپذیری بالا از

انطباق خوبی با مناطق با مقاومت ویژه پایین برخوردار است. با این تفاوت که ناحیه با بارپذیری بالا (طیف رنگی

قرمز) که در فاصله ایستگاهی ۵۰ تا ۱۰۰ متری مقطع واقع است، دقیقاً

منطبق بر ناحیه با مقاومت ویژه پایین نمی باشد. سولفیدهای آهن و مس در صورت متراکم و ماسیو بودن از

مقاومت ویژه بسیار کمی برخوردارند. از طرفی با توجه به اینکه تمام حفاری های پیشنهاد شده بر روی مقاطع

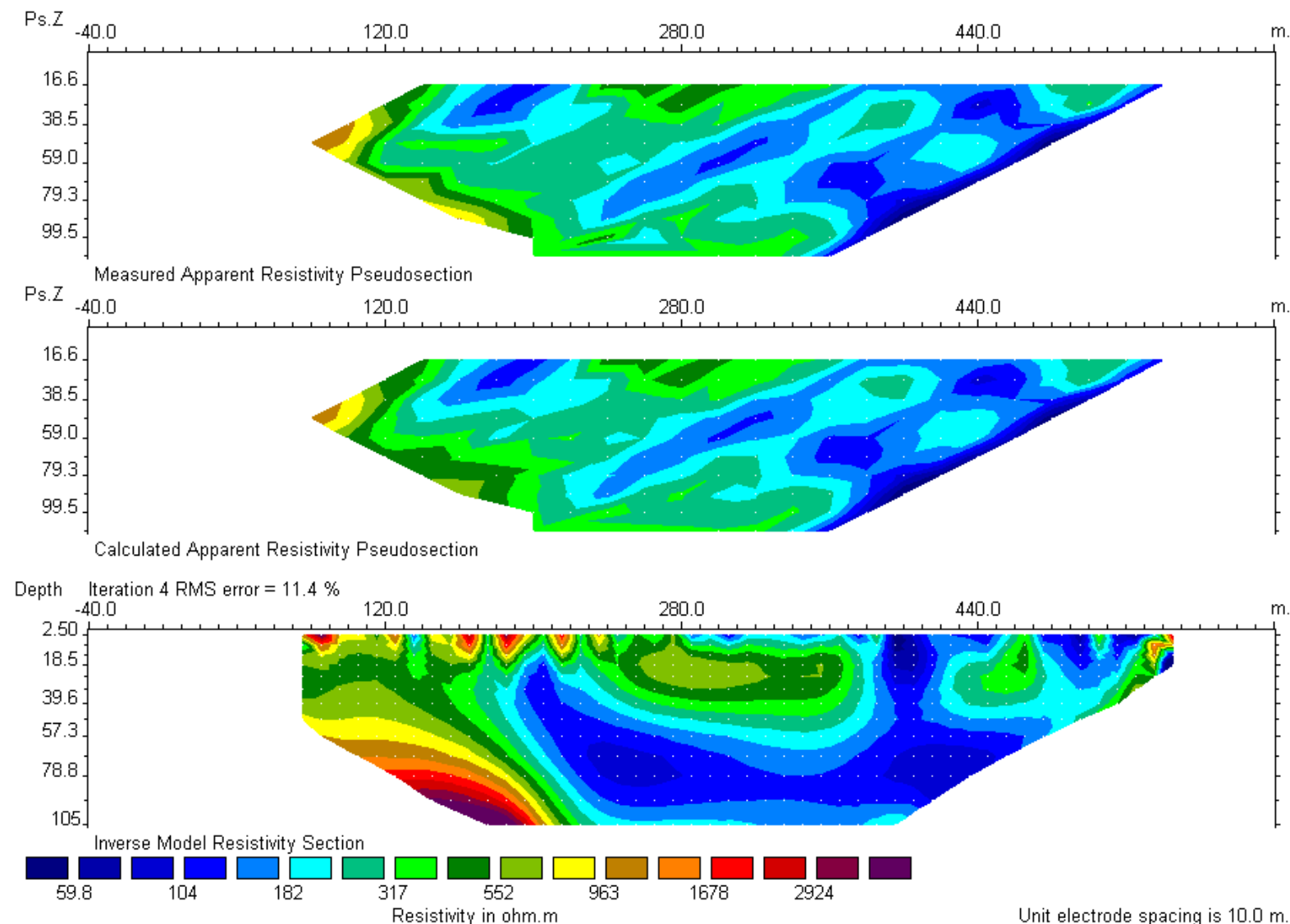
مورد بررسی در این ناحیه منطبق بر بی هنجاری نقشه بارپذیری بوده است، حفاری بر روی نواحی با مقاومت

ویژه پایین نیز می تواند اطلاعات مفیدی از نواحی کانی سازی در اختیار قرار دهد.

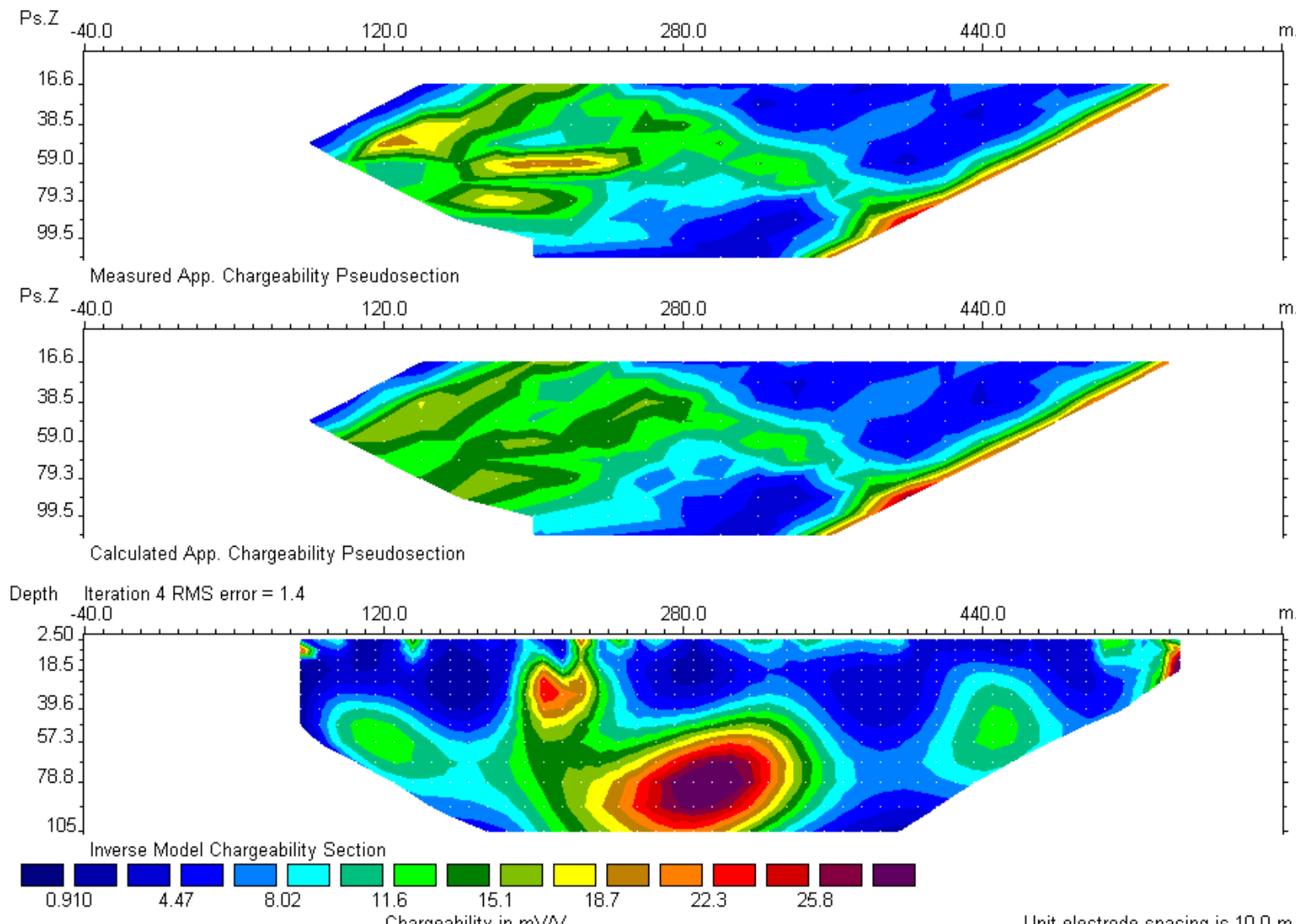
با توجه به موارد ذکر شده فوق گمانه اکتشافی بنابر نقشه مقاومت ویژه به شرح زیر پیشنهاد می گردد

(زاویه حفاری نسبت به قائم می باشد):

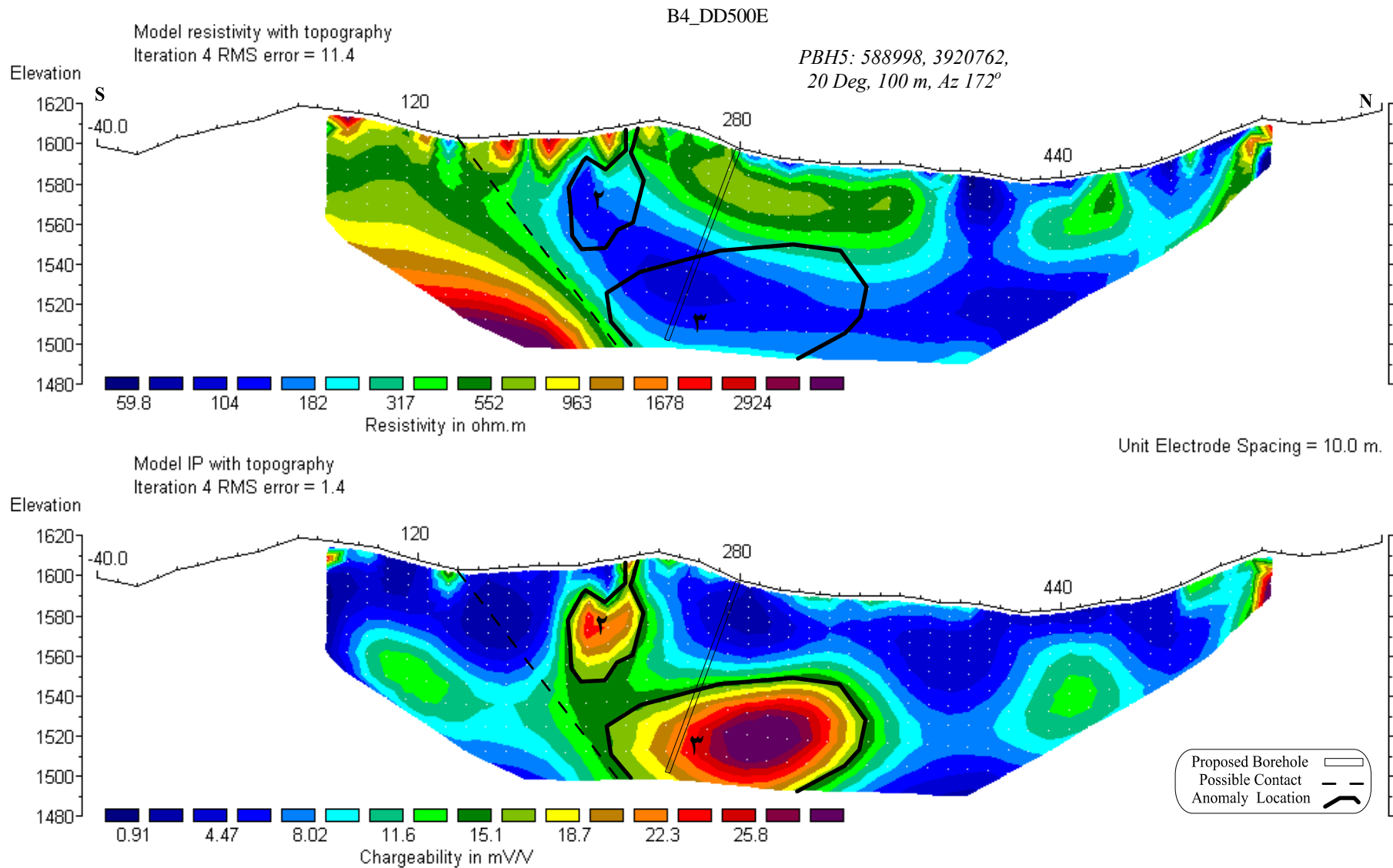
نام	X(UTM)	Y(UTM)	ایستگاه	عمق حفاری	آزیمoot(درجه)	زاویه (درجه)
PBH5	۵۸۸۹۹۸	۳۹۲۰۷۶۲	۲۸۰ شمالی	۱۰۰ متر	۱۷۲	۲۰



نقشه ۳-۸-الف: شبیه مقاطع و مقطع حاصل از مدل سازی داده های مقاومت ویژه برای پروفیل ۵۰۰ شرقی (B4-DD500E).



نقشه ۳-۸-ب: شبیه مقاطع و مقطع حاصل از مدل سازی داده های بارپذیری برای پروفیل ۵۰۰ شرقی (B4-DD500E).



نقشه ۳-۸-ج: مقاطع دو بعدی مقاومت ویژه و بارپذیری حاصل از مدل سازی وارون با اعمال تصحیح توپوگرافی برای پروفیل ۵۰۰ شرقی (B4-DD500E).

B4-DD600E - ۱-۷- بروزی مقاطع

به منظور بررسی عمقی و ردیابی بی هنجاری شماره ۳ در نقشه های ۲-۳ و ۳-۳، یک آرایش دوقطبی-

دو قطبی با فاصله ایستگاهی ۴۰ متر و با پرش ۲۰ متری ($AB=MN=40$; $Leap=20m$) بر روی پروفیل ۶۰۰

شرقی برداشت شد. موقعیت این پروفیل در نقشه های ۳-۱-۳ با واژه $DD600E$ مشخص شده است. مقاطع

مدل سازی شده IP & RS مربوطه با نرم افزار $Res2Dinv$ تهیه شده و در نقشه شماره ۳-۹ به نمایش درآمده

است. در نقشه های ۳-۹-الف و ۳-۹-ب شبیه مقاطع و مقاطع دو بعدی مقاومت ویژه و بارپذیری حاصل از مدل

سازی وارون این پروفیل، نشان داده شده است. علاوه بر این، مقاطع دو بعدی مقاومت ویژه و بارپذیری حاصل از

مدل سازی وارون این پروفیل با اعمال تصحیح توپوگرافی در نقشه ۳-۹-ج آورده شده است. حداقل و حداکثر

مقدار عددی بارپذیری و مقاومت ویژه به ترتیب ۱ تا ۱۵ میلی ولت بر ولت و ۷۵ تا ۶۸۰ اهم متر می باشد.

در نقشه IP محدوده بی هنجاری با طیف رنگی سبز تا قرمز از دیگر نواحی متمایز شده است. همانطور که

در نقشه ۳-۹-ج دیده می شود، در این مقاطع نیز همانند مقاطع قبلی مناطق بی هنجار نقشه IP با بارپذیری بالا از

انطباق خوبی با مناطق با مقاومت ویژه پایین برخوردار است. در این نقشه نواحی با بارپذیری بالا در دو ناحیه قابل

تشخیص می باشند. یک بی هنجاری کوچک در فاصله ایستگاهی ۱۸۰ تا ۲۴۰ شمالی در نزدیکی سطح زمین

واقع است. بی هنجاری دیگر که از بارپذیری بالاتری برخوردار می باشد، در فاصله ایستگاهی ۲۰۰ تا ۳۱۰

شمالی و از عمق تقریبی ۴۰ تا ۱۰۰ متری گسترش یافته است. دلیل این امر به خوبی با انطباق این نقشه با نقشه

۳-۲ به خوبی مشخص می گردد. همانطور که در نقشه ۳-۲ مشاهده می شود، پروفیل ۶۰۰ شرقی ($DD600E$)

بی هنجاری شماره ۳ را کاملاً قطع کرده و از حاشیه بی هنجاری شماره ۲ عبور می کند. در نقشه ۳-۲، ایستگاه

۲۳۰ شمالی بر روی پروفیل ۶۰۰ شرقی منطبق بر حاشیه بی هنجاری شماره ۲ می باشد. از این رو بی هنجاری

های مشاهده شده در نقشه ۳-۹-ج با شماره های ۲ و ۳ مشخص شده اند. به این ترتیب بی هنجاری شماره ۲ در

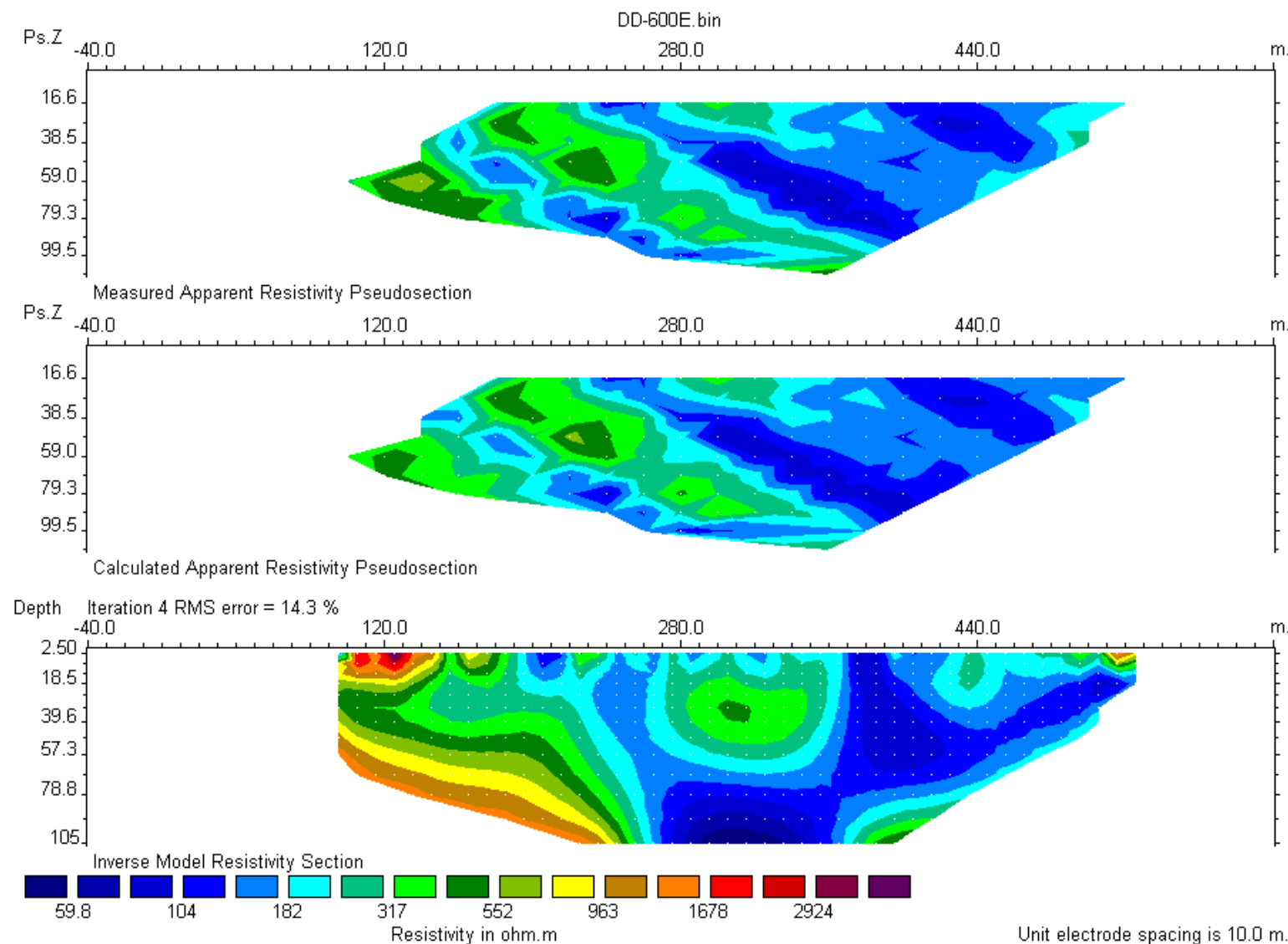
نقشه ۹-۳-ج می تواند اثر جانبی بی هنجاری شماره ۲ در نقشه ۲-۳ بوده و به صورت کاذب در این پروفیل مشاهده شود. تمامی گمانه های اکتشافی در این محدوده در خلاف جهت شیب عمومی ساختارها و از شمال به

جنوب در نظر گرفته شد. از این رو به منظور بررسی هر دو بی هنجاری و همچنین کنترل گمانه های اکتشافی دیگر با نظر زمین شناس منطقه (مهندس صفری) این گمانه در خلاف جهت حفاری های دیگر در نظر گرفته شد.

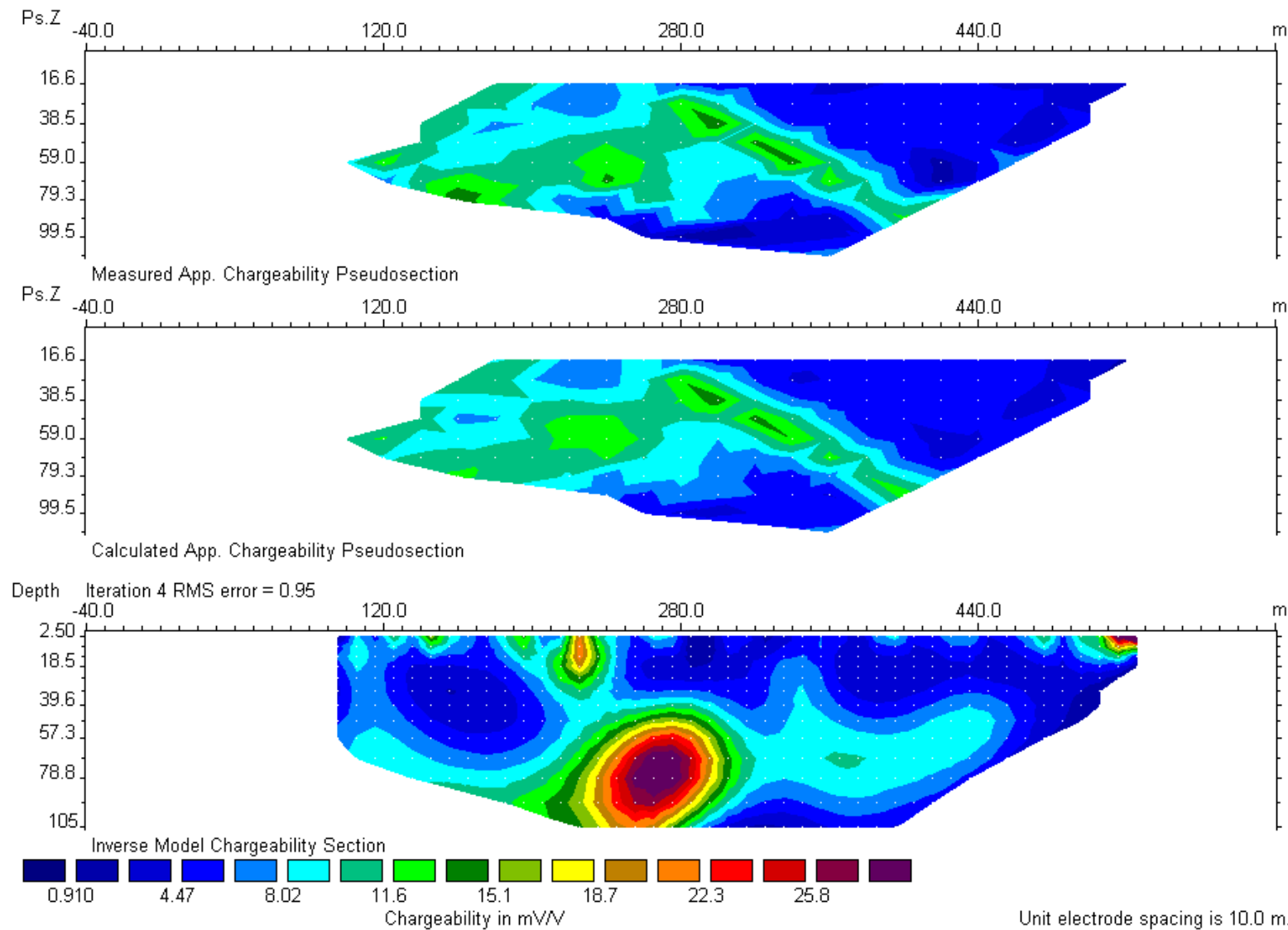
در نقشه مقاومت ویژه مرز بین نواحی با پتانسیل بالای کانی سازی (طیف رنگی آبی) و متاریولیت ها و متاتوف های اسیدی (طیف رنگی نارنجی تا قرمز) به صورت خط چین مشخص شده است. همانطور که مورد انتظار بوده است، نواحی با مقاومت ویژه پایین و بارپذیری بالا که می توانند نواحی با پتانسیل بالای کانی سازی را نشان دهند، در کنار این کن tact دیده می شوند. در تمامی مقاطع مورد بررسی در محدوده شماره ۴، مرز بین متاریولیت ها و متاتوف های اسیدی با نواحی کانی سازی با خط چین به نمایش در آمده است.

با توجه به موارد ذکر شده فوق گمانه اکتشافی بنابر نقشه بارپذیری به شرح زیر پیشنهاد می گردد (زاویه حفاری نسبت به قائم می باشد):

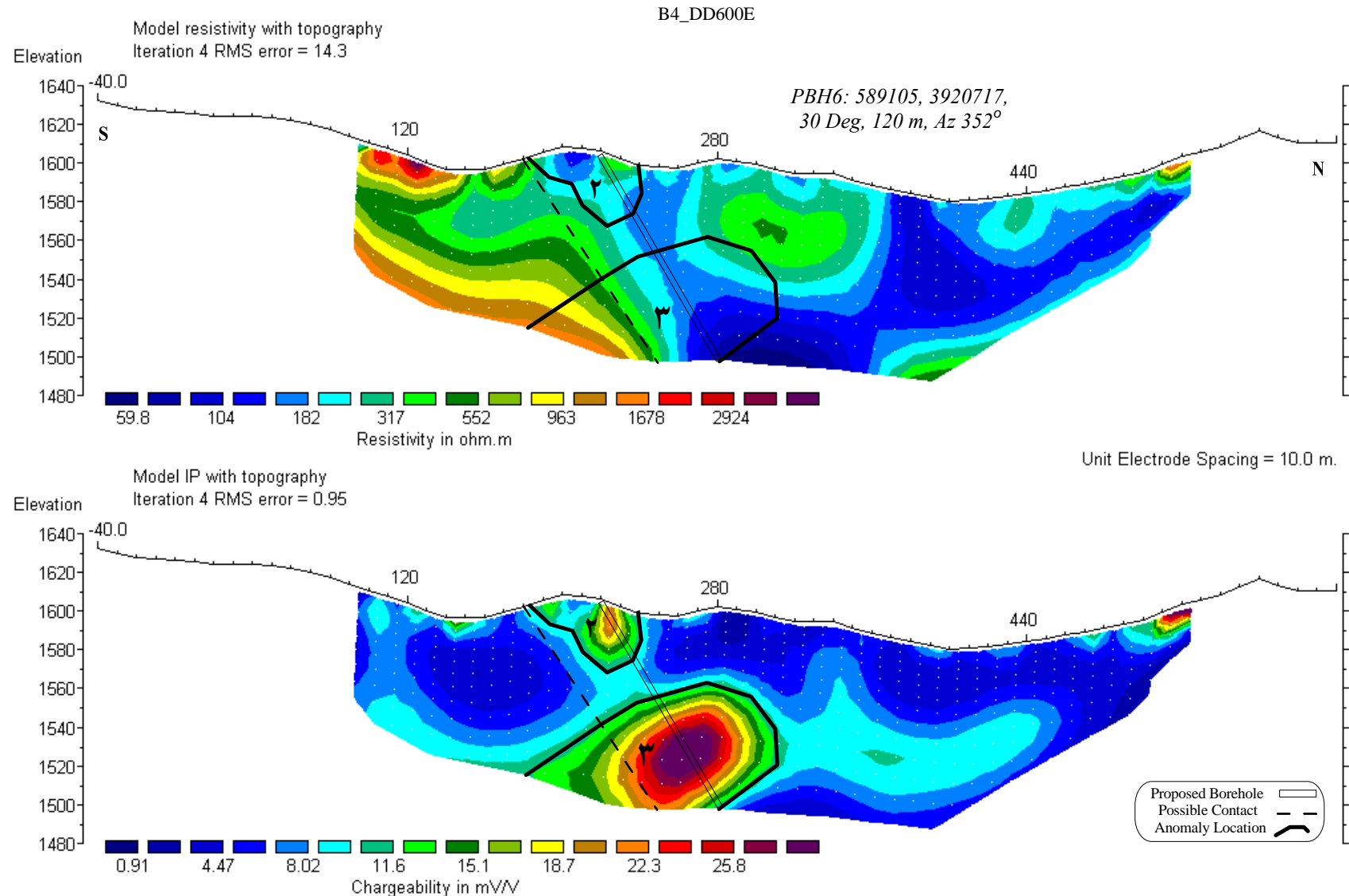
نام	X(UTM)	Y(UTM)	ایستگاه	عمق حفاری	آزیمoot(درجه)	زاویه (درجه)
PBH6	۵۸۹۱۰۵	۳۹۲۰۷۱۷	۲۲۰ شمالی	۱۲۰ متر	۳۵۲	۳۰



نقشه ۳-۹-الف: شبیه مقاطع و مقطع حاصل از مدل سازی داده های مقاومت ویژه برای پروفیل ۶۰۰ شرقی (B4-DD600E).



نقشه ۳-۹-ب: شبیه مقاطع و مقطع حاصل از مدل سازی داده های بارپذیری برای پروفیل ۶۰۰ شرقی (B4-DD600E).



نقشه ۳-۹-ج: مقاطع دو بعدی مقاومت ویژه و بارپذیری حاصل از مدل سازی وارون با اعمال تصحیح توپوگرافی برای پروفیل ۶۰° شرقی (B4-DD600E).

B4-DD700W - ۱-۸- بروزی مقاطع

به منظور بررسی عمقی و ردیابی بی هنجاری شماره ۳ در نقشه های ۲-۳ و ۳-۳، یک آرایش دوقطبی-

دو قطبی با فاصله ایستگاهی ۴۰ متر و با پرش ۲۰ متری ($AB=MN=40$; $Leap=20m$) بر روی پروفیل ۷۰۰

شرقی برداشت شد. موقعیت این پروفیل در نقشه های ۳-۱-۳-۳ با واژه *DD700E* مشخص شده است. مقاطع

مدل سازی شده *IP & RS* مربوطه با نرم افزار *Res2Dinv* تهیه شده و در نقشه شماره ۳-۱۰-۳ به نمایش درآمده

است. در نقشه های ۱۰-۳-الف و ۱۰-۳-ب شبه مقاطع و مقاطع دو بعدی مقاومت ویژه و بارپذیری حاصل از

مدل سازی وارون این پروفیل، نشان داده شده است. علاوه بر این، مقاطع دو بعدی مقاومت ویژه و بارپذیری

حاصل از مدل سازی وارون این پروفیل با اعمال تصحیح توپوگرافی در نقشه ۳-۱۰-۳-ج آورده شده است. حداقل

و حداقل مقدار عددی بارپذیری و مقاومت ویژه به ترتیب ۲ تا ۱۸ میلی ولت بر ولت و ۴۲ تا ۱۰۱۹ اهم متر

می باشد.

در نقشه *IP* محدوده بی هنجاری با طیف رنگی سبز تا قرمز از دیگر نواحی متمایز شده است. همانطور که

در نقشه ۳-۱۰-۳-ج دیده می شود، در این مقاطع نیز مناطق بی هنجار نقشه *IP* با بارپذیری بالا منطبق بر نواحی با

مقاومت ویژه پایین (پایین تر از ۱۸۰ اهم متر) می باشد. البته با توجه به حضور قابل توجه کانی سازی سولفیدی

در این منطقه، چنین مسئله ای مورد انتظار بوده است. بی هنجاری با بارپذیری بالا که در فاصله ایستگاهی ۲۱۰ تا

۳۰۰ شمالی و از سطح زمین تا عمق تقریبی ۱۰۰ متری با شیب تقریبی ۳۵ درجه به سمت شمال گسترش یافته،

مربوط به بی هنجاری شماره ۳ در نقشه ۳-۲ می باشد. علاوه بر این مرز بین متألفه های اسیدی و متاریولیت ها

(با مقاومت ویژه بالا) با شیسته های سبز تکنار (با مقاومت ویژه پایین) به خوبی قابل تشخیص است. همانطور که

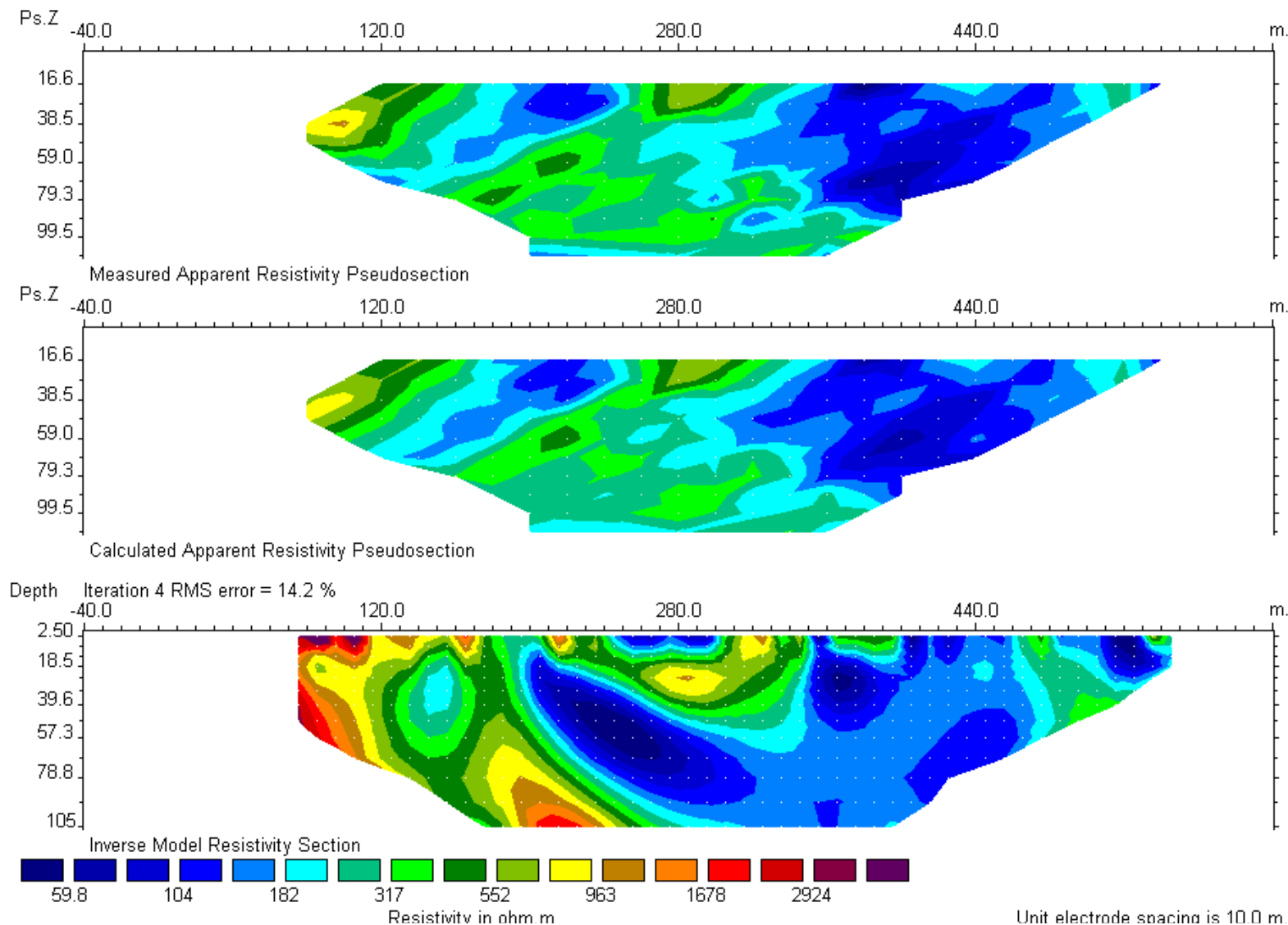
در بررسی پروفیل های قبلی ذکر شد، عمدۀ کانی سازی این منطقه در مرز بین واحدهای مذکور صورت گرفته

است. این مسئله به خوبی در نقشه ۳-۱۰-۳-ج قابل تشخیص است.

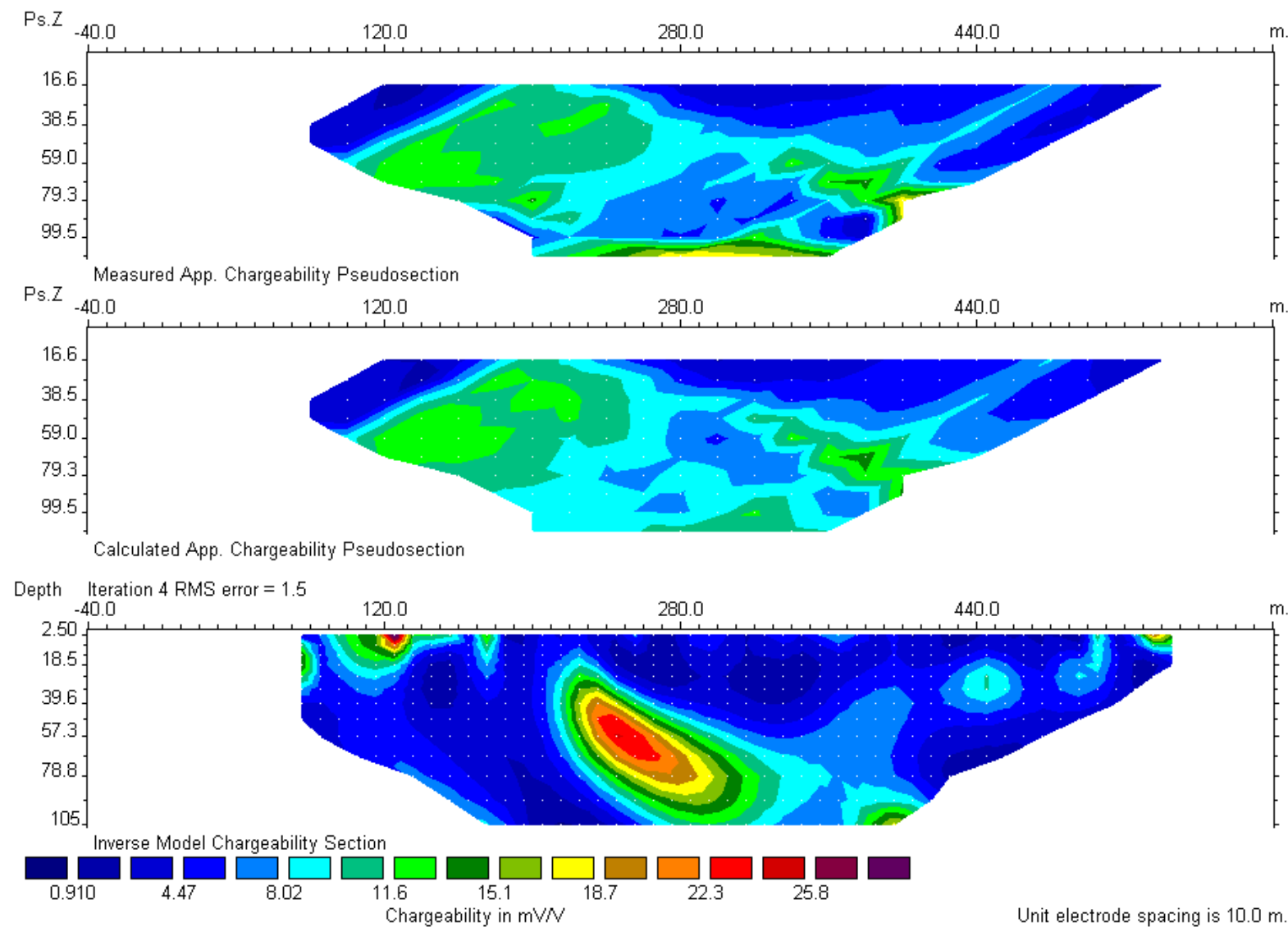
با توجه به موارد ذکر شده فوق گمانه اکتشافی بنابر نقشه بارپذیری به شرح زیر پیشنهاد می گردد

(زاویه حفاری نسبت به قائم می باشد):

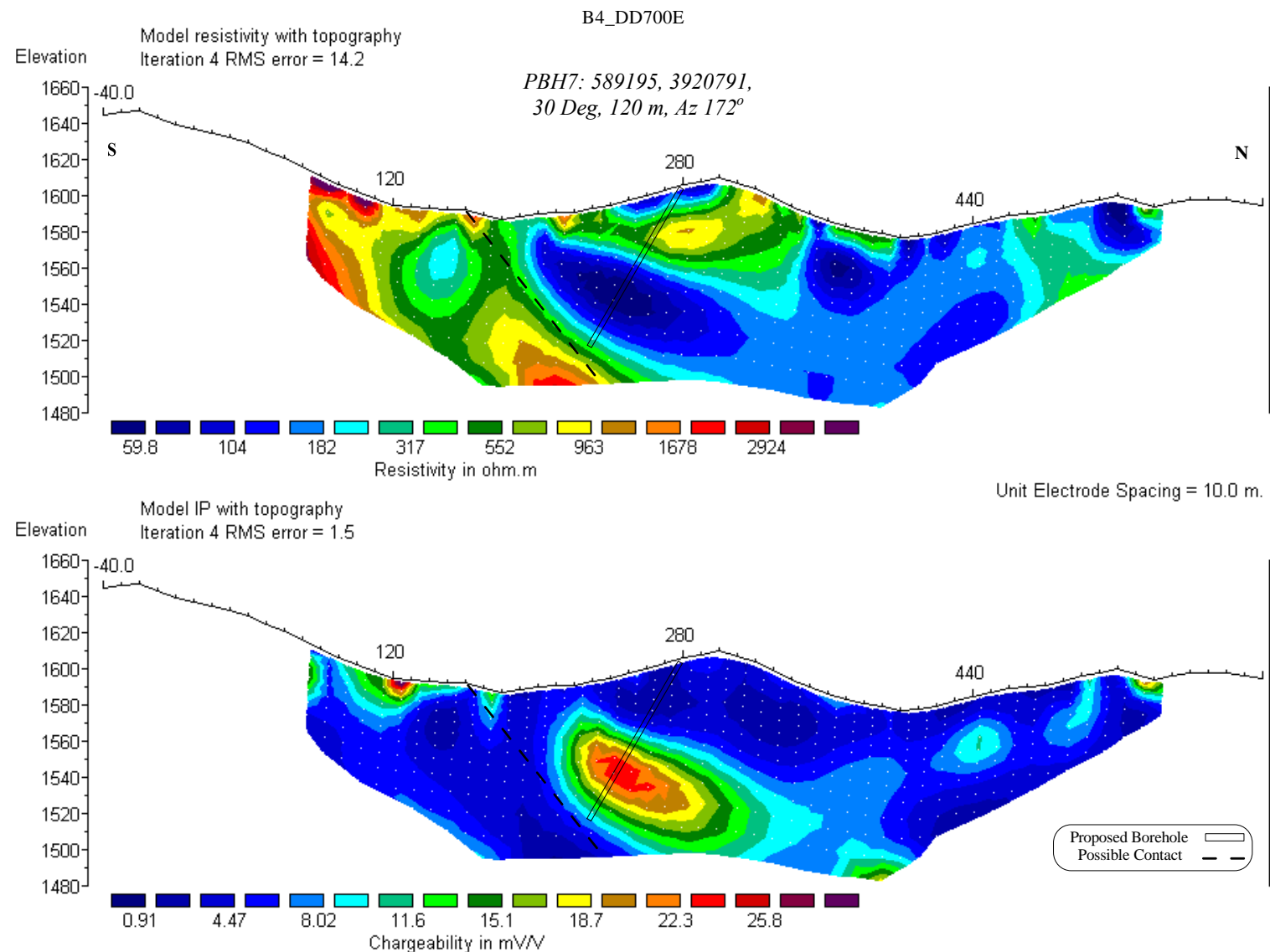
نام	$X(UTM)$	$Y(UTM)$	ایستگاه	عمق حفاری	آزیمومت(درجه)	زاویه (درجه)
PBH7	۵۸۹۱۹۵	۳۹۲۰۷۹۱	۲۸۰ شمالی	۱۲۰ متر	۱۷۲	۳۰



نقشه ۳-۱۰-الف: شبیه مقاطع و مقطع حاصل از مدل سازی داده های مقاومت ویژه برای پروفیل ۷۰۰ شرقی (B4-DD700E).



نقشه ۳-۱۰-ب: شبیه مقاطع و مقطع حاصل از مدل سازی داده های بارپذیری برای پروفیل ۷۰۰ شرقی (B4-DD700E).



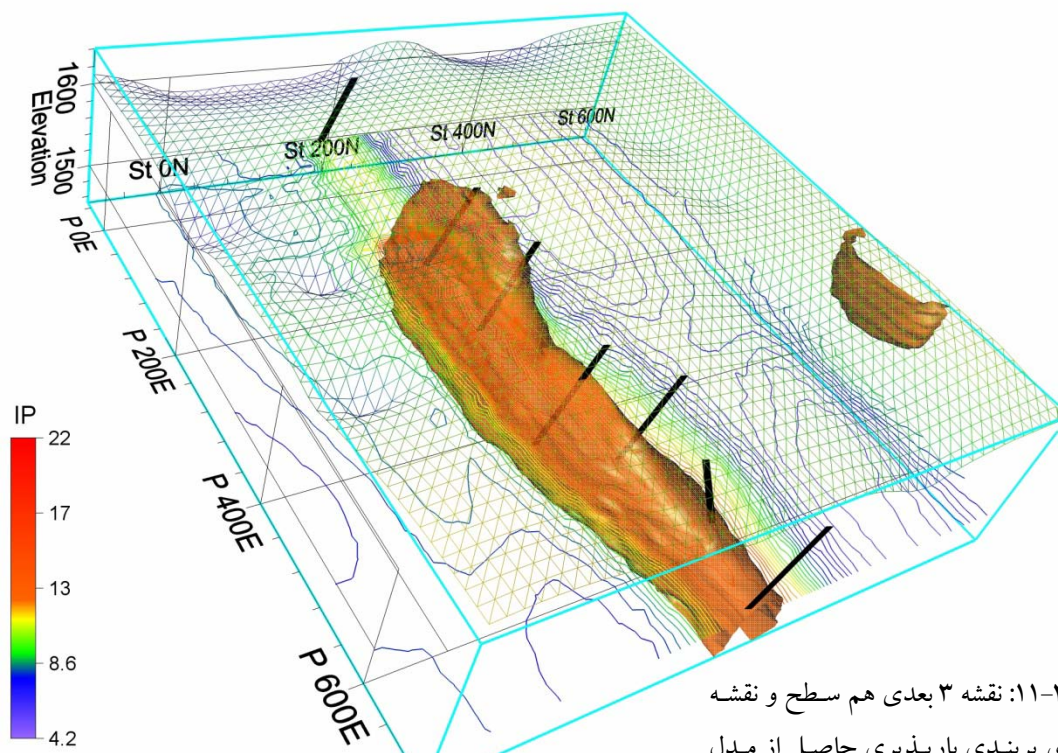
نقشه ۳-۱۰-ج: مقاطع دو بعدی مقاومت ویژه و بارپذیری حاصل از مدل سازی وارون با اعمال تصحیح توپوگرافی برای پروفیل ۷۰۰ شرقی (B4-DD700E).

۳-۱-۹- بودسی ۳ بعدی نتایج در محدوده شماره ۴

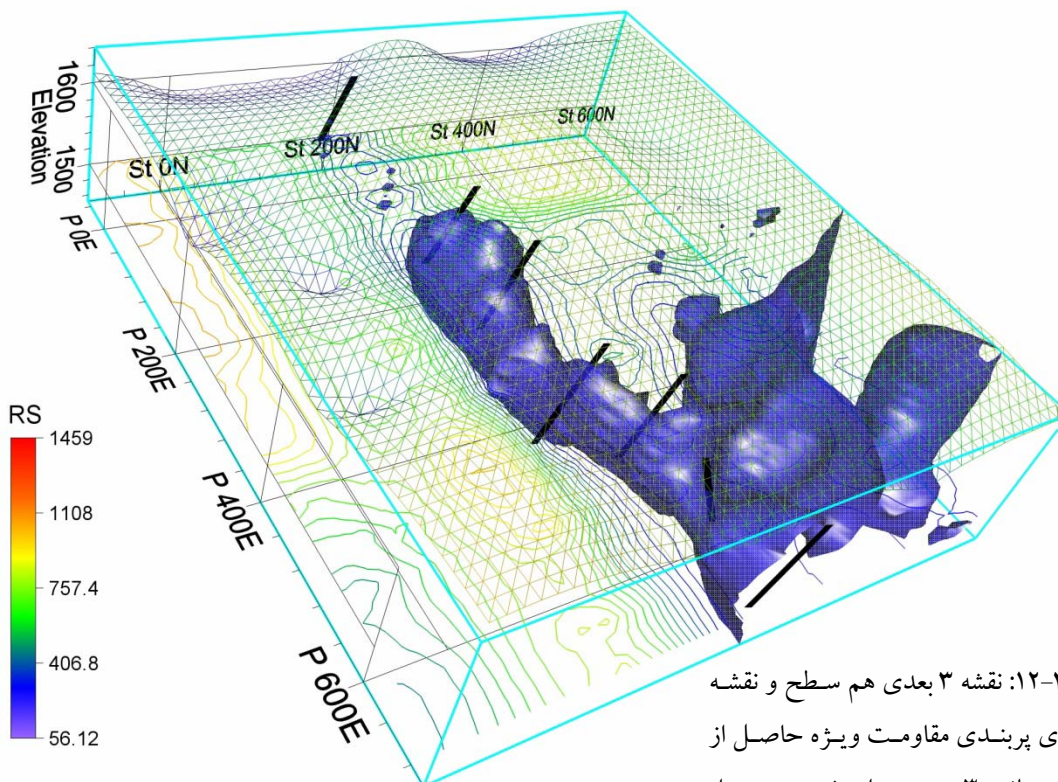
پروفیل های دوقطبی- دوقطبی برداشت شده در این محدوده در برخی مناطق به ۲۵۰ متر نیز رسیده است.

ولی با توجه به اینکه زون کانی سازی دارای امتداد مشخصی است، می توان داده های مقاومت ویژه و بارپذیری اندازه گیری شده را به صورت ۳ بعدی مدل سازی نمود. هرچند که تمام پروفیل های برداشت شده جداگانه مورد بررسی قرار گرفت ولی مدل سازی و نمایش ۳ بعدی داده ها به منظور دستیابی به یک دید کلی از نواحی بی هنجار بسیار مفید است. از این رو کل داده های *IP & RS* برداشت شده توسط نرم افزار *Res3Dinv* مدل سازی شده و با استفاده از نرم افزار *Voxler* به نمایش درآمده است.

محدوده بی هنجار بارپذیری به صورت نقشه هم سطح به ازاء بارپذیری ۱۳ میلی ولت بر ولت و نقشه مقاومت ویژه به ازاء مقاومت ویژه ۲۳۰ اهم متر به نمایش درآمده است. علاوه بر این نقشه پربندی ۲ بعدی مقاومت ویژه و بارپذیری در ارتفاع تقریبی ۱۵۰۰ متری از سطح دریا برای داده های مقاومت ویژه و بارپذیری به نمایش درآمده است. موقعیت حفاری های پیشنهادی بر روی پروفیل های دوقطبی- دوقطبی برداشت شده نیز در این نقشه ها با خطوط سیاه رنگ به نمایش درآمده است.



نقشه ۱۱-۳: نقشه ۳ بعدی هم سطح و نقشه ۲ بعدی پریندی بارپذیری حاصل از مدل سازی ۳ بعدی وارون به همراه توپوگرافی آن برای محدوده شماره ۴ (B4).



نقشه ۱۲-۳: نقشه ۳ بعدی هم سطح و نقشه ۲ بعدی پریندی مقاومت ویژه حاصل از مدل سازی ۳ بعدی وارون به همراه توپوگرافی آن برای محدوده شماره ۴ (B4).

۳-۲- بررسی نتایج در محدوده شماره ۷ (B7)

منطقه دامن قر در این گزارش با عنوان محدوده شماره ۷ نام گذاری شده است. از نظر موقعیت جغرافیایی این منطقه در شمال کلاته شجاع و در منطقه‌ای معروف به منطقه خاک‌های زرد قرار گرفته است. ناحیه مرکزی این محدوده در فاز دوم عملیات ژئوفیزیک توسط یک آرایش دوقطبی- دوقطبی مورد پیمایش قرار گرفت. در این بررسی (فاز سوم عملیات) با استفاده از یک آرایش مستطیلی با مشخصات $m=800$ و فواصل پروفیلی ۵۰ متر و $MN=20$ و ۳ آرایش دوقطبی- دوقطبی مورد پیمایش قرار گرفته و پارامترهای بارپذیری ظاهری و مقاومت ویژه ظاهری اندازه گیری شد. در نقشه‌های ۱۳-۳ و ۱۴-۳ موقعیت ایستگاه‌های برداشت و پروفیل‌های دوقطبی- دوقطبی نسبت به یکدیگر و همچنین موقعیت ترانشه‌ها (مثلث BKDT-2) و نقاط حفاری پیشنهادی (مثلث PBH9) آورده شده است. در ادامه مقادیر اندازه گیری شده در نقشه‌های مقاومت ویژه و بارپذیری به صورت جداگانه مورد بررسی قرار خواهند گرفت.

۳-۲-۱- بررسی نتایج آرایش مستطیلی

نتایج آرایش مستطیلی در این محدوده به صورت نقشه‌های بارپذیری و مقاومت ویژه ظاهری به ترتیب در نقشه‌های ۱۳-۳ و ۱۴-۳ آورده شده است. همانطور که در نقشه بارپذیری ظاهری (نقشه ۱۳-۳) دیده می‌شود، نواحی با بارپذیری بالاتر با طیف رنگی قرمز تا بنفش از دیگر نواحی متمایز شده‌اند. در این محدوده حداقل مقدار عددی بارپذیری ۱ و حداقل مقدار عددی آن ۲۵ می‌باشد. همانطور که در نقشه ۱۳-۳ دیده می‌شود، نواحی بی هنجار با بارپذیری بالا در شمال غرب محدوده مورد مطالعه دیده می‌شوند. این محدوده که در نقشه‌های مقاومت ویژه و بارپذیری به عنوان بی هنجاری شماره ۱ مشخص شده است، منطبق بر نواحی بی هنجار با مقاومت ویژه پایین (طیف رنگی آبی) می‌باشد. با توجه به نوع کانی سازی در این منطقه، این ناحیه را می-

توان از پتانسیل بالایی برای کانی سازی برخوردار دانست. در این ناحیه و در سطح زمین برشی شدن سنگ ها به

چشم می خورد که این مسئله می تواند دلیلی بر حضور کانی سازی در این منطقه باشد. حضور شیستهایی که

کانی سازی ضعیفی را متحمل شده اند نیز مسئله ایست که نباید نادیده گرفته شود. از آنجا که شیستهای به دلیل

حضور کانی های رسی از بارپذیری بالایی برخوردارند، حتی با دربرداشتن کانی سازی ضعیف می تواند

بارپذیری بالایی را سبب شوند. این مسئله باستی به خوبی با اطلاعات زمین شناسی تلفیق گردد تا ریسک

حفاری کاهش یابد. از طرفی شواهد کانی سازی در امتداد ترانشه های حفاری و در امتداد ایستگاه ۱۱۰ شمالی

در سطح زمین قابل تشخیص است. در حوالی ترانشه های شماره ۲ و ۳، یک بی هنجاری با بارپذیری متوسط تا

بالا (طیف رنگی قرمز) مشاهده می شود. این بی هنجاری که با شماره ۲ در نقشه های بارپذیری و مقاومت ویژه

مشخص شده است، عمدتاً منطبق بر نواحی با مقاومت ویژه پایین تا متوسط (طیف رنگی آبی تا سبز) می باشد.

همانطور که ذکر شد، نقشه مقاومت ویژه ظاهری این محدوده در نقشه ۱۴-۳ به نمایش در آمده است.

محدوده تغییرات عددی مقاومت ویژه ظاهری مابین ۹۹ تا ۵۵۳ می باشد. همانطور که در نقشه مقاومت ویژه

ظاهری این محدوده (نقشه ۱۴-۳) دیده می شود، نواحی با مقاومت ویژه بالا (طیف رنگی قرمز تا بنفش) به طور

عمده در جنوب و شرق این نقشه دیده می شوند. این نواحی منطبق بر متاتوفهای ریولیتی و برش های سیلیسی -

فلدسباتی می باشند. با توجه به نوع کانی سازی در منطقه و همچنین حضور سولفیدی های آهن و مس در

محدوده مورد مطالعه، نواحی مشخص شده در نقشه های ۱۳-۳ و ۱۴-۳ را می توان از پتانسیل بالایی برای کانی

سازی برخوردار دانست. همانطور که در این دو نقشه دیده می شود، نواحی بی هنجار با بارپذیری بالا که با خط

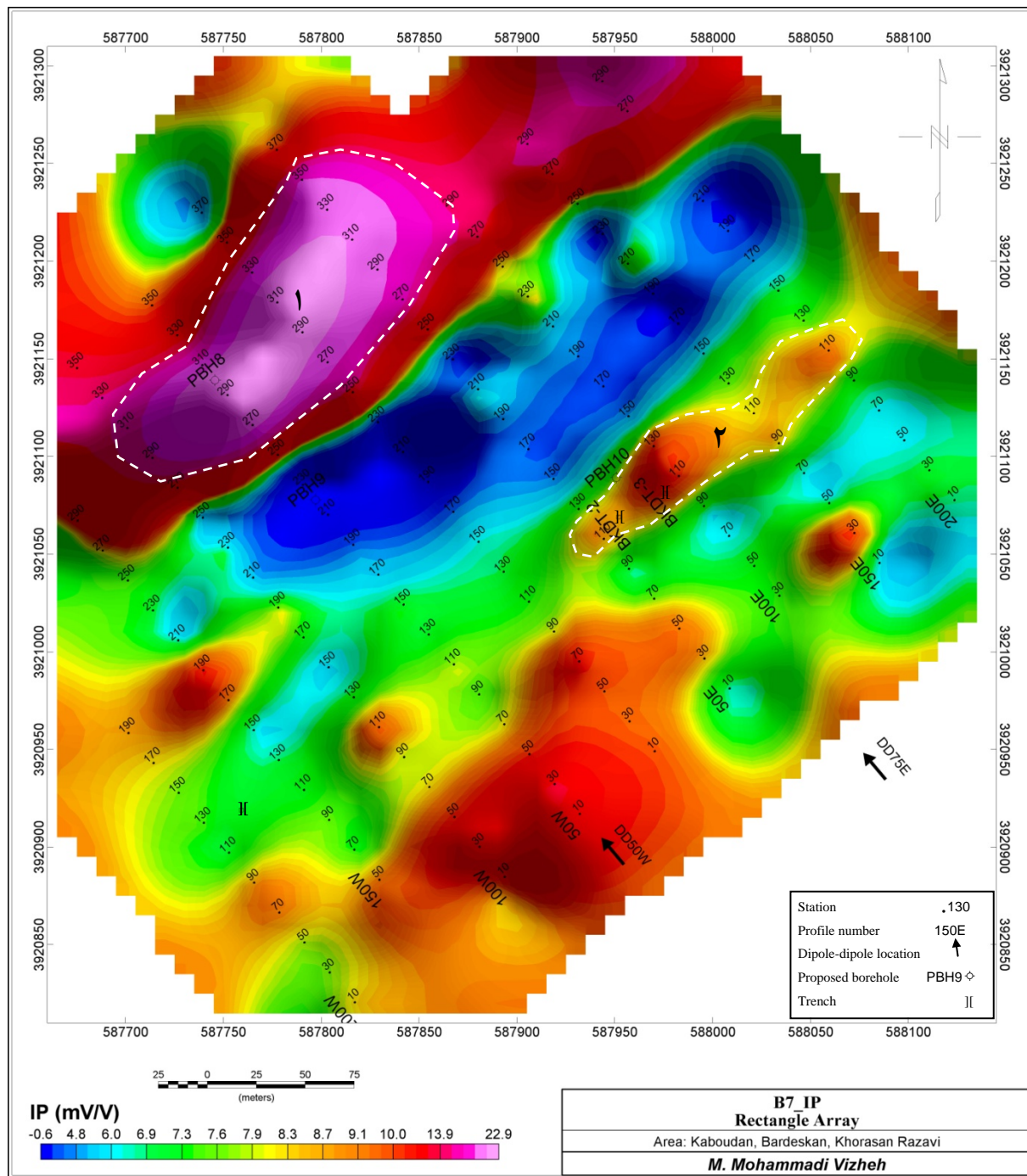
چین مشخص و نامگذاری شده اند، عمدتاً منطبق بر نواحی با مقاومت ویژه پایین تا متوسط (طیف رنگی آبی

تیره تا سبز) می باشند. از این رو برای بررسی های عمیقی و پیشنهاد نقاط حفاری بر روی بی هنجاری های

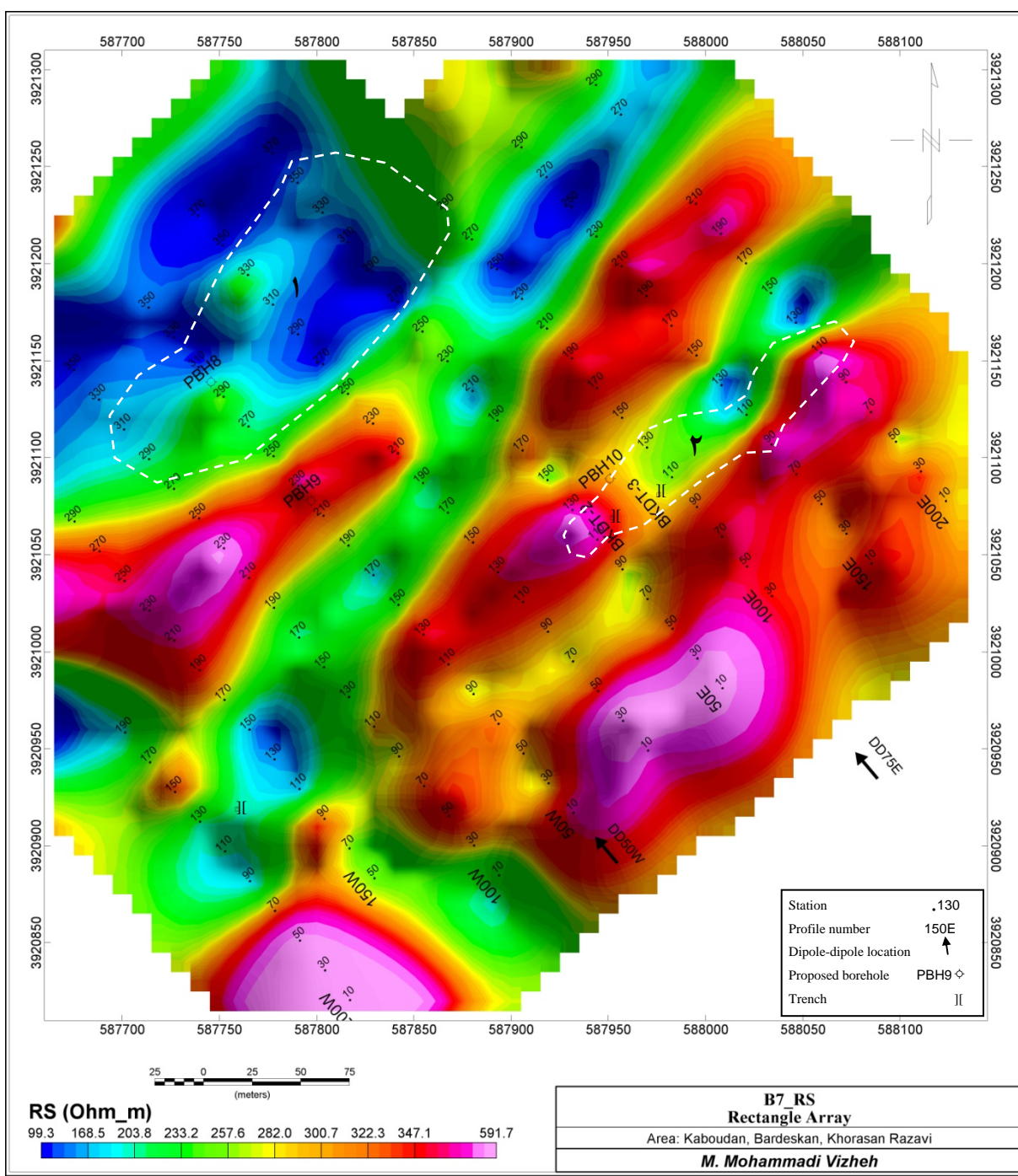
مشخص شده، ۳ آرایش دوقطبی- دوقطبی با مشخصات زیر بر روی ۵۰ پروفیل و ۷۵ شرقی برداشت شد.

در ادامه به بررسی نتایج این پروفیل ها پرداخته می شود.

شماره نقشه	MN	پوش	AB	پوش	فاصله الکتروودی	محدوده برداشت	نام پروفیل	شماره	
۱۵-۳		۲۰ متر		۲۰ متر	۴۰ و ۲۰ متر	120N	520N	DD50W	۱
۱۶-۳		۲۰ متر		۲۰ متر	۲۰ متر	00	320N	DD75E	۲



نقشه ۱۳-۳: نقشه بارپذیری ظاهری بر روی آرایش مستطیلی محدوده شماره ۷



نقشه ۳-۱۴: نقشه مقاومت ویژه ظاهری بر روی آرایش مستطیلی محدوده شماره ۷

۳-۲-۲- بورسی مقطع B7-DD50W

به منظور بررسی عمقی و ردیابی بی هنجاری شماره ۱ در نقشه های ۱۴-۳ و ۱۳-۳، دو آرایش دوقطبی- دوقطبی با فاصله ایستگاهی ۲۰ و ۴۰ متر و با پرش ۲۰ متری ($AB=MN=20, 40; Leap=20m$) بر روی پروفیل ۵ غربی برداشت شد. موقعیت این پروفیل در نقشه های ۱۴-۳ و ۱۳-۳ با واژه $DD50W$ مشخص شده است.

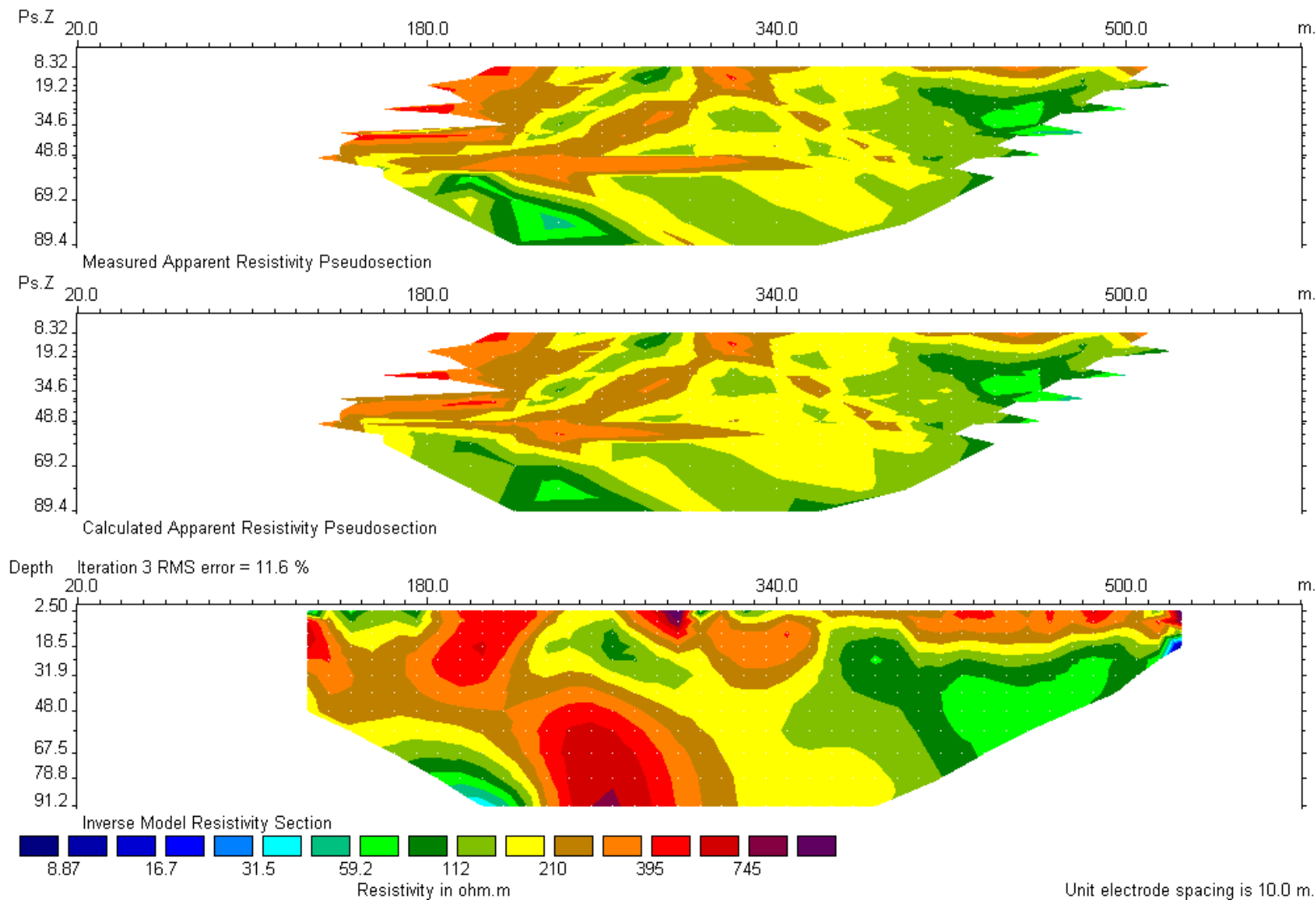
مقاطع مدل سازی شده IP & RS مربوطه با نرم افزار $Res2Dinv$ تهیه شده و در نقشه شماره ۱۵-۳ به نمایش درآمده است. در نقشه های ۱۵-۳-الف و ۱۵-۳-ب شبه مقاطع و مقاطع دو بعدی مقاومت ویژه و بارپذیری حاصل از مدل سازی وارون این پروفیل، نشان داده شده است. علاوه بر این مقاطع دو بعدی مقاومت ویژه و بارپذیری حاصل از مدل سازی وارون این پروفیل با اعمال تصحیح توپوگرافی در نقشه ۱۵-۳-ج آورده شده است. حداقل و حداقل مقدار عددی بارپذیری و مقاومت ویژه به ترتیب $1/3$ تا $36/8$ میلی ولت بر ولت و 48 تا 569 اهم متر می باشد.

در نقشه IP محدوده بی هنجاری با طیف رنگی سبز تا قرمز از دیگر نواحی متمایز شده است. همانطور که در مقطع ۱۵-۳-ج دیده می شود، بی هنجاری شماره ۱ که مربوط به بی هنجاری شماره ۱ در نقشه آرایش مستطیلی است، از بارپذیری بالایی برخوردار می باشد. این بی هنجاری منطبق بر نواحی با مقاومت ویژه پایین می باشد. در این مقطع نیز بی هنجاری با بارپذیری بالا منطبق بر بی هنجاری با مقاومت ویژه پایین می باشد. روبرو با توجه به حضور کانی سازی سولفیدی در این منطقه، می توان این ناحیه را از پتانسیل بالایی برای کانی سازی برخوردار دانست. در طول این پروفیل و در فاصله ایستگاه های ۲۴۰ تا ۲۸۰ شمالی شیست های سبزی که کانی سازی ضعیفی را متحمل شده اند در سطح زمین مشاهده می شوند. همانطور که ذکر شد، سنگ های شیستی به دلیل حضور کانی های رسی به طور طبیعی از بارپذیری بالایی برخوردارند. در صورتی که این سنگ ها شامل کانی سازی ضعیف سولفیدی نیز باشند، از بارپذیری بالاتری برخوردار خواهند بود. نظیر چنین

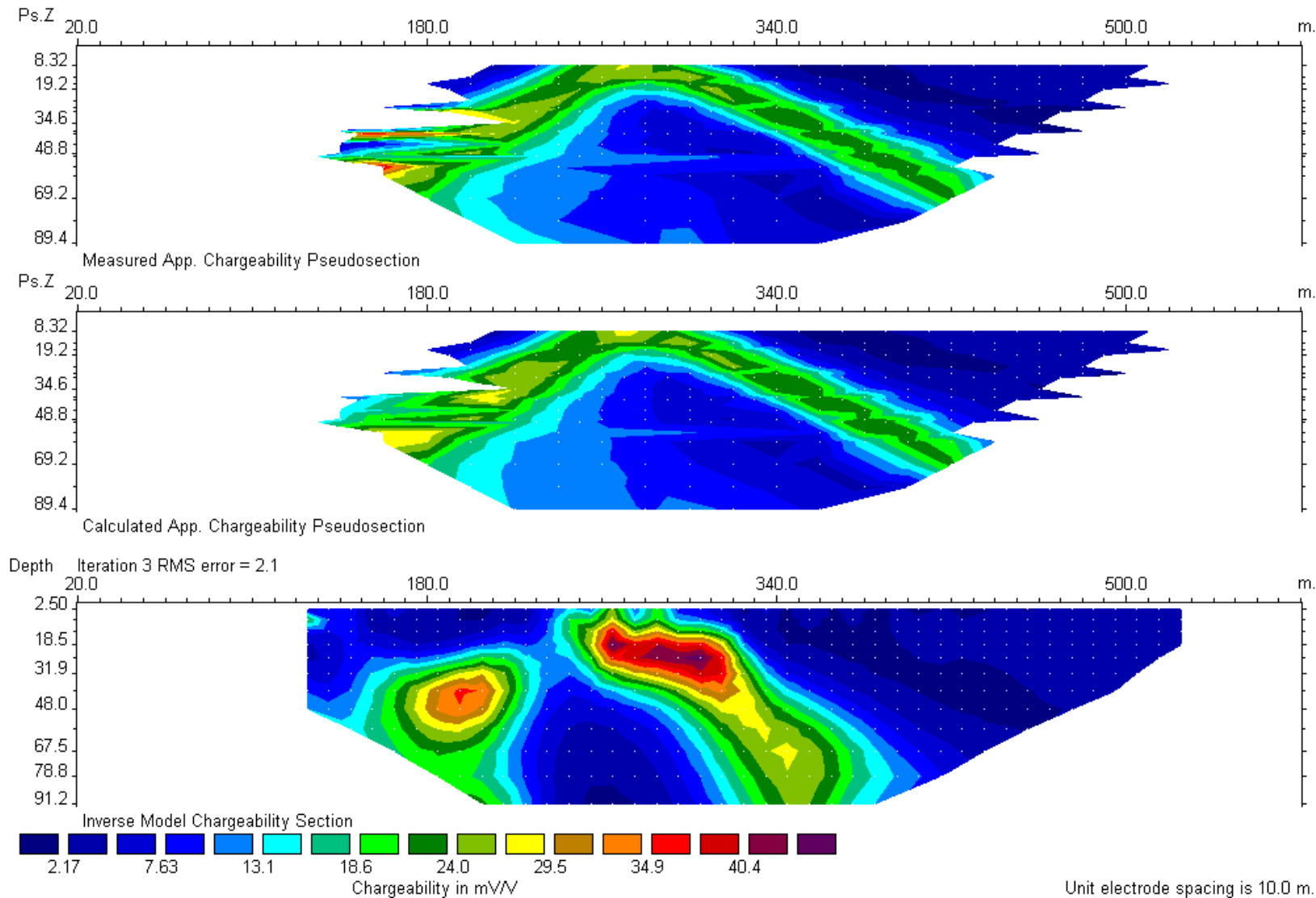
مشاهداتی در بررسی منطقه شماره ۶ (مرحله دوم عملیات ژئوفیزیک) نیز دیده شد. در برداشت های بارپذیری اثر حاصل از بارپذیری غشایی (ناشی از حضور کانی های رسی در ساختار شیست ها) و بارپذیری فلزی (ناشی از کانی سازی سولفیدی) قابل تفکیک نیست. بدین منظور با استی اطلاعات زمین شناسی به خوبی لحاظ گردد تا ریسک پذیری حفاری ها در اینگونه نواحی کاهش یابد. در نقشه بارپذیری یک بی هنجاری با بارپذیری پایین تراز بی هنجاری شماره ۱ در فاصله ایستگاهی ۱۶۰ تا ۲۲۰ شمالی و در عمق تقریبی ۴۰ متری قابل تشخیص است. این بی هنجاری منطبق بر نواحی با مقاومت ویژه پایین تا متوسط (طیف رنگی فیروزه ای تا نارنجی) در نقشه مقاومت ویژه می باشد. با توجه به شبیه عمومی ساختارهای زمین شناسی در این محدوده، این بی هنجاری را می توان مرتبط با آلتراسیون های سطحی که در فاصله ایستگاه های ۱۱۰ تا ۱۲۰ شمالی و در سطح زمین دیده می شوند، دانست.

با توجه به موارد ذکر شده فوق گمانه اکتشافی بنابر نقشه بارپذیری به ترتیب اولویت به شرح زیر پیشنهاد می گردد (زاویه حفاری نسبت به قائم می باشد):

نام	X(UTM)	Y(UTM)	ایستگاه	عمق حفاری	آزمیش (درجه)	زاویه (درجه)
PBH8	۵۸۷۷۷۰	۳۹۲۱۱۶۲	۳۰۰ شمالی	۵۰ متر	۱۴۴	۱۵
PBH9	۵۸۷۷۹۸	۳۹۲۱۰۷۴	۲۲۰ شمالی	۷۰ متر	۱۴۰	۳۰



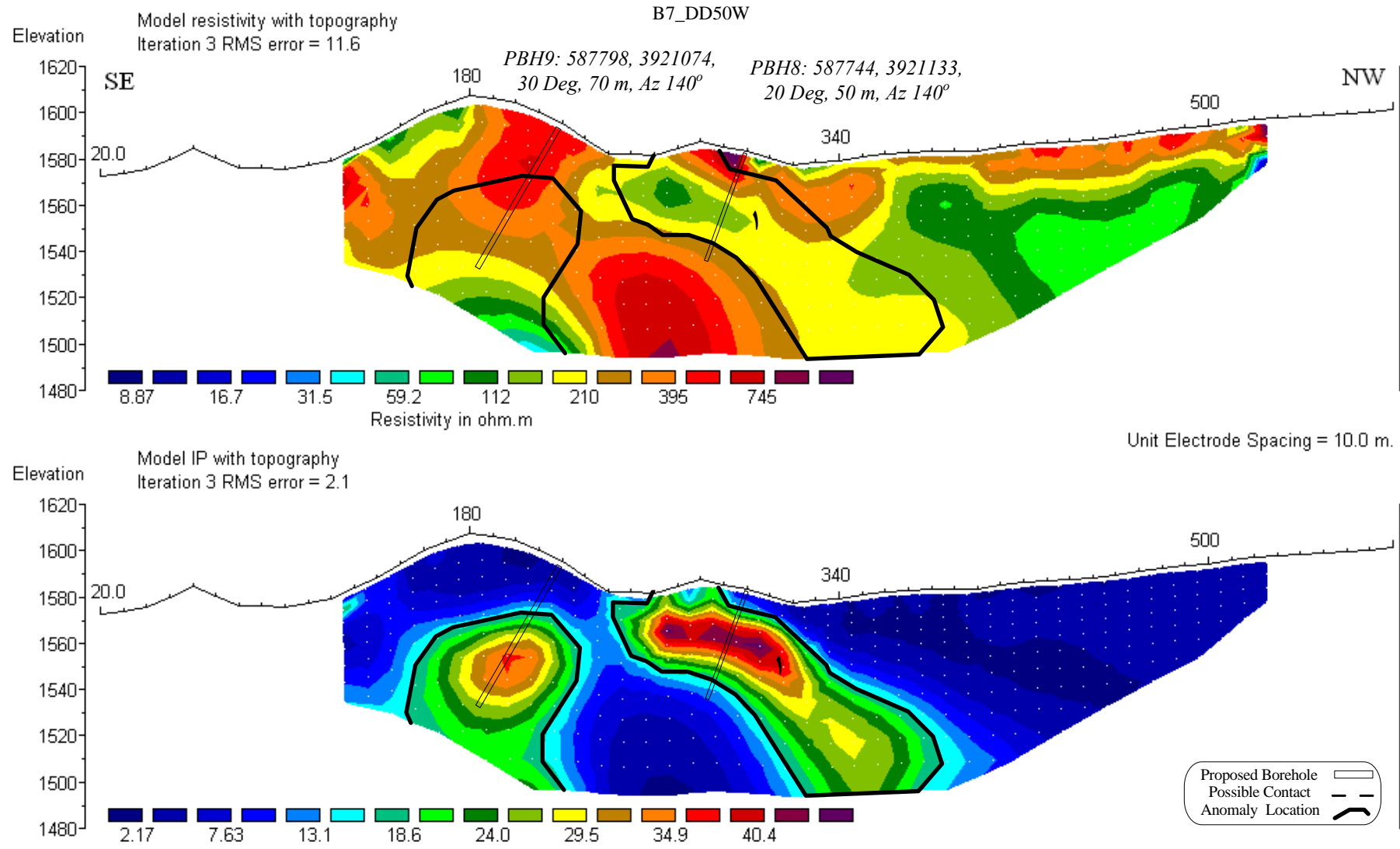
نقشه ۳-۱۵-الف: شبه مقاطع و مقطع حاصل از مدل سازی داده های مقاومت ویژه برای پروفیل ۵۰-غربی (B7-DD50W).



نقشه ۳-۱۵-ب: شبه مقاطع و مقطع حاصل از مدل سازی داده های بارپذیری برای پروفیل ۵۰ غربی (B7-DD50W).

۷۷

هزارگان



نقشه ۳-۱۵-ج: مقاطع دو بعدی مقاومت ویژه و بارپذیری حاصل از مدل سازی وارون با اعمال تصحیح توپوگرافی برای پروفیل ۵۰ غربی (B7-DD50W).

B7-DD75E - ۳-۲-۳ بودسی مقطع

به منظور بررسی عمقی محل ترانشه شماره ۳ (*BKDT3*) و همچنین رديابي بي هنجاري شماره ۲ در نقشه-

های ۱۳-۳ و ۱۴-۳، يك آرایش دوقطبی- دوقطبی با فاصله ایستگاهی ۲۰ متر و با پرش ۲۰ متری

($AB=MN=20$; $Leap=20m$) بر روی پروفیل ۷۵ شرقی برداشت شد. موقعیت این پروفیل در نقشه های ۱۳-۳

و ۱۴-۳ با واژه *DD75E* مشخص شده است. مقاطع مدل سازی شده *IP & RS* مربوطه با نرم افزار *Res2Dinv*

تهیه شده و در نقشه شماره ۳ به نمایش درآمده است. در نقشه های ۱۶-۳-الف و ۱۶-۳-ب شبه مقاطع و

مقاطع دو بعدی مقاومت ویژه و بارپذیری حاصل از مدل سازی وارون این پروفیل، نشان داده شده است. علاوه

براین مقاطع دو بعدی مقاومت ویژه و بارپذیری حاصل از مدل سازی وارون این پروفیل با اعمال تصحیح

توپوگرافی در نقشه ۳-ج آورده شده است. حداقل و حداقل مقدار عددی بارپذیری و مقاومت ویژه به

ترتیب ۲/۸ تا ۲۳/۸ میلی ولت بر ولت و ۷۶ تا ۶۰۰ اهم متر می باشد.

در نقشه *IP* محدوده بی هنجاري با طیف رنگی سبز تا قرمز از دیگر نواحی متمایز شده است. همانطور که

در مقطع ۳-ج دیده می شود، يك بي هنجاري در فاصله ایستگاهی ۲۱۰ تا ۲۷۰ شمالی دیده می شود. اين

بي هنجاري که منطبق بر نواحی با مقاومت ویژه پایین بوده و در عمق گسترش یافته است، اثر بي هنجاري شماره

۱ در نقشه آرایش مستطیلی (۱۳-۳) است. يك بي هنجاري کوچکتر نیز در فاصله ایستگاهی ۱۱۰ تا ۱۷۰ شمالی

قابل تشخیص است. اين بي هنجاري که منطبق بر نواحی با مقاومت ویژه پایین تا متوسط است، اثر بي هنجاري

شماره ۲ در نقشه آرایش مستطیلی است. علاوه بر اين، يك بي هنجاري با بارپذیری بالا در فاصله ایستگاهی ۵۰

تا ۱۰۰ شمالی و در عمق تقریبی ۴۰ تا ۵۰ متری دیده می شود. اين بي هنجاري که منطبق بر نواحی با مقاومت

ویژه بالا است، به دلیل نوع کانی سازی منطقه از اهمیت پایین تری نسبت به بي هنجاري های ۱ و ۲ برخوردار

است. همانطور که در نقشه ۳-ج دیده می شود، بي هنجاري شماره ۲ از بي هنجاري شماره ۱ کوچکتر بوده

و از مقدار عددی پایین تری برخوردار است. با توجه به نقشه آرایش مستطیلی در نقشه های ۱۳-۳ و ۱۴-۳ چنین

مسئله ای مورد انتظار بوده است. با توجه به نوع کانی سازی در این منطقه، هر دو بی هنجاری ۱ و ۲ را می توان

از پتانسیل بالایی برای کانی سازی برخوردار دانست. با توجه به اینکه در بررسی مقطع پروفیل $DD50W$ در نقشه

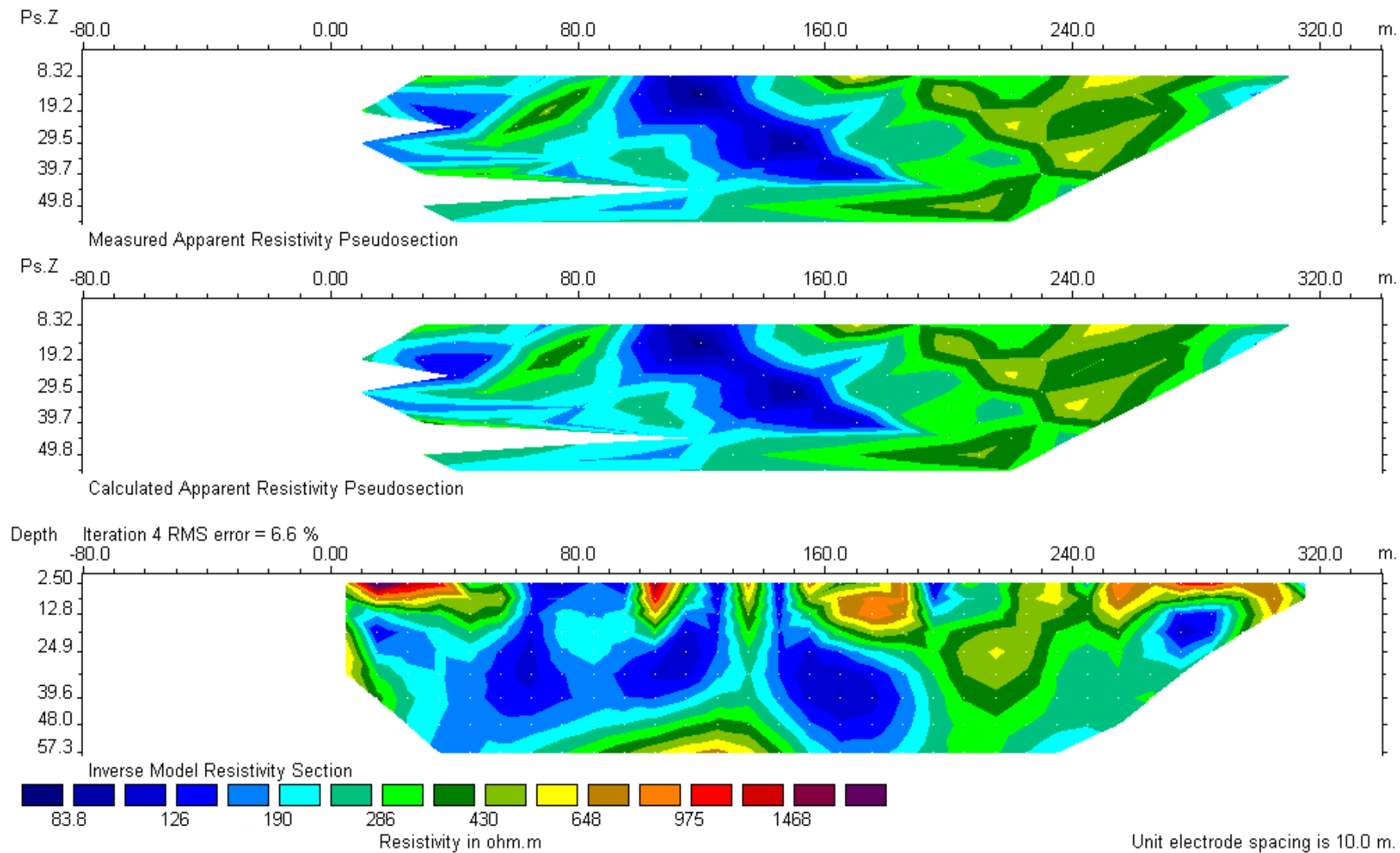
۱۵-۳ یک حفاری بر روی بی هنجاری شماره ۱ در نظر گرفته شد، در این پروفیل تنها حفاری پیشنهادی بر روی

بی هنجاری شماره ۲ در نظر گرفته خواهد شد.

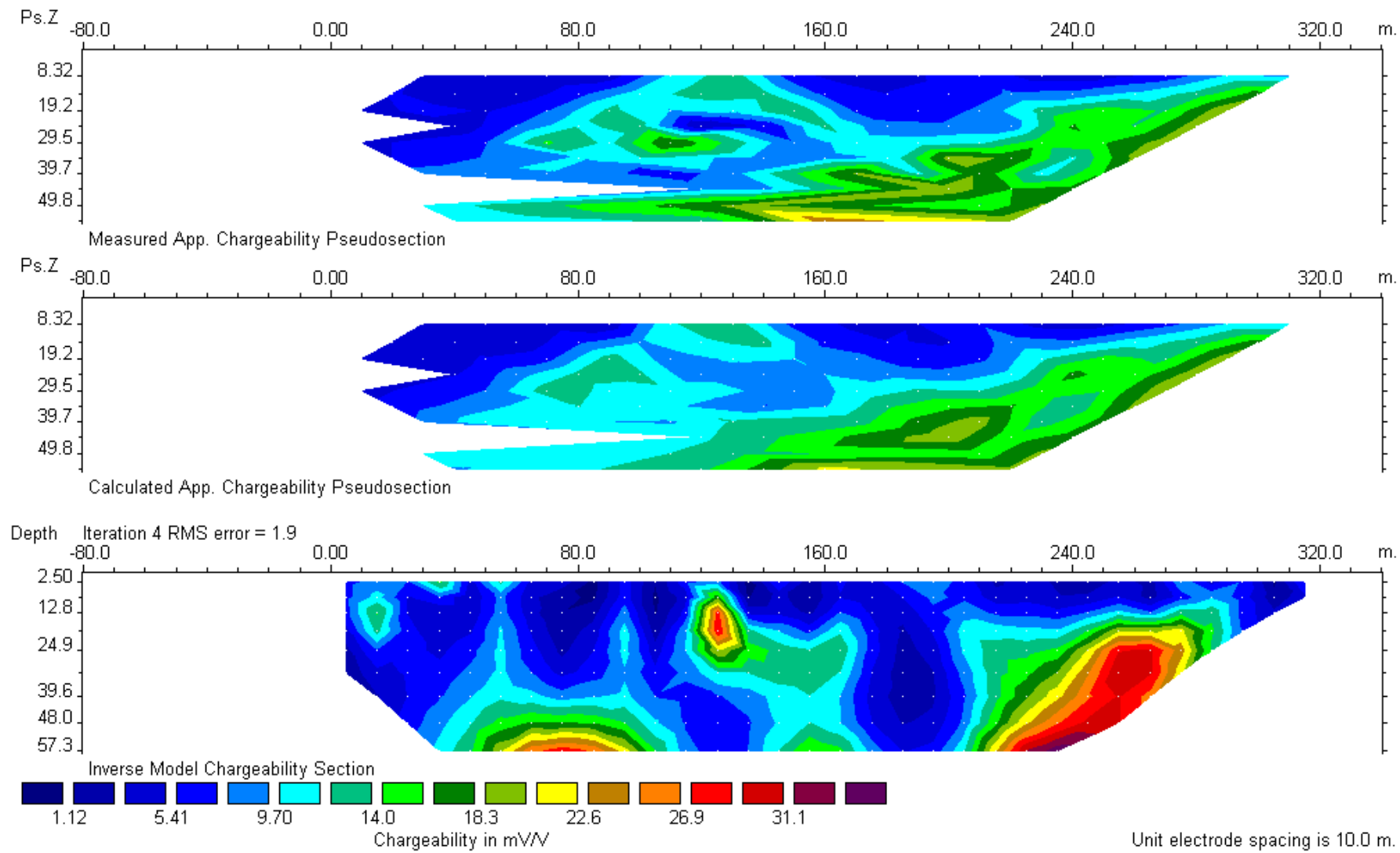
با توجه به موارد ذکر شده فوق گمانه اکتشافی بنابر نقشه بارپذیری به شرح زیر پیشنهاد می گردد

(زاویه حفاری نسبت به قائم می باشد):

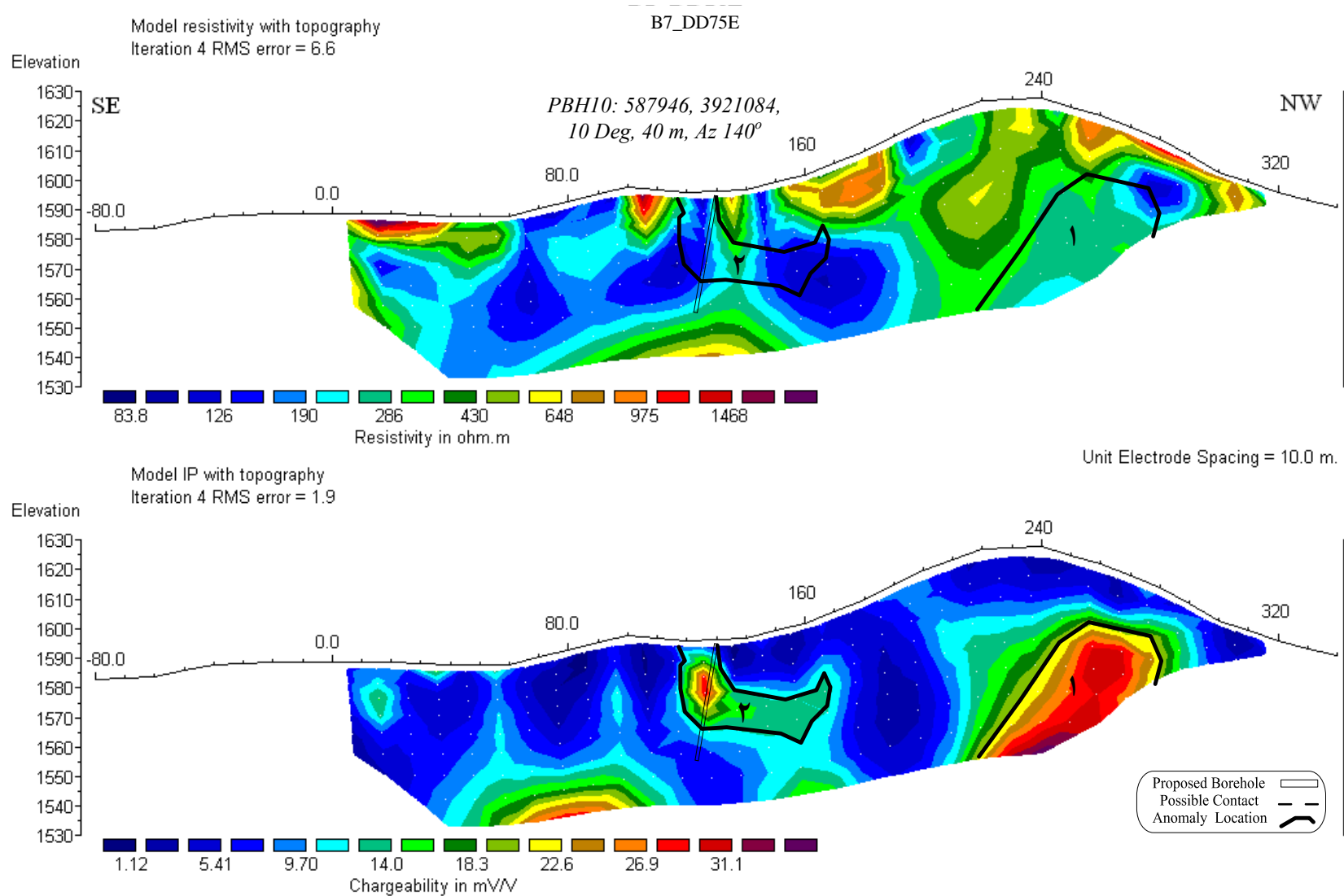
نام	X(UTM)	Y(UTM)	ایستگاه	عمق حفاری	آزیمومت(درجه)	زاویه (درجه)
PBH10	۵۸۷۹۴۶	۳۹۲۱۰۸۴	۱۳۰ شمالی	۴۰ متر	۱۴۰	۱۰



نقشه ۳-۱۶-الف: شبیه مقاطع و مقطع حاصل از مدل سازی داده های مقاومت ویژه برای پروفیل ۷۵ شرقی (B7-DD75E).



نقشه ۳-۱۶-ب: شبیه مقاطع و مقطع حاصل از مدل سازی داده های بارپذیری برای پروفیل ۷۵ شرقی (B7-DD75E).



نقشه ۳-۱۶-ج: مقاطع دو بعدی مقاومت ویژه و بارپذیری حاصل از مدل سازی وارون با اعمال تصحیح توپوگرافی برای پروفیل ۷۵ شرقی (B7-DD75E).

۳-۳- برسی نتایج در محدوده شماره ۹ (B9)

به منظور بررسی عمقی رخنمون های آهنی در محدوده کلاتنه نوری که در این گزارش با عنوان محدوده شماره ۹ نامگذاری شده است، یک آرایش دوقطبی - دوقطبی با فاصله ایستگاهی ۲۰ متر و با پرش ۲۰ متری شماره ۹ به نمایش درآمده است. مقاطع مدل سازی شده $IP \& RS$ مربوطه با نرم افزار $Res2Dinv$ تهیه شده و در نقشه شماره ۱۷-۳ به نمایش درآمده است. در نقشه های ۳-الف و ۳-ب شبیه مقاطع و مقاطع دو بعدی مقاومت ویژه و بارپذیری حاصل از مدل سازی وارون این پروفیل، نشان داده شده است. علاوه بر این مقاطع دو بعدی مقاومت ویژه و بارپذیری حاصل از مدل سازی وارون این پروفیل با اعمال تصحیح توپوگرافی در نقشه ۱۷-ج آورده شده است. حداقل و حداکثر مقدار عددی بارپذیری و مقاومت ویژه به ترتیب ۱/۷ تا ۹/۸ میلی- ولت بر ولت و ۱۰۳ تا ۱۱۸۳ اهم متر می باشد.

در نقشه IP محدوده بی هنجاری با طیف رنگی سبز از دیگر نواحی متمایز شده است. همانطور که در مقطع ۳-ج دیده می شود، یک بی هنجاری ضعیف بارپذیری در فاصله ایستگاهی ۱۰ جنوبی تا ۳۰ شمالی دیده می شود. این بی هنجاری که از سطح تا عمق تقریبی ۲۰ متری قابل تشخیص است، منطبق بر نواحی با مقاومت ویژه متوسط (طیف رنگی سبز تا زرد) می باشد. همانطور که در نقشه ۳-ج و داده های بارپذیری ظاهری برداشت شده (حداکثر ۹/۸ میلی ولت بر ولت) دیده می شود، این بی هنجاری بسیار ضعیف می باشد. هر چند شواهدی از کانی سازی مس به صورت مالاکیت در سطح قابل مشاهده است و برونزدهای بزرگ مگنتیتی در این ناحیه رخنمون یافته اند، ولی نتایج حاصل از برداشت های مقاومت ویژه و بارپذیری در نقشه ۳-ج

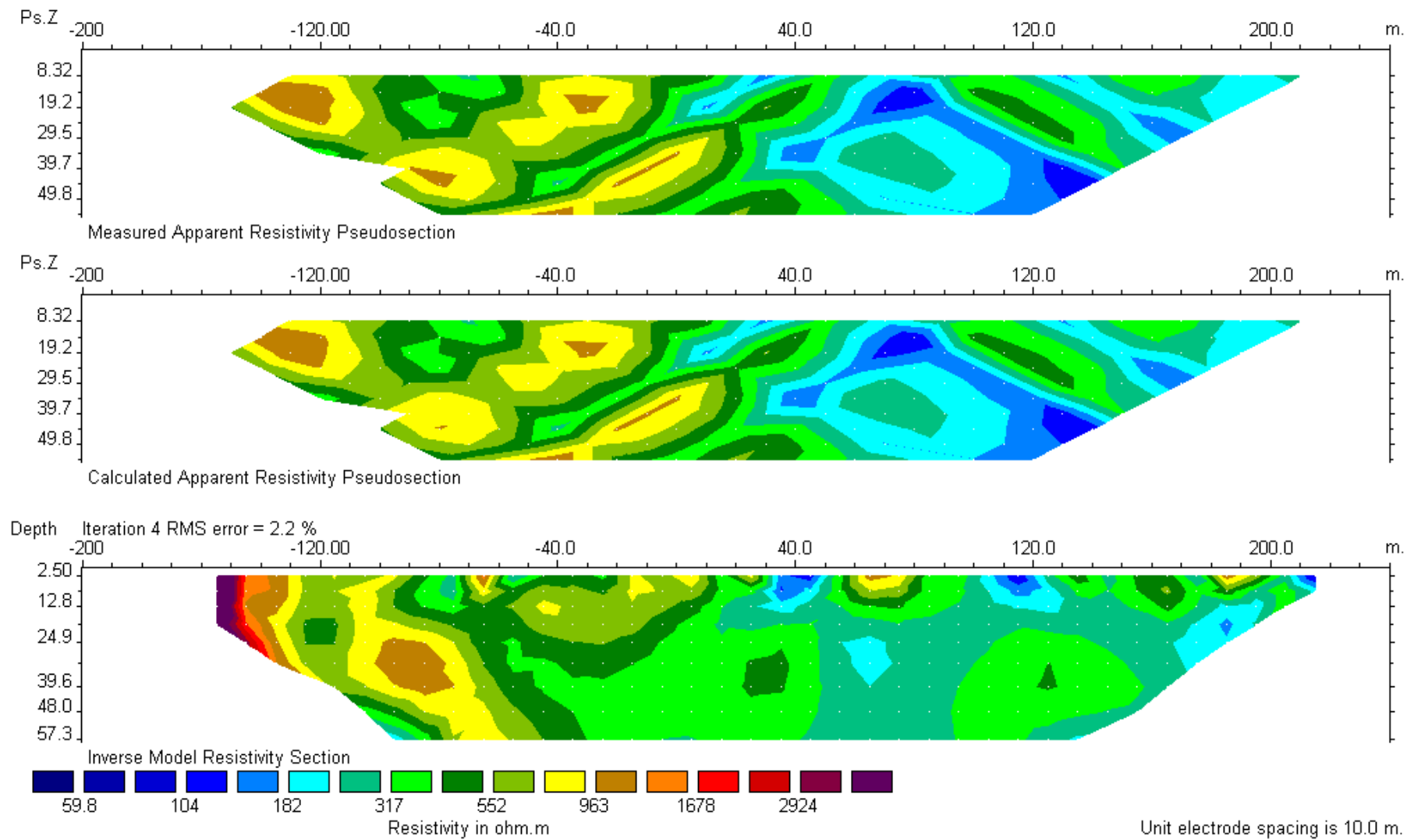
حاکی از کانی سازی ضعیف سولفیدی در عمق می باشد. این مقدار ضعیف بارپذیری می تواند ناشی از حضور

کانی سازی آهن به صورت مگنتیت و یا کانی سازی ضعیف سولفیدی در این ناحیه باشد.

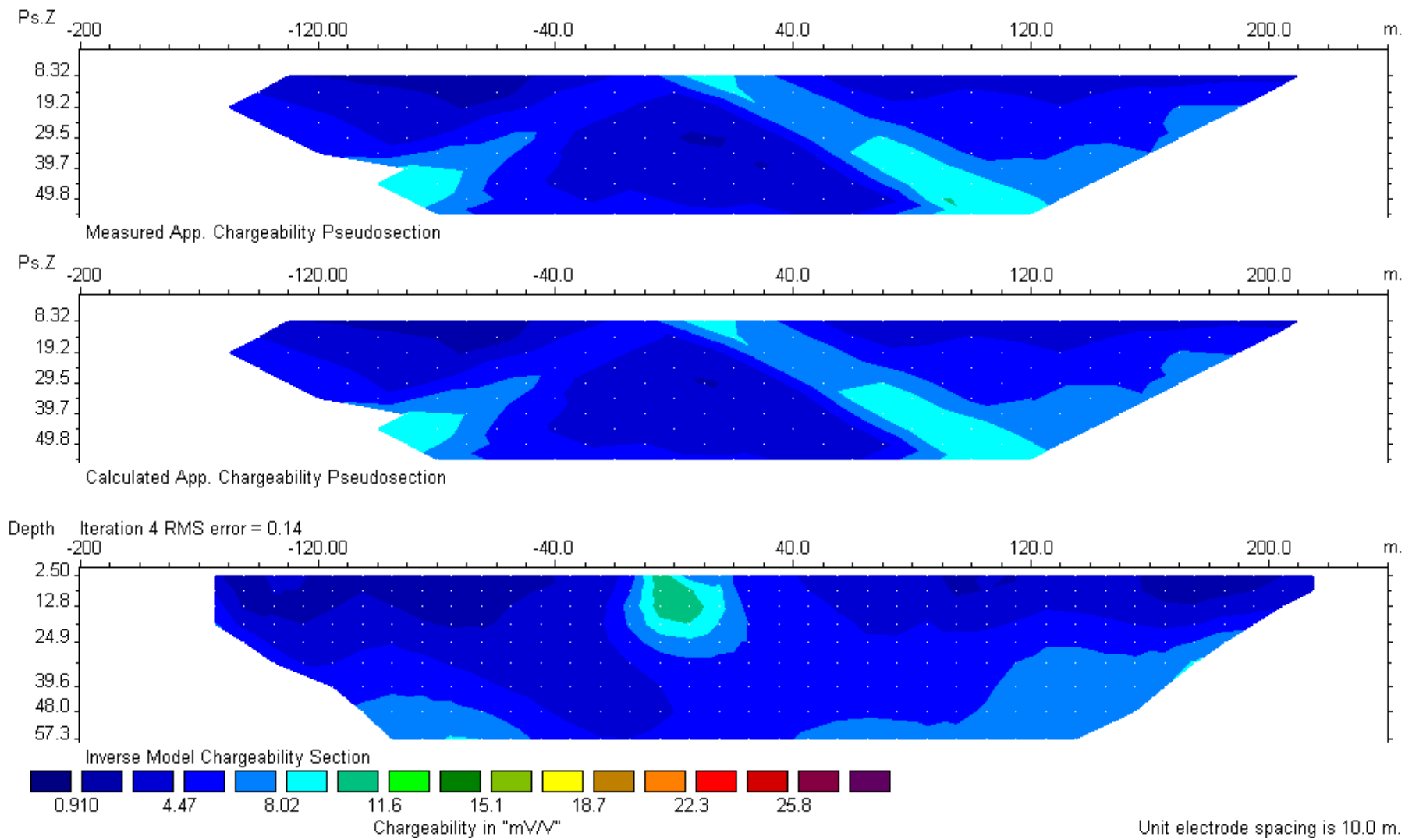
با توجه به موارد ذکر شده فوق گمانه اکتشافی بنابر نقشه بارپذیری به شرح زیر پیشنهاد می گردد

(زاویه حفاری نسبت به قائم می باشد):

نام	$X(UTM)$	$Y(UTM)$	ایستگاه	عمق حفاری	آزمودت(درجه)	زاویه (درجه)
PBH11	۵۸۷۹۱۱	۳۹۱۷۴۸۸	۱۰ شمالی	۴۰ متر	۲۰۰	۳۵



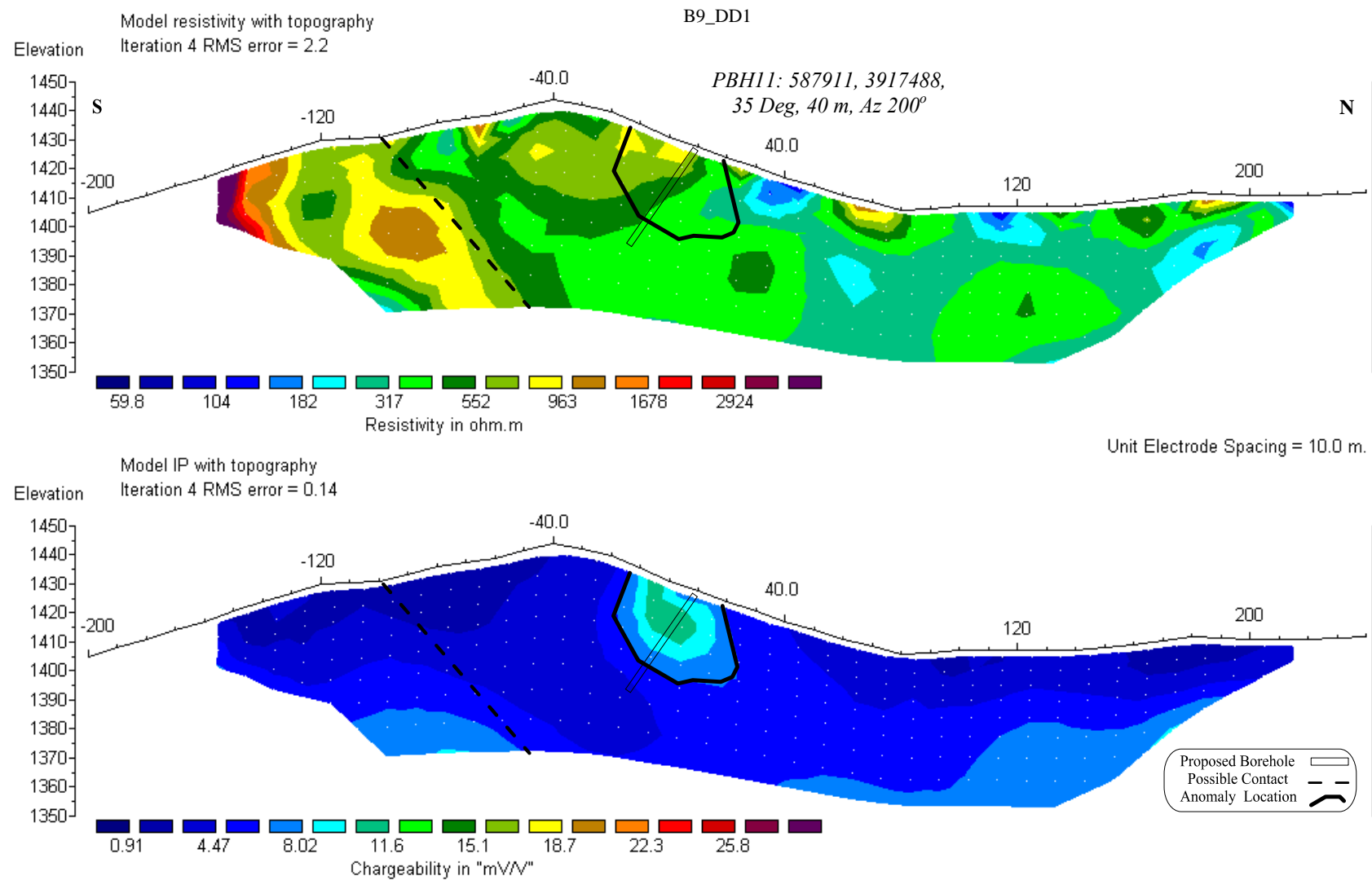
نقشه ۳-۱۷-الف: شبیه مقاطع و مقطع حاصل از مدل سازی داده های مقاومت ویژه برای پروفیل B9-DD1



نقشه ۳-۱۷-ب: شبیه مقاطع و مقطع حاصل از مدل سازی داده های بارپذیری برای پروفیل B9-DD1

۸۷

هزارگیار



نقشه ۳-۱۷-ج: مقاطع دو بعدی مقاومت ویژه و بارپذیری حاصل از مدل سازی وارون با اعمال تصحیح توپوگرافی برای پروفیل B9-DDI

۴- نتیجه گیری و پیشنهادات

همانطور که از اندازه گیری های IP و RS در این منطقه مشاهده می شود، نواحی کانه زا در اکثر مناطق از بارپذیری بالا و همچنین مقاومت ویژه پایین تا متوسطی برخوردارند. این امر را می توان به کانی سازی فلزی و حضور کانی های سولفیدی در مناطق کانی سازی نسبت داد.

از نظر زمین شناسی بخش اعظم محدوده مورد مطالعه مشتمل بر شیوه های سبز همراه با لایه هایی از متاریوداسیت و متاریولیت با منشاء توف های اسیدی است که دگرگونی بسیار ضعیفی را متحمل شده اند. سنگ های شیست در برخی نقاط بخشی از محدوده برداشت را تشکیل می دهند. این سنگ ها با توجه به خواص الکتریکی خود از مقاومت ویژه پایین و بارپذیری نسبتاً بالایی برخوردارند. با توجه به نوع کانی سازی در این منطقه، اینگونه ساختارها جزء نویز های اندازه گیری بوده و بایستی به خوبی مد نظر قرار گیرند. در مواردی که این سنگ ها با کانی سازی ضعیفی نیز همراه باشند (نظیر منطقه شماره ۷)، مقادیر بارپذیری بالایی (حتی بالاتر از مناطق کانه زا) از خود نشان می دهند. از این رو حفاری های پیشنهادی به خصوص در این نواحی بایستی با اطلاعات زمین شناسی همراه شوند.

در نهایت با توجه به مقاطع برداشتی گمانه های زیر به ترتیب اولویت در هر منطقه جهت بررسی بی هنجاری های ژئوفیزیکی پیشنهاد می گردد.

نام مقطع	نام منطقه	منطقه	زاویه (درجه)	آzymوت (درجه)	عمق حفاری	ایستگاه	Y(UTM)	X(UTM)	نام
DD50W	B4	۲۰	۱۷۲	۸۰	مترا ۸۰	شمالی ۲۲۰	۳۹۲۰۶۲۱	۵۸۸۴۵۹	PBH1
DD200E	B4	۲۵	۱۷۲	۸۰	مترا ۸۰	شمالی ۲۳۰	۳۹۲۰۶۹۹	۵۸۸۷۰۸	PBH2
DD300E	B4	۲۰	۱۷۲	۱۲۰	مترا ۱۲۰	شمالی ۲۴۰	۳۹۲۰۶۹۲	۵۸۸۸۰۶	PBH3
DD450E	B4	۲۰	۱۷۲	۱۰۰	مترا ۱۰۰	شمالی ۲۲۰	۳۹۲۰۶۹۲	۵۸۸۹۶۰	PBH4
DD500E	B4	۲۰	۱۷۲	۱۰۰	مترا ۱۰۰	شمالی ۲۸۰	۳۹۲۰۷۶۲	۵۸۸۹۹۸	PBH5
DD600E	B4	۳۰	۳۵۲	۱۲۰	مترا ۱۲۰	شمالی ۲۲۰	۳۹۲۰۷۱۷	۵۸۹۱۰۵	PBH6
DD700E	B4	۳۰	۱۷۲	۱۲۰	مترا ۱۲۰	شمالی ۲۸۰	۳۹۲۰۷۹۱	۵۸۹۱۹۵	PBH7
DD50W	B7	۲۰	۱۴۰	۵۰	مترا ۵۰	شمالی ۳۰۰	۳۹۲۱۱۲۳	۵۸۷۷۷۴۴	PBH8
DD50W	B7	۳۰	۱۴۰	۷۰	مترا ۷۰	شمالی ۲۲۰	۳۹۲۱۰۷۴	۵۸۷۷۷۹۸	PBH9
DD75E	B7	۱۰	۱۴۰	۴۰	مترا ۴۰	شمالی ۱۳۰	۳۹۲۱۰۸۴	۵۸۷۹۹۴۶	PBH10
DD1	B9	۳۵	۲۰۰	۴۰	مترا ۴۰	شمالی ۱۰	۳۹۱۷۴۸۸	۵۸۷۹۱۱	PBH11

نقاط حفاری پیشنهادی در این بررسی بر اساس پارامترهای فیزیکی اندازه گیری شده می باشد. زمین شناسی منطقه با توجه به اطلاعات زمین شناسی و شواهد کانی سازی در سطح، نقاط حفاری پیشنهادی را تأیید می کند. در نهایت با اطلاع کارشناس ژئوفیزیک از نتایج حفاری، می توان در مورد محل حفاری های پیشنهادی و محل حفاری های بعدی تعديل های مورد نظر را اعمال کرد.

۵- تشکر و قدردانی

در اینجا برخود لازم می‌دانم از آقای مهندس ابراهیم شاهین مدیریت پشتیبانی اکتشاف و مهندس علیرضا عامری رئیس گروه ژئوفیزیک بخاطر بازخوانی و ارائه راهنمایی‌های لازم در تهیه گزارش تشکر و قدردانی نمایم. همچنین از همکاری صمیمانه جناب آقای مهندس صفری زمین شناس منطقه و مهندس قنبری کارشناس ژئوفیزیک مرکز مشهد، سپاسگزاری می‌شود. در اجرای این مطالعات آقایان عباس باقری، ابراهیم ترک و حسین ایرانشاهی تکنسین‌های گروه در عملیات برداشت‌های صحرائی با کارشناسان همکاری داشته‌اند که از ایشان نیز صمیمانه قدردانی می‌شود.